DETERMINAÇÃO DAS CONDIÇÕES ECONÔMICAS DE USINAGEM ATRAVES DE PARÂMETROS OBTIDOS NA EMPRESA

28/89

Este exemplor corresponde a
Redock Final da Tere defendido por Olivio Novarhi e
oprovada pela Esminad
Julgadora, em 30/06/89

Dinoferrare

Pad Dr Dino Fertrares!

UNIVERSIDADE ESTADUAL DE CAMPINAS

CENTRO DE TECNOLOGIA

DETERMINAÇÃO DAS CONDIÇÕES ECONÔMICAS DE USINA GEM ATRAVES DE PARÂMETROS OBTIDOS NA EMPRESA*

MSc. Engo OLIVIO NOVASKI

*Trabalho apresentado como parte dos requisitos necessários para obtenção do título de Doutor em Engenharia Mecânica, pela Faculdade de Engenharia de Campinas da Universidade Estadual de Campinas.

CAMPINAS

UNICAMP BIBLIOTECA CENTRAL

UNIVERSIDADE ESTADUAL DE CAMPINAS FACULDADE DE ENGENHARIA DE CAMPINAS DEPARTAMENTO DE ENGENHARIA MECÂNICA

Tese de: Doutorado

Título da Tese: Determinação das Condições Econômicas de Usinagem

Através de Parâmetros Obtidos na Empresa

Autor: MSc. Eng? Olivio Novaski

Orientador: Prof. Dr. Dino Ferraresi

Aprovado por

Prof. Dr. Dino Ferraresi, Presidente

Prof. Dr. Nivaldo Lemos Cupin

Prof. Dr. Antonio Arlindo Guidetti Porto

V3 monzelle

Prof. Dr. Rosalvo Tiago Ruffino

Prof. Dr. Lamartine Bezerra da Cunha

· Dawarfice Brulie

Campinas, 30 de junho de 1989

Dedico este trabalho a minha esposa Silvia, pela sua paciência e abdicação de horas de lazer, em prol da companhia e colaboração no desenro lar da pesquisa

AGRADECIMENTOS

Expresso os meus agradecimentos:

- ao Prof. Dr. DINO FERRARESI, na qualidade de orientador deste trabalho, pelo incentivo e assistência constantes em todas as etapas do desenvolvimento da pesquisa;
- ao Prof. Dr. NIVALDO LEMOS CUPINI, na qualidade de Supe rintendente do Centro de Tecnologia, pelas facilidades prestadas no estudo e execução dos ensaios;
- à Empresa Robert Bosch do Brasil Ltda, que nos permitiu a execução de uma série de ensaios em suas dependências;
- aos vários colegas da Bosch que nos auxiliaram na execução dos ensaios, e em especial ao LUQUES, com o qual já trabalhavamos antes, em 1978, e que teve uma atuação destacada nos ensaios;
- aos funcionários da Divisão de Materiais e Processos do Centro de Tecnologia da UNICAMP, pela colaboração e dedicação prestadas durante o transcorrer do trabalho;
- aos colegas da Divisão de Engenharia Ferroviária do Cen tro de Tecnologia da UNICAMP, pela colaboração em diver sas etapas da pesquisa;
- aos colegas e funcionários da Divisão de Engenharia de Fabricação da FEC, pelas facilidades prestadas para a execução dos ensaios;
- \tilde{a} VÂNIA e MARIA HELENA, pelo esmero na composição da te se;
- aos demais funcionários do Centro de Tecnologia que colaboraram direta ou indiretamente na execução deste tr<u>a</u> balho.

Todas as qualidades, corporais e intelectuais, devem progredir para a perfeição

- CHARLES DARWIN -

SUMĀRIO

O trabalho apresenta inicialmente, os conceitos referentes à perda da capacidade de corte das pastilhas de metal duro com e sem revestimento. A seguir, são apresentadas as principais equações da vida da ferramenta e é feita uma análise das mesmas. São relatados os resultados de ensaios, conduzidos para pastilhas revestidas. Os ensaios foram feitos tanto em laboratório quanto em uma empresa. É introduzida uma nova conceituação de curva de vida, tal seja, curva de vida para desgaste variável da ferramenta, pois para pastilhas de metal duro com revestimento, em operação de desbaste, observou-se que a vida é definida pelo lascamento. Tentativas para se esclarecer as causas dos lascamentos foram feitas através de ensaios dinâmicos.

São apresentados uma série de fatores que in fluem nas divergências dos dados obtidos através de tabelas de usinagem, de ensaios conduzidos em laboratório e de valores reais obtidos com a máquina-ferramenta trabalhando na peça em produção. Para corrigir esta discrepância, é introduzida uma técnica de obtenção da curva de vida na empresa, durante a execução da peça.

Foram deduzidas expressões para a determinação do intervalo de máxima eficiência, tendo como variável o núme ro de peças usinadas por vida. A seguir, são determinadas as condições ótimas de usinagem, através dos dados obtidos de diferentes maneiras e comparados os seus resultados. Esta determinação foi feita em uma peça usinada, numa empresa de grande porte.

ABSTRACT

This study presents the concept relative to the tool wear for coated and uncoated cemented carbides. Importants tool's life equations are presented and it's analysed them. The experimental results of tests performed in laboratory and in a company for coated carbides are related. It's introducted a new life curve concept, that is, a life curve for variable wear of the tool. The arbitrarily chosen flank wear limit for all cutting speeds is not valid for coated tools when in rough machining, because in this case it has been verified that it's predominant cracking of the flanks. It was conducted some dynamic tests to determine the events of cracks.

Several factors showing the scatter of data, that have been obtained from machining conditions tables and lab's tests are presented and compared with actual values, obtained directly from the machine-tools in a plant. To correct this discrepancy, it's presented a technique to obtain, the tool's life curves in the factories, during machining operations of real parts.

Equations were deducted for the maximum efficiency interval, having as parameter the number of machined workpieces. Further, the machining conditions are determined through the data obtained of differents ways and the results are compared. This determination was conducted on a workpiece machined in a company.

ZUSAMMENFASSUNG

Diese Forschung beinhaltet die Begriff im Hinblick auf den verlust der Schneidfähigkeit für konventionelle und beschichtete Hartmetalle. Die Hauptstandzeitgleichungen wurde dargestellt und diskuttiert. Es wurden die Zerspanwerte aus der Produktion und Laboruntersuchungen für beschichtete Hartmetalle ermittelt. Ein neuer Begriff für die Standzeit-kurve, das heisst, die Standzeit-kurve für die veränderung des Werkzeugverschleisses wird eingeführt. Basis für diesen Begriff ist die Feststellung, dass bei der Schruppbearbeitung die beschichteten Hartmetalle ihre Schneidfähigkeit bei Ausbrüchen verlieren. Es wurden dynamische versuch durchgeführt, um die Ursache der Ausbrüche zu erklären.

Die Ermittlung der Schnittdaten können aus verschiedenen Quellen herangezogen werden: Zerspanungsrichtwerte, Ergebnisse von Laboruntersuchungen u.a., und genauere Ergebnisse direkt aus der Produktion.

Die vielen Faktoren die in die Differenz zwischen die Daten einflüssen können, sind dargestellt.

Um genauere Daten ermitteln zu können, wurde eine Technik eingeführt, die es ermöglicht die Daten direkt auf das Werkstück hin zu bestimmen.

Um die Abhängigkeit von Gleichungen über minimale Fertigungskosten und minimale Fertigungszeiten vom zu bearbeitenden Werkstücke zu erkennen, mussten noch andere Gleichungen entwickelt werden. Verschiedene Quellen zu Bestimmung der Optimalwertfunktion wurden verwendet und die Daten wurden verglichen. Dieser Berechnung wurde im Betrieb durchgeführt.

I N D I C E

	PAGINA
I- PERDA DA CAPACIDADE DE CORTE DE PASTILHAS DE METAL DURO	01
1.1- PASTILHAS DE METAL DURO SEM REVESTIMENTO	01
1.1.1- ANOMALIAS DAS PASTILHAS DE METAL DURO	05
1.1.2- CURVAS DE DESGASTE	06
1.1.3- CURVAS DE VIDA	07
1.1.4- CONSIDERAÇÕES SOBRE EQUAÇÕES DA VIDA DA FER	. .
RAMENTA	gaments gaments
1.1.4.1- EQUAÇÕES DE TAYLOR	
1.1.4.2- EQUAÇÕES BASEADAS NO CONCEITO DE	1 I
CAVACO EQUIVALENTE	15
1.1.4.3- EQUAÇÃO DE DEPIEREUX	18
1.1.4.4 - EQUAÇÕES BASEADAS NAS PROPRIEDADES	10
FÍSICAS DO MATERIAL DA PEÇA	20
1.1.5- ANALISE DAS EQUAÇÕES DA VIDA	
1.2- PASTILHAS DE METAL DURO COM REVESTIMENTO	20
1.2.1- LASCAMENTO DE PASTILHAS DE M. D. COM COBER-	24
TURA	20
1.2.1.1- LASCAMENTOS DOS REVESTIMENTOS E FA	29
TORES DINAMICOS RELACIONADOS	e a
1.2.2- CURVAS DE VIDA OBTIDAS EM LABORATORIO	41
	52
II- DETERMINAÇÃO DAS CURVAS DE VIDA OBTIDAS NA EMPRESA	56
2.1- DESGASTE DAS FERRAMENTAS AVALIADAS NA EMPRESA	56
2.2- CURVAS DE VIDA OBTIDAS NA EMPRESA	59
III- COMPARAÇÃO ENTRE AS CURVAS DE VIDA OBTIDAS EM LABORA-	
TÓRIO E AS CURVAS DE VIDA OBTIDAS DIRETAMENTE NAS PE	
ÇAS EM PRODUÇÃO	64
IV- DETERMINAÇÃO DAS CONDIÇÕES ECONÔMICAS ATRAVÉS DAS CUR-	~ .
VAS DE VIDA OBTIDAS EM LABORATORIO	
4.1- TEMPOS DE USINAGEM	69
4.2- CUSTOS DE USINAGEM	69
4.3- CRITERIOS DE OTIMIZAÇÃO	71
A 3 1. DETERMINACIO DEC COMPTENZA	74
4.3.1- DETERMINAÇÃO DAS CONDIÇÕES ECONÔMICAS PARA	
CURVAS DE VIDA LINEARES - UMA ÚNICA INCLI-	
NAÇÃO	76

	PAGINA
4.3.2- DETERMINAÇÃO DAS CONDIÇÕES ECONÔMICAS PARA	
CURVAS DE VIDA LINEARES - DUAS INCLINAÇÕES 4.3.3- DETERMINAÇÃO DAS CONDIÇÕES ECONÔMICAS PARA	79
CURVAS DE VIDA NÃO LINEARES	82
V- DETERMINAÇÃO DAS CONDIÇÕES ECONÔMICAS ATRAVÉS DAS CUR -	
VAS DE VIDA OBTIDAS NA EMPRESA	85
5.1- VELOCIDADES DE MÍNIMO CUSTO E MÁXIMA PRODUÇÃO	85
5.2- EXEMPLO NUMERICO PARA A PEÇA EM ESTUDO (FIG. 2.2).	87
5.2.1- DADOS DE CUSTOS E TEMPOS FORNECIDOS PELA EM	
PRESA	87
5.2.2- CALCULO DAS VELOCIDADES ŌTIMAS	88
5.2.2.1- CURVAS DE VIDA OBTIDAS EM LABORATO	
RIO	88
5.2.2.2 CURVAS DE VIDA OBTIDAS NA EMPRESA.	89
VI- JUSTIFICATIVA ECONÔMICA PARA O LEVANTAMENTO DA CURVA	
DE VIDA NA EMPRESA, PARA A PEÇA ANALISADA	91
VII- CONCLUSÕES	94
REFERÊNCIAS BIBLIOGRÁFICAS	99
	כ כ

O objetivo principal deste trabalho e apresentar um meto do de obtenção das condições econômicas de usinagem, através levantamento de dados referente à vida da ferramenta, diretamente nas peças em produção. Este levantamento permite a obtenção direta das curvas de vida, uma vez que, estabelecido um critério para a perda da capacidade de corte da ferramenta, determina-se o núme ro de peças usinadas por vida, sem haver a necessidade de obten ção das curvas de desgaste. Adotando-se este procedimento as varias operações que a peça possa sofrer, permite o estabeleci mento de um plano de trocas mais racional de ferramentas e forma, um planejamento adequado de aquisição das mesmas. Da mesma maneira, permite que a empresa obtenha o seu próprio banco de dados de usinagem, para as peças que a mesma usina. Haja visto que, ensaios realizados fora do meio industrial seguem, de maneira geral, certos padrões definidos de comprimento do tarugo, da peça, etc. Os resultados assim obtidos, extrapolados para condições diversas das ensaiadas, podem apresentar diferenças grandes de vida, uma vez que os fatores que afetam a mesma muitos. Entre outros, pode-se citar a rigidez e idade da maquinaferramenta; tipo e geometria do porta-pastilhas; formato e geometria da pastilha; forma e dimensões da peça; fornecimento do mate rial.

Os fatos citados acima foram comprovados através de en saios realizados em laboratório, e, na propria peça em produção , onde foram observadas diferenças notáveis entre os resultados.

Outrossim, como os ensaios foram conduzidos para pastilhas com revestimentos, uma série de informações tecnológicas relativas ao comportamento das mesmas foi obtida. Tentativas para esclarecimento deste comportamento, conduziram a outros ensaios complementares. Assim, o trabalho ficou distribuído da seguinte maneira:

o Capitulo I apresenta os conceitos referentes à perda da capacidade de corte das pastilhas de metal duro com e sem revesti - mento. São apresentadas as principais equações da vida da ferra menta e é feita uma análise das mesmas. Com relação às pasti -

lhas revestidas, é apresentado um breve histórico, bem como são feitas considerações a respeito dos lascamentos dos revestimentos. São mostrados os resultados de ensaios de desgaste conduzidos em laboratório, onde foram observados os lascamentos ocorridos para diferentes valores de VB, de acordo com a velocidade de corte e o avanço. Tal constatação induziu à realização de alguns ensaios dinâmicos, na tentativa de se explicar o comportamento destas pastilhas. Foram levantados desta forma, gráficos da amplitude de deslocamento e frequências de vibração da ferramenta em função das condições de corte.

Atraves das curvas de desgaste obtidas foram traçadas varias curvas de vida para diferentes critérios;

- o Capitulo II apresenta inicialmente algumas considerações, pelas quais os dados levantados em laboratório podem diferir bastante daqueles obtidos diretamente na peça em produção. A seguir são apresentadas as curvas de vida levantadas experimental mente em uma peça em produção, numa empresa de grande porte;
- o Capitulo III apresenta uma comparação entre as curvas de vida obtidas em laboratório e as curvas de vida obtidas na empresa , para o mesmo critério de perda da capacidade de corte. São feitas considerações também a respeito de valores fornecidos por catálogos;
- o Capitulo IV apresenta as equações para a determinação das con dições econômicas de usinagem, para vários tipos de curvas de vida, tendo-se como variável a vida da ferramenta em minutos;
- o Capitulo V apresenta as equações para o cálculo das condições econômicas, quando a variável e o número de peças usinadas por vida e mostra os resultados das condições otimas de usinagem , calculadas tanto por dados levantados em laboratório, quanto por dados obtidos diretamente na peça em produção;
- o Capítulo VI mostra que o levantamento de dados feito diretamente na peça, não apresenta ônus adicional para a empresa;

 finalmente, o Capitulo VII apresenta as conclusões, tanto no que tange às observações tecnológicas feitas nos ensaios, quanto no que tange à parte econômica.

I- PERDA DA CAPACIDADE DE CORTE DE PASTILHAS DE METAL DURO

1.1- PASTILHAS DE METAL DURO SEM REVESTIMENTO

Para se aplicar um plano de trocas das ferramentas é necessário ter um controle frequente das condições de usinagem, tem peraturas atingidas, forças de corte, desgastes das ferramentas, acabamentos superficiais, etc., a fim de se obter dados a respeito das vidas prováveis das ferramentas e consequentemente estabelecer as melhores condições de corte.

O critério de fim de vida da ferramenta está relacionado diretamente com as características das operações de usinagem [1].

A obtenção de um processo de usinagem otimizado inicia-se com a escolha adequada do material da ferramenta, seguindo-se com a escolha apropriada dos parâmetros de corte, tendo-se como base as curvas de vida [2]. De maneira esquemâtica e resumida, esta es colha segue o roteiro indicado na figura 1.1.

No caso de pastilhas de metal duro sem revestimento, exis te uma classificação das mesmas, baseada na capacidade de resis tência a tipos específicos de anomalias, tais como:

- desgaste da superficie de saida;
- desgaste da superfície principal de folga;
- avarias devido ao choque termico;
- deformação plástica da pastilha;
- quebra da pastilha.

A classificação destas pastilhas é feita segundo a norma NBR 6384 (ABNT), que corresponde à ISO 513 e DIN 4990. De acordo com estas normas, os metais duros sem revestimento são divididos em três grupos, quais sejam, P, M e K [3,4,5]. Os metais duros do grupo P possuem um teor relativamente elevado de TiC e TaC, que lhes conferem uma boa resistência à quente, sendo, portanto indicados para materiais que originam cavacos longos, onde o tempo de contato entre o cavaco e a superfície de saída é maior. Os do grupo K possuem baixo teor de TiC ou TaC, porém, possuem eleva dos teores de WC e Co, que lhes conferem uma boa tenacidade, portanto, são recomendados para materiais de cavacos quebradiços .

Os do grupo M possuem teores medios de TiC e TaC, portanto , tem propriedades intermediarias entre os metais duros dos grupos P e K.

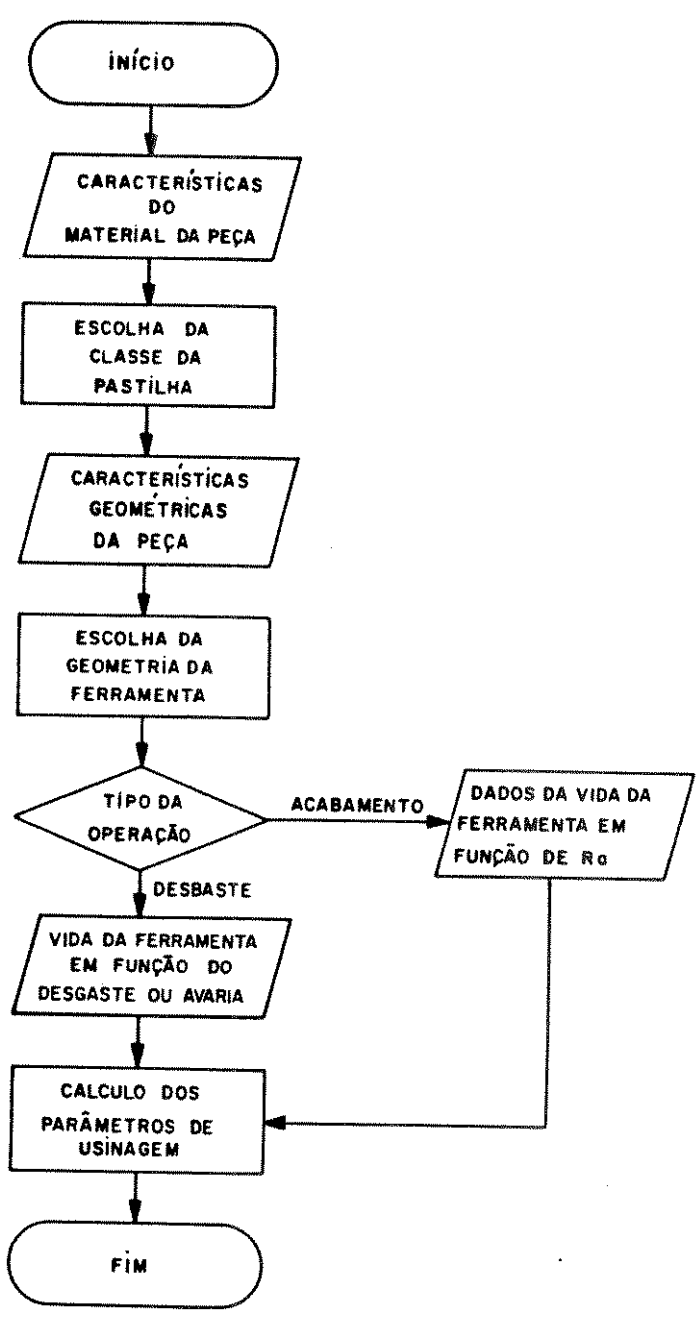


FIGURA 1.1- Roteiro para determinação das condições econômicas de usinagem

Franz Jaklitsch [6] propôs algumas relações empiricas para o calculo da resistência ao desgaste da superficie de folga , ao desgaste de cratera, resistência ao choque termico, quais sejam:

$$R_{VB} = \left(\frac{R_{A}}{86.5}\right)^{3.0} \tag{1.1}$$

onde R_A \tilde{e} a dureza da pastilha em Rockwell A (kgf/mm²) e R_{VB} \tilde{e} a resistência ao desgaste da superfície de folga.

$$R_{KT} = 5,2 (TaC + 2,5 TiC)^{0.67}$$
 (1.2)

onde R_{KT} \tilde{e} a resistência ao desgaste de cratera e os valores de TaC e TiC são dados em porcentagem.

$$R_{CH} = 0,34 \left(\frac{1422 \cdot \sigma_{tt}}{10^4} \right)^3$$
 (1.3)

para pastilhas com σ_{tt} < 170 kgf/mm².

$$R_{CH} = \left(\frac{1422 \cdot \sigma_{tt}}{10^4}\right)^{1.5}$$
 (1.4)

para pastilhas com σ_{tt} > 170 Kgf/mm², onde σ_{tt} ē o limite de resistência à ruptura transversal da pastilha (que ē uma medida da tenacidade das pastilhas de metal duro) e R_{CH} ē a resistência ao choque tērmico.

De acordo com esse pesquisador, os valores de R_{VB} , R_{KT} e R_{CH} são adimensionais e suas grandezas são comparáveis entre si . Esse autor se limita a informar que estas relações empíricas foram obtidas em laboratório e servem para orientar o usuário a escolher a pastilha adequada para cada caso, não entrando em detalhes como realizou seus ensaios. A tabela 1.1 mostra as características das pastilhas de metal duro, bem como os valores calcula dos de R_{VB} , R_{KT} e R_{CH} [6].

De acordo com as características do material da peça a ser usinada deve-se escolher uma pastilha com maior resistência ao desgaste de cratera ou ao choque térmico, por exemplo. Neste sentido, os índices apresentados na tabela facilitam uma escolha mais adequada.

TABELA 1.1- CARACTERISTICAS DAS PASTILHAS DE METAL DURO

					Later to the same of the same		**************************************	
CLASSES	WC %	TiC %	TaC %	^σ tt kgf/mm²	R _A kgf/mm²	R _{VB}	R _{CH}	R _{KT}
P01	10,0	65,0	5,0	90	91,4	5,2	0,71	7,3
P10	62,0	16,0	14,0	140	90,4	3,8	2,68	3,4
P20	73,0	10,0	7,5	170	89,8	3,1	3,80	2,4
P30	75,0	8,0	8,0	180	89,4	2,7	4,10	2,2
P40	78,0	5,5	5,0	200	89,0	2,4	4,80	1,7
P50	79,5	2,5	4,0	230	88,4	1,9	5,90	1,1
							white the same of	***************************************
мто	83,0	7,0	4,0	140	90,6	4,0	2,68	1,8
M20	82,0	5,0	6,0	175	90,2	3,5	3,90	1,7
M30	84,0	3,0	3,0	200	89,2	2,5	4,80	1,1
M40	82,5	0,5	3,0.	240	88,4	1,9	6,30	0,6
K01	95,5	- .	7,0	145	91,4	5,2	2,98	•
K10	93,0	-	1,0	170	90,6	4,0	3,80	stern
K20	93,0	-	1,0	190	90,0	3,3	4,40	***
K30	92,5	-	***	210	89,2	2,5	5,20	159
K40	87,2	-	0,8	250	88,4	1,9	6,70	E94

1.1.1- ANOMALIAS DAS PASTILHAS DE METAL DURO

Podemos observar as seguintes anomalias que predominam em pastilhas de metal duro sem revestimento na operação de torneamento [1,7]:

Largura do desgaste na superficie principal de folga \tilde{e} o desen - ga (VB) - o desgaste na superficie principal de folga \tilde{e} o desen - volvimento de uma zona de desgaste na ferramenta, devido \tilde{a} ação abrasiva existente entre a ferramenta e a superficie "nascente" gerada na peça, pela usinagem (figura 1.2). Os metais duros com elevada dureza apresentam uma boa resistência a este tipo de desgaste (vide valores de R_{VR} , tabela 1.1).

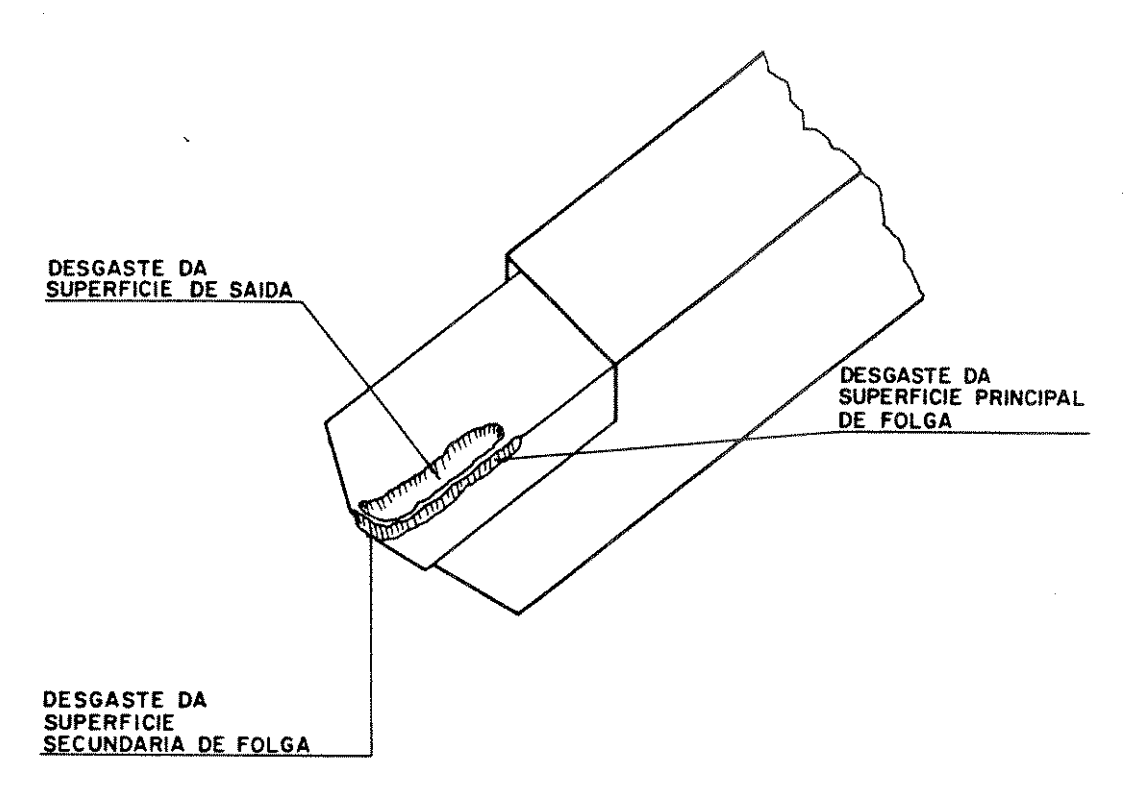


FIGURA 1.2- Desgastes das superficies da ferramenta

Desgaste da superficie secundaria de folga - no torneamento, a superficie usinada e principalmente formada pela ponta de corte e a aresta secundaria de corte. Isto significa que qualquer modificação na ponta de corte, afeta a superficie usinada. Em operações de acabamento, com pequenos avanços, uma ou mais ranhuras são frequentemente encontradas na aresta secundaria de corte, apos um periodo de usinagem. Estas ranhuras provocam um aumento da rugosidade da superficie usinada. Uma avaliação direta

deste tipo de desgaste da ferramenta $\tilde{\mathbf{e}}$ dificil, mas estes efeitos podem ser detectados pela medida da rugosidade.

Um certo valor da rugosidade pode ser utilizado como criterio de fim de vida da ferramenta [9].

Desgaste na superficie de saida da ferramenta - o desgaste de cratera é o tipo de desgaste da superficie de saida que ocorre mais comumente (figura 1.2). A principal causa do desgaste de cratera é o desgaste por difusão, devido à temperatura elevada desenvolvida na interface entre o cavaco e a superficie de saida da ferramenta. Consequentemente, o desgaste de cratera aumenta com a elevação da temperatura, ou seja, com o aumento das condições de corte, principalmente da velocidade de corte [7,8]. Os metais duros que possuem elevados teores de TiC-TaC tem uma boa resistência ao desgaste de cratera (metais duros do grupo P - vide os valores de R_{KT} na tabela 1.1).

Desgaste devido ao choque termico - o aparecimento de fissuras em forma de pente ocorre devido ao choque termico associado principalmente com o corte interrompido. Devido a isto e mais frequente o seu aparecimento em operações de fresamento, porem pode ocorrer no processo de torneamento, quando do corte interrompido associado com elevadas condições de corte [7].

Deformação plástica da pastilha - a deformação plástica da pastilha ocorre sob o efeito de temperaturas e pressões elevadas na região de corte. A grandeza que indica a resis - tência à deformação plástica é a dureza a quente das pastilhas . Desta forma, as pastilhas do grupo P possuem uma maior resistên - cia a este tipo de avaria [7].

Fratura da pastilha - a fratura da pastilha ocorre devido à solicitação dinâmica da aresta cortante. Quanto maior for o limite de resistência à ruptura transversal da pastilha , maior a resistência dela a este tipo de falha [7].

1.1.2- CURVAS DE DESGASTE

As curvas de desgaste da ferramenta são curvas de<u>s</u> gaste-tempo, onde os desgastes mais utilizados para a confecção destes gráficos são o desgaste da superfície principal de folga

e o desgaste da superficie de saida. Os valores destes desgastes são medidos em função do tempo de usinagem. Os parâmetros medidos são a largura do desgaste na superficie principal de folga (VB) ou a profundidade de cratera (KT), (figura 1.3).

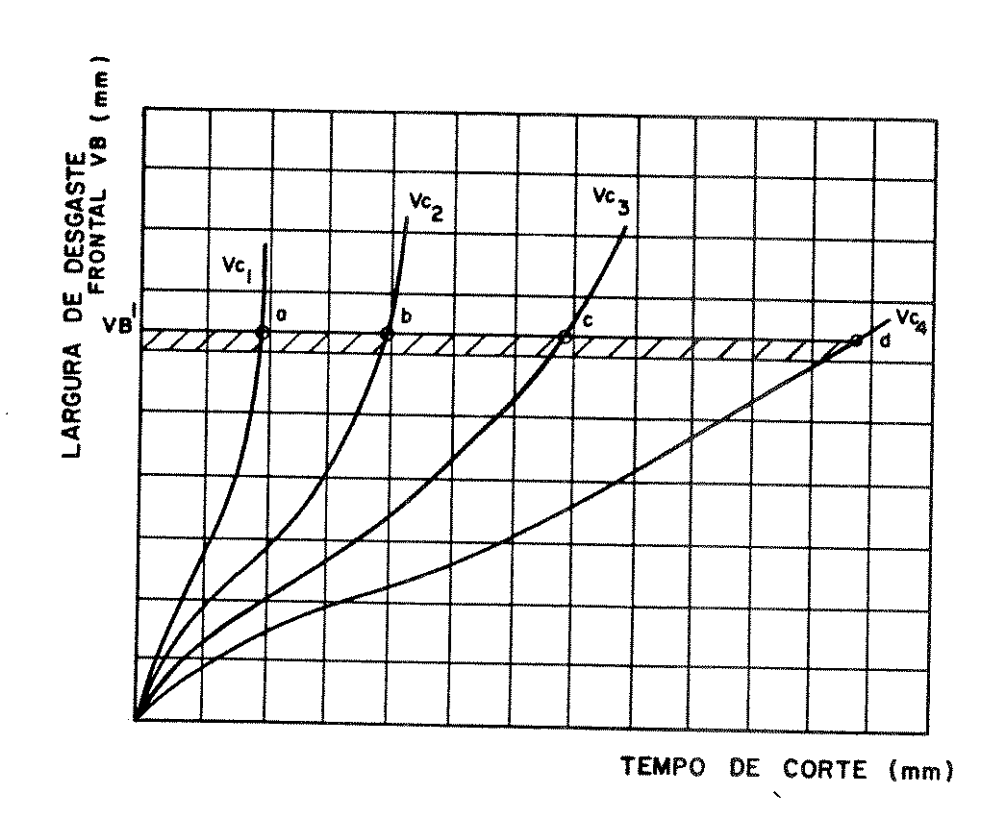


FIGURA 1.3- Curvas de desgaste da ferramenta em função do tempo de usinagem

1.1.3- CURVAS DE VIDA

Denomina-se vida da ferramenta o tempo que a mesma trabalha efetivamente (deduzido os tempos passivos), até perder a sua capacidade de corte, dentro de um critério previamente estabe lecido. Atingindo esse tempo, a ferramenta deve ser substituída. Logo, a vida da ferramenta é o tempo entre duas trocas sucessivas necessárias, no qual ela trabalha efetivamente [10].

Para a execução das curvas de vida deve-se construir em primeiro lugar gráficos auxiliares, que fornecem os desgastes da ferramenta para diferentes velocidades e tempos de trabalho, em determinadas condições do par ferramenta-peça. As medidas do desgaste da superfície de folga (VB) em função do tempo para várias velocidades de corte fornecerão as curvas da figura 1.3.

x = coeficiente angular da reta (x = -k);

K = vida da ferramenta para uma velocidade de corte de lm/min

A equação de Taylor (1.5) pode ser expressa também sob outra forma (principalmente quando o valor de K for muito grande perde-se o sentido físico desta grandeza), ou seja

$$v_c \cdot T^y = C \tag{1.6}$$

onde

$$y = 1/x \tag{1.7}$$

$$C = K^{y}$$
 (1.8)

C representa a velocidade de corte para que a vida da ferramenta seja igual a 1 minuto.

A norma ISO 3685 padroniza os testes para a determinação da curva de vida da ferramenta de torneamento e utiliza para sua representação o Modelo Simplificado de Taylor. Segundo esta norma, os critérios usados para fim de vida da ferramenta são os seguintes [11]:

- a) A largura media da região de desgaste na superficie de folga VB = 0,3 mm, se a região de desgaste for considerada regularmente afetada na zona B (figura 1.5);
- b) A largura māxima da região de desgaste da superfície de folga VB māx = 0,6 mm se a superfície de folga estā irregularmente afetada na zona B (figura 1.5);
- c) A profundidade da cratera KT (figura 1.5) dada em mil \underline{i} metros pela formula KT = 0,06 + 0,3 . f, onde f \overline{e} o avanço da ferramenta dado em mm/volta.

O valor VB = 0,3 mm é tomado como um valor ideal , porque valores mais baixos causariam uma dispersão muito grande dos resultados, visto que a elevada taxa inicial de desgaste teria mais influência; jã valores mais elevados de VB tornariam os ensaios dispendiosos e poderiam não ser alcançados nos testes.

Com relação ao critério de fim de vida pelo acaba - mento superficial, esta norma indica os seguintes valores para

Ra: 1,0; 1,6; 2,5; 4,0; 6,3; 10 μm .

Com relação aos desgastes convencionais VB e KT , se não estiver claro qual o tipo de desgaste predominante, $\bar{\rm e}$ possível utilizar dois critérios, resultando em duas curvas do tipo v x T, ou um critério misto, onde tem-se uma curva resultante v x T (figura 1.6).

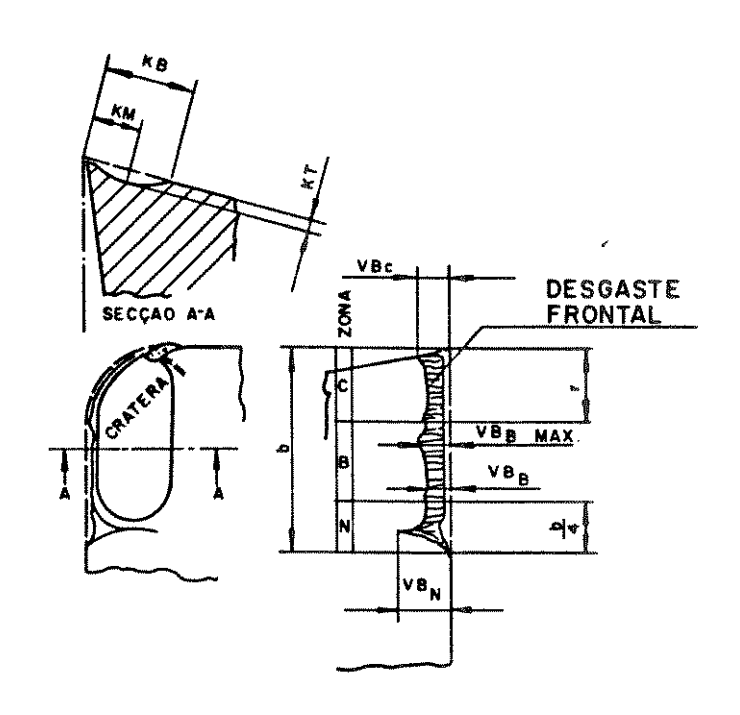


FIGURA 1.5- Alguns tipos de desgaste em ferramentas de torneamen-

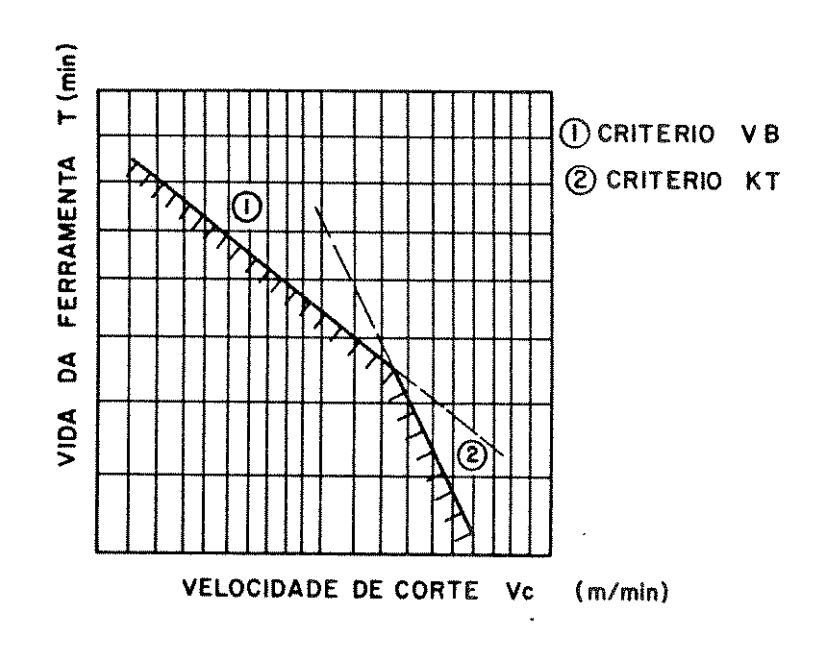


FIGURA 1.6- Representação da curva de vida utilizando dois criterios diferentes para o fim da vida da ferramenta

Esta norma é mais indicada para testes comparati - vos de qualidade de ferramentas, onde os critérios e as recomenda cões citadas devem ser seguidas rigorosamente, ou para testes comparativos de qualidade de materiais da peça. Na prática da usi nagem pode-se chegar a valores maiores de VB e KT, dependendo do tipo de operação que esteja sendo executada.

1.1.4- CONSIDERAÇÕES SOBRE EQUAÇÕES DA VIDA DA FERRAMENTA

1.1.4.1- EQUAÇÕES DE TAYLOR

A equação de Taylor mais conhecida é a formula simplificada (1.6) ou seja,

$$v_c \cdot T^y = C$$

onde v_{C} e a velocidade de corte, T a vida da ferramenta, y a in - clinação da curva log T - log v_{C} e C indica a velocidade de corte para uma vida de l min. (vide item 1.1.3)

Esta fórmula indica uma relação linear entre log T e log ${\bf v}_{\bf c}$ (isto ${\bf \bar e}$, y ${\bf \bar e}$ constante). Pode-se afirmar que a não linearidade ocorre principalmente nos casos [12]:

- a) usinagem de materiais de elevada resistência e materiais resistentes ao calor;
- b) usinagem de materiais em geral, quando as condições de corte propiciam uma elevada vida da ferramenta;
- c) quando se utiliza uma elevada taxa de remoção de material.

A linearidade da equação de Taylor parece ser razoavelmente válida na usinagem de aços carbono e na usinagem de materiais com baixo teor de liga em condições de desbaste leve ($a_p=2$ a 4 mm; f=0,2 a 0,5 mm/v) em velocidades tais, de modo a vida da ferramenta se situar entre 10 e 50 min. [12].

A equação (1.6) relaciona a velocidade de corte com a vida da ferramenta para um determinado par ferramen - ta-peça, e não leva em conta outros fatores tais como as variã-

veis de corte e a geometria da ferramenta.

Devido a isto, Kronenberg [13] desenvol - veu a equação

$$v_{C_{60}} = \frac{C_1}{A^2}$$
 (1.7)

onde C_1 \bar{e} uma constante que representa a velocidade de corte para uma \bar{a} rea A de corte igual \bar{a} l mm² e z \bar{e} a inclinação da curva l log $v_{C_{60}}$ - l log A, para uma vida T = 60 minutos.

A equação (1.7) leva em conta tanto o avanço como a profundidade de corte, porém o raio de ponta da ferramenta não consta da expressão.

Gilbert [14] sugeriu em 1950 uma equação utilizando conjuntamente as variáveis avanço, profundidade de corte e velocidade de corte. Esta expressão passou a denominar - se "Equação Expandida de Taylor", como segue:

$$T \cdot v_c^X \cdot f^Y \cdot a_p^Z = K_1$$
 (1.8)

onde K₁ , x , y e z são constantes.

Esta expressão \tilde{e} bastante utilizada, mas ela omite a geometria da ferramenta e supõe que os expoentes x, y e z são constantes, ou seja, a variação de v_c , f e a_p não afeta os expoentes. Desde que se admita a hipôtese desta constância, esta expressão \tilde{e} muito \tilde{u} til, por \tilde{e} m, a avaliação das constantes \tilde{e} bastante trabalhosa exigindo uma série muito grande de ensaios.

Uma extensão das expressões de Taylor (1.5 e 1.8) é obtida relacionando-se exponencialmente o desgaste VB em função do tempo de usinagem (figura 1.7).

De acordo com a figura 1.7, tem-se as seguintes relações [15]:

$$VB_1 = C_2 \cdot t^{n_1}$$
 (1.9)

$$VB_2 = C_3 \cdot t^{n_2}$$
 (1.10)

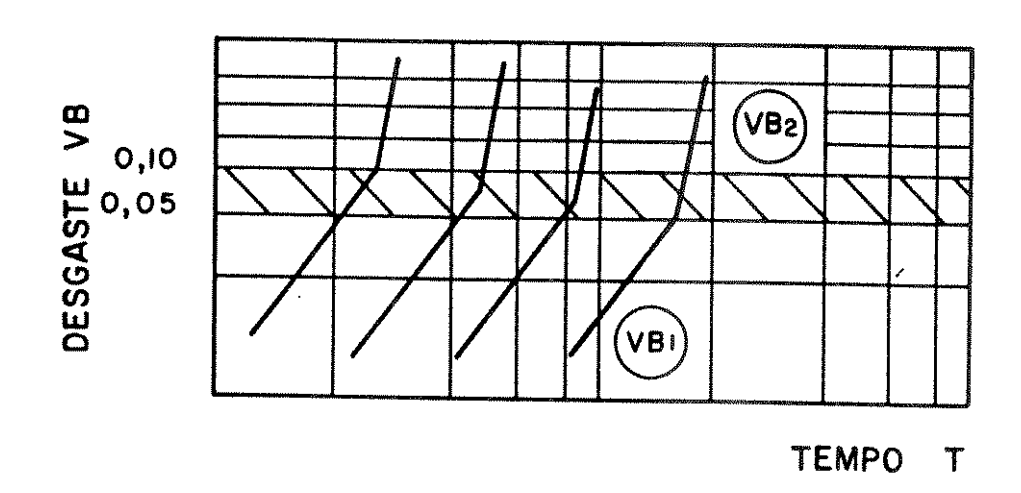


FIGURA 1.7- Largura do desgaste VB em função do tempo de usinagem

Existem tabelas para os valores de n_1 e n_2 para as varias classes de metal duro e varios materiais [15], porem a variação destes expoentes, de acordo com estas tabelas , e muito pequena, podendo-se afirmar que $n_{\rm T}$ 0,6 e $n_{\rm 2}$ = 1,3. Obser va-se também que os valores de C_2 e C_3 variam linearmente com ve que os expoentes n_1 e n_2 independem da velocidade de corte . A utilização da expressão (1.9) ou (1.10) dependera da faixa de desgaste que se está utilizando. Tomando-se como base a expressão (1.10) e isolando-se o valor de t, obtem-se

$$t = \frac{(VB_2)^{1}/n_2}{(C_3)^{1}/n_2}$$
 chamando-se $^{1}/n_2 = m_2$ $e = \frac{1}{C_3^{1}/n_2} = K$, tem-se

$$t = (VB_2)^{m_2} \cdot K'$$
, ou seja

 $K_1 = K_1' \cdot VB_2^{m_2}$ (para a Equação Expandida de Taylor) (1.11)

Analogamente para a Equação Simplifica - da de Taylor, tem-se

$$K = (VB_2)^{m_2} \cdot K'$$
 (1.12)

O mesmo raciocinio é válido para o trecho 1 da figura 1.7. As sim, se uma curva de vida é obtida tendo-se como critério um de terminado valor de VB e na pratica observa-se que pode-se chegar a valores maiores do desgaste, os valores das novas constantes $\,$ K ou $\,$ K_1 das equações (1.6) e (1.8) podem ser determinadas $\,$ como se segue

$$K = K' \cdot \left(\frac{VB_2}{VB_2}\right)^{m_2} \tag{1.13}$$

o u

$$K_1 = K'_1 \left(\frac{VB_2}{VB'_2} \right)^{m_2}$$
 (1.14)

onde K' e K' $_1$ representam os valores das constantes obtidas em en saios; VB' $_2$ representa o critério de desgaste utilizado para a de terminação da curva de vida, onde este valor de desgaste está situado no trecho 2 da figura 1.7; VB $_2$ e o valor de desgaste que se admite ser possível de ser alcançado na prática da usinagem . O mesmo raciocínio aplica-se para o trecho l.

A analise acima pressupõe que as curvas de vida, tanto para VB como para VB' são paralelas, fato que não ocorre com frequência (figura 1.8).

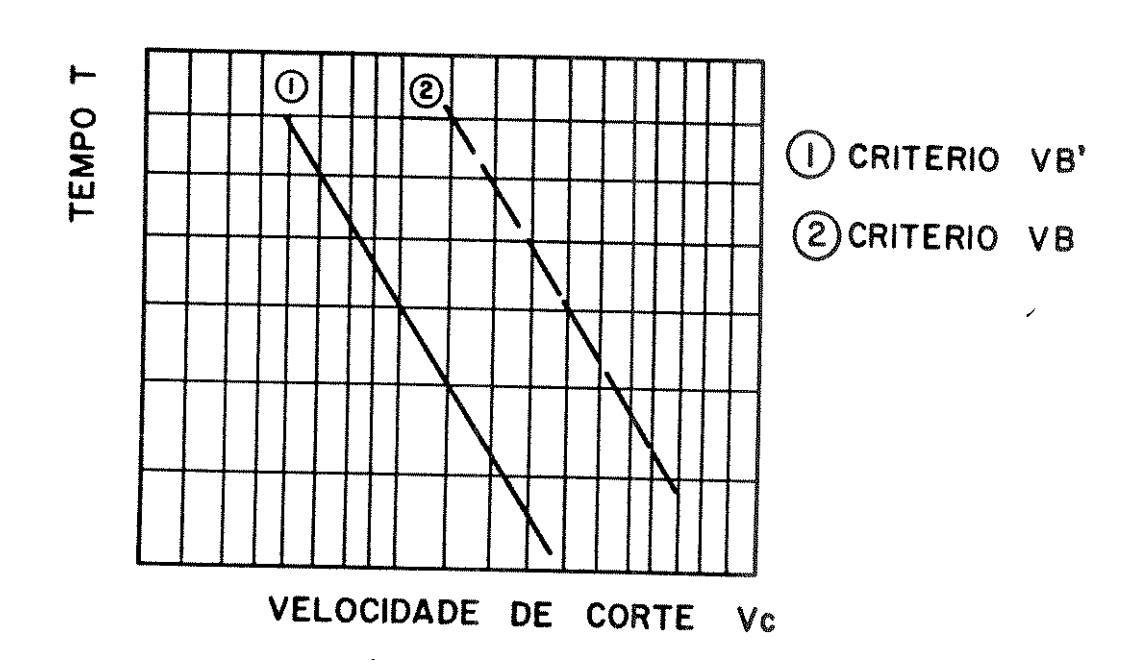


FIGURA 1.8- Curvas de vida para VB' e VB, onde a curva para VB e pressuposta ser paralela à curva para VB' obtida em ensaio

1.1.4.2- EQUAÇÕES BASEADAS NO CONCEITO DE CAVACO EQUIVALENTE

Na década de 1930 Woxen sugeriu que a vida da ferramenta poderia ser relacionada com a temperatura de corte, pela avaliação do balanço térmico do processo de corte [16]. Ele demonstrou que a temperatura de corte era uma função direta do cavaco equivalente q, para uma determinada velocidade de corte e um determinado par ferramenta-peça.

O cavaco equivalente q e definido como a relação entre o comprimento da aresta de corte que está em contato com a peça (L) e a area (A) da seção de corte (figura 1.9) , de tal forma a se ter a relação

$$q = \frac{L}{A} (mm^{-1})$$
 (1.15)

Se a equação acima for expressa inversamente, então tem-se a chamada espessura equivalente do cavaco $\mathbf{h}_{\mathbf{e}}$,

$$h_e = \frac{A}{L} \quad (mm) \tag{1.16}$$

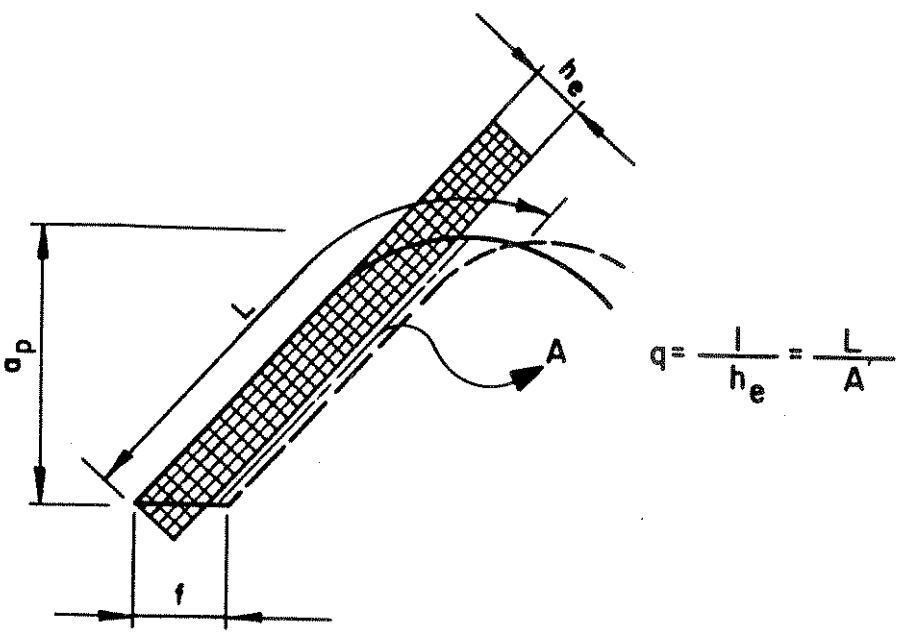


FIGURA 1.9 - Cavaco equivalente

Woxen supôs que havia uma relação direta entre a temperatura de corte e a vida da ferramenta, ou seja, ten

do-se como critério de fim de vida uma determinada temperatura θ_1 , esta temperatura corresponde a um determinado tempo T_1 (figuras 1.10 e 1.11)

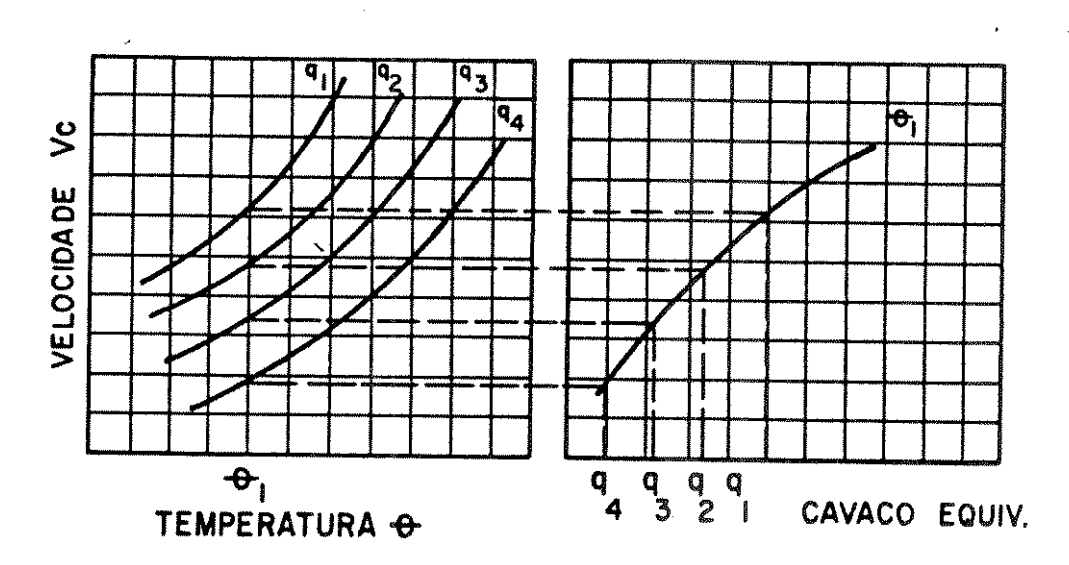
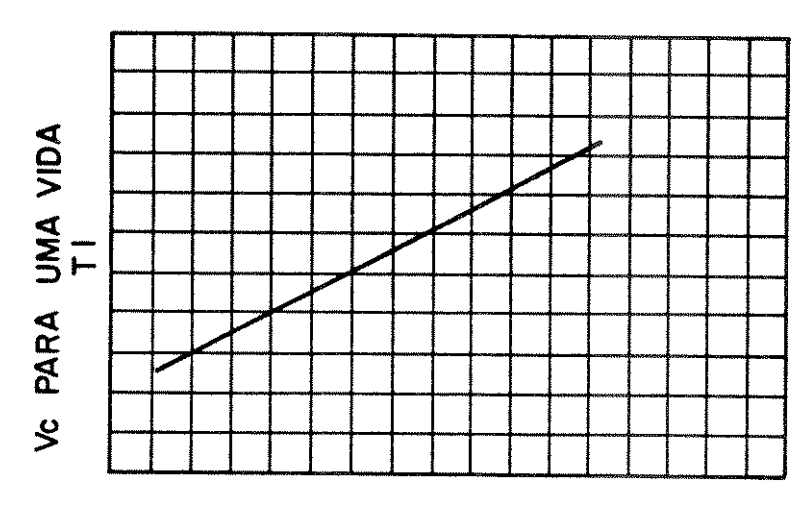


FIGURA 1.10 - Relação entre a velocidade de corte e a temperatura para diversos valores do cavaco equivalente e entre a velocidade de corte e o cavaco equivalente para uma determinada temperatura de corte



CAVACO EQUIVALENTE

FIGURA 1.11 - Relação entre a velocidade de corte e o cavaco equivalente para uma determinada vida T_1 da ferramenta (que corresponde a uma temperatura θ_1)

A partir do gráfico ilustrado na figura 1.11, Woxen propôs a relação [15]

$$v_c = C_w (q_o + q)$$
 (1.17)

Uma vez que os grāficos v_c - q não são necessariamente lineares,

ele introduziu o fator de correção 1/(1 + g . q) com g constan te, obtendo a relação

$$v_{c} = C_{w} \left(\frac{q_{o} + q}{1 + g \cdot q} \right) \tag{1.18}$$

A vida T da ferramenta foi introduzida na expressão (1.18) através do termo $(T_\chi/T)^\alpha$, admitindo sempre a validade da Equação Simplificada de Taylor, resultando em [15]

$$v_{c} = \left(\frac{T_{x}}{T}\right)^{\alpha} \cdot C_{w} \cdot \left(\frac{q_{o} + q}{1 + g \cdot q}\right) \tag{1.19}$$

onde

T_x representa uma vida escolhida da ferramenta (por exemplo 30 min);

C_w e uma constante dependente do material da peça e da ferramenta.

A aplicação prática da expressão (1.19) era muito difícil, desta forma, Colding [17] baseado na teoria acima propôs a relação

$$v_c \cdot T^{\alpha} \cdot q^{\gamma} = C_w^{\dagger}$$
 (1.20)

Porem Brewer e Rueda [18] e também Colding [17] notaram que os expoentes α e γ não são necessariamente constantes ou independentes entre si. Recorrendo a análise dimensional, o proprio Colding sugeriu a expressão

(1.21)

 $k + a \cdot log q + c \cdot log v_c - log T + h \cdot log q \cdot log T = 0$

ou de uma maneira mais geral,

$$k-a.x+b.x^2+c.y+dy^2-z+e.z^2+f.x.y+g.y.z+h.x.z=0$$
 (1.22)

onde

X = log q; y = log v; z = log T e a,b,c,d,e,f,g e h são constantes obtidas experimentalmente.

As equações (1.21) e (1.22) embora expres sem com um certo grau de precisão as curvas de vida, têm pouco sentido prático.

1.1.4.3- EQUAÇÃO DE DEPIEREUX

Depiereux [19] desenvolveu uma equação que pode acomodar as não-linearidades dos gráficos log T - log v_c e log T - log f. Curvas típicas representando esta expressão estão mostradas nas figuras 1.12 e 1.13. De acordo com estas figuras, tem-se

a) para um determinado avanço,

$$tg\alpha = -\left(\frac{d \log T}{d \log v_c}\right) = k \tag{1.23}$$

$$k = k_{vc} \cdot v_c^{m} \tag{1.24}$$

b) para uma determinada velocidade de corte

$$tg\beta = -\left(\frac{d \log T}{d \log f}\right)_{V_C} = i \qquad (1.25)$$

$$i = i_f \cdot f^n \tag{1.26}$$

Isto e, os coeficientes angulares das cur vas de vida variam linearmente com a velocidade de corte e avan co, na representação dilogarítmica.

A expressão desenvolvida por Depiereux para representar curvas de vida semelhantes aquelas ilustradas na figura 1.12 e dada por

$$T = e^{-\frac{k_{VC} \cdot v_{C}^{m}}{m}} - \frac{i_{f} \cdot f^{n}}{n} + C \qquad (1.27)$$

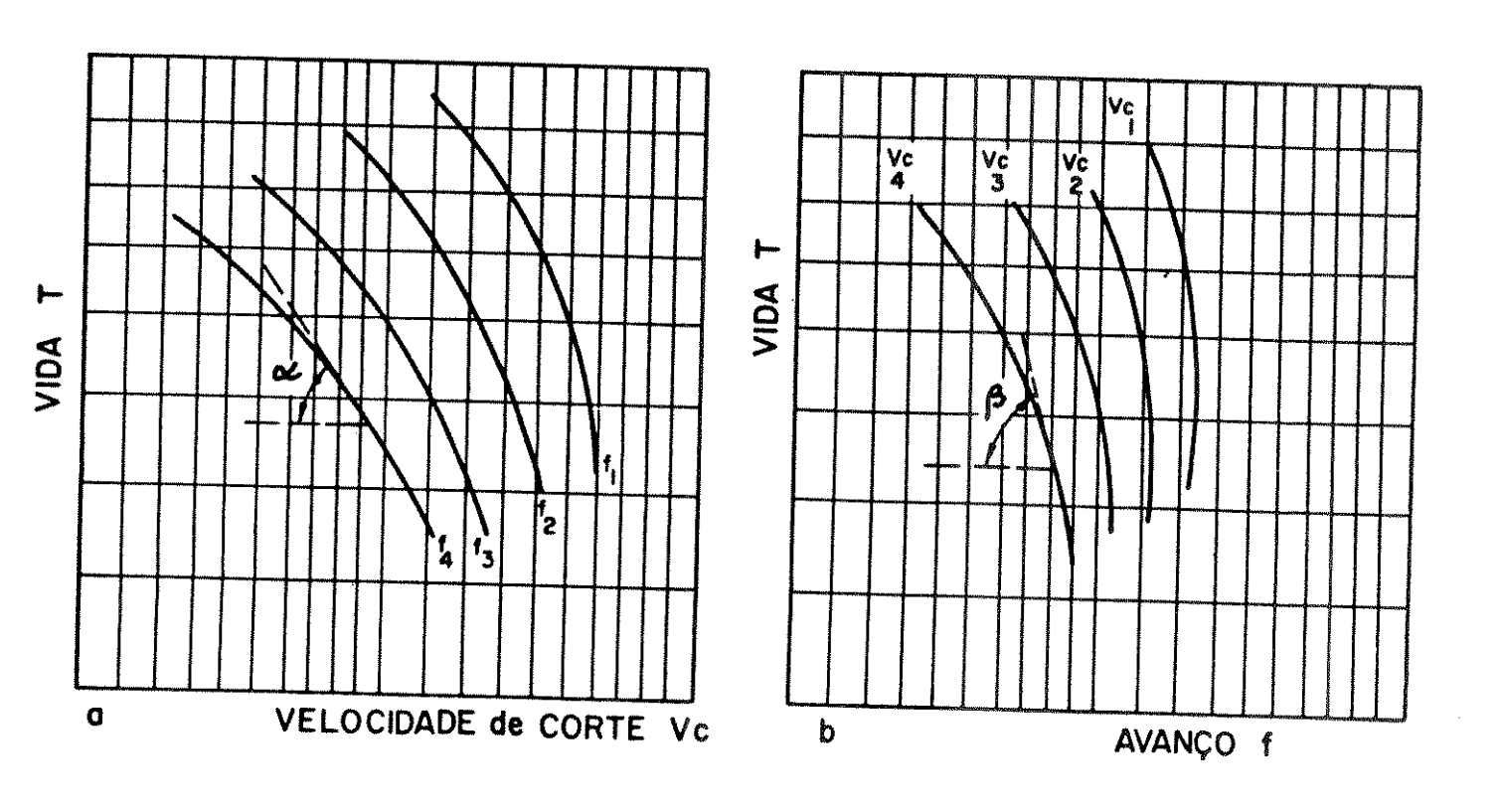


FIGURA 1.12- Curvas de vida em função da velocidade de corte e do avanço

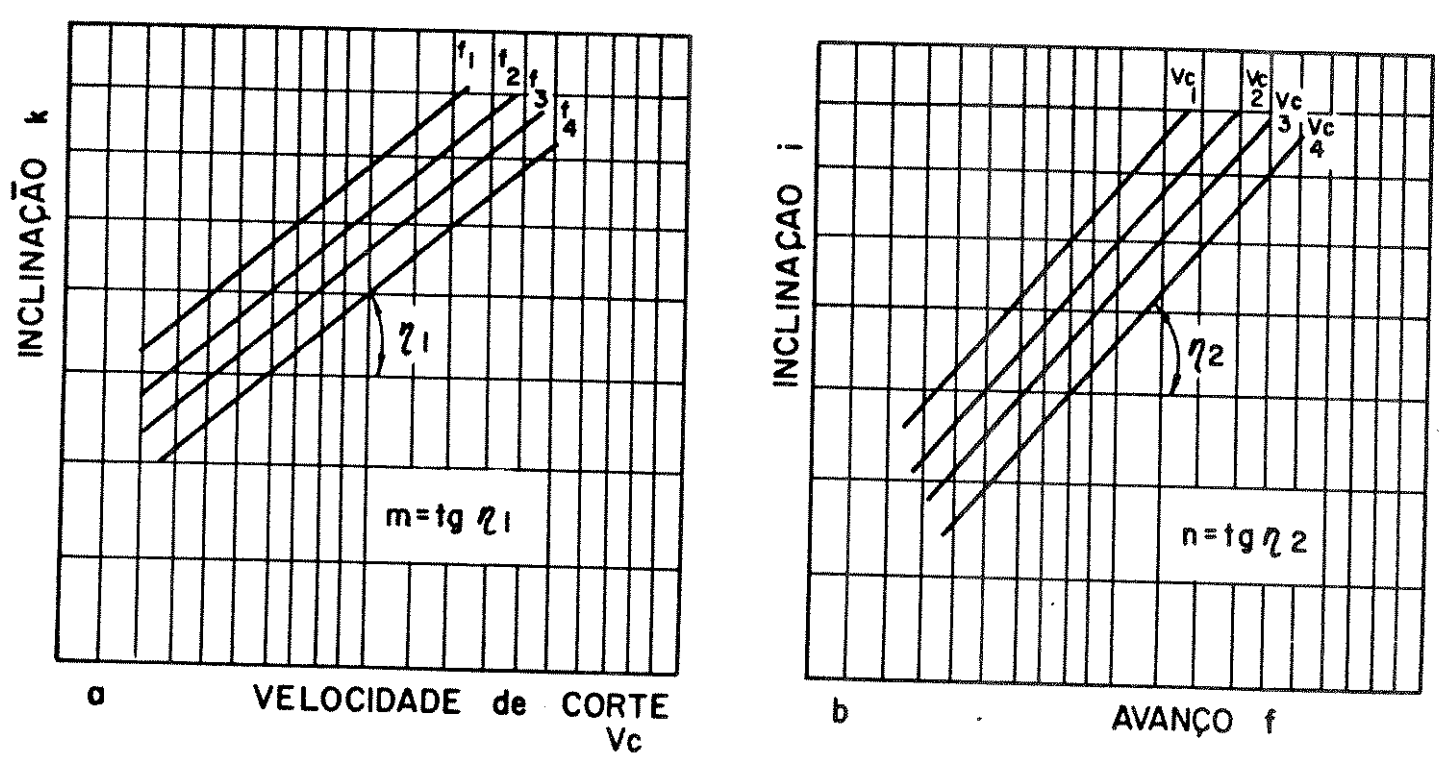


FIGURA 1.13 - Variação das inclinações das curvas T - v e T - f

1.1.4.4- EQUAÇÕES BASEADAS NAS PROPRIEDADES FÍSI - CAS DO MATERIAL DA PEÇA

As equações da vida baseadas nas propriedades físicas dos materiais mostraram ser um campo promissor para pesquisas, porem resultados experimentais obtidos no Centro de Tecnologia da UNICAMP e confrontados com tais expressões , não apresentaram uma boa correlação, indicando que tais equações não estão ainda na sua forma final, motivo pelo qual não serão apresentadas neste trabalho [20,21].

1.1.5- ANALISE DAS EQUAÇÕES DA VIDA

As varias equações da vida da ferramenta apresenta das são empiricas, portanto, quando se discute a validade de uma dessas expressões, tem-se que ter em mente que todas surgiram experimentalmente. Os criterios para a utilização de uma dessas expressões devem ser os seguintes:

- a) ter um bom ajustamento com os valores experimentais obtidos;
- b) abranger uma vasta gama de parâmetros de corte, tais como, velocidade, avanço, profundidade de corte, etc.

A fim de ser satisfeito o item b), as equações de maior interesse são:

- Equação Expandida de Taylor;
- Equações que utilizam o conceito de cavaco equivalen te;
- Equação de Depiereux.

Destas 3 (três) expressões, as equações que utilizam o conceito de cavaco-equivalente são bastante úteis, uma vez que, além de possuirem as variáveis de corte relativas à máquina (velocidade, avanço e profundidade de corte), elas incluem também o ângulo de posição e o raio da ponta. Porém, se for considerar a dispersão intrinseca nos resultados da vida da ferramenta, tornase duvidoso afirmar que equações mais precisas da vida da ferra

menta são realmente necessárias, exceto, evidentemente nos casos em que ocorrerem extremas não-linearidades. Desta forma, deve-se tomar cuidado na aplicação de técnicas estatísticas em curvas de vida, pressupondo que as mesmas sejam lineares, sendo aconselhã - vel utilizar métodos gráficos antes da aplicação de tais técnicas.

Yellowley e Barrow [12] propuseram uma técnica interessante para a determinação da Equação de Woxen, porem utili zando-se a espessura de cavaco equivalente he, de tal forma que

$$v_c \cdot T^{\alpha} \cdot he^{\gamma} = C_5$$
 (1.28)

Segundo esses dois pesquisadores a equação (1.28) fica representada de acordo com a figura 1.14.

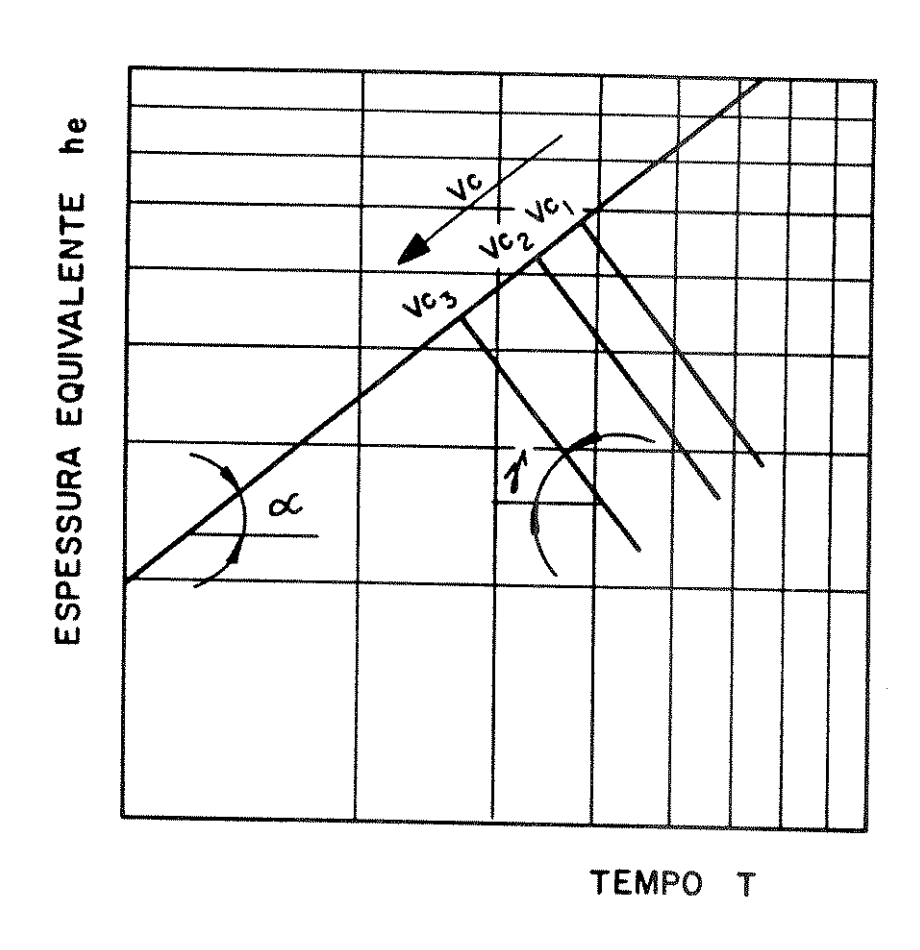


FIGURA 1.14- Representação gráfica da expressão (1.28)

Neste caso, o seguinte procedimento deve ser segu<u>i</u>

1) determinar um gráfico log v_{c} - log T utilizando valores médios de avanço e profundidade de corte, varian-

do-se a velocidade de corte, determinando - se $% \left(1\right) =\left(1\right) +\left(1\right) +\left($

2) determinar a vida da ferramenta para outras condições de avanço e profundidade de corte (varios valores de he), para uma velocidade de corte fixa. Repetir o ensaio para as outras velocidades desejadas.

A partir dos itens 1) e 2) \bar{e} possível traçar linhas retas através dos pontos para uma determinada velocidade e linhas paralelas para outras velocidades de corte (figura 1.14). Se α e γ são constantes, as linhas irão todas ser paralelas e espaçadas de acordo com séries logarítmicas. Neste caso, apenas 5 pontos são necessários para se prever a vida da ferramenta.

Mas, se α e γ variam é necessário um maior número de ensaios, para se encontrar o melhor paralelismo das linhas e minimizar o erro causado por estas não linearidades. Porém, como já visto anteriormente, quando as curvas de vida não são lineares, a expressão de Depiereux é a que representa com maior exatidão a forma dessas curvas, pois tanto a Equação Expandida de Taylor quanto a Equação do Cavaco Equivalente pressupõe além da linearidade, que os expoentes são interdependentes entre si, ou seja, a alteração de uma variável não altera o expoente de outra o que não ocorre na realidade. A expressão de Depiereux, no entanto, embora represente com maior exatidão as não linearidades, pressupõe também, que os valores de m e n são constantes com as variações das velocidades de corte e avanços respectivamente. Assim as retas representadas nas figuras 1.13a e 1.13b são paralelas entre si,isto é, considera a interdependência entre as variáveis.

Ressalta-se, todavia, o jā citado neste item, ou seja, a aplicação de equações mais precisas da vida da ferramenta somente e justificavel em casos de extremas não linearidades e a Equação Simplificada de Taylor aplica-se razoavelmente bem na maioria dos casos, tendo a vantagem de necessitar um numero menor de ensaios para a obtenção de suas constantes.

A figura 1.15 mostra a representação gráfica de al guns modelos de vida da ferramenta.

CAPITULO I

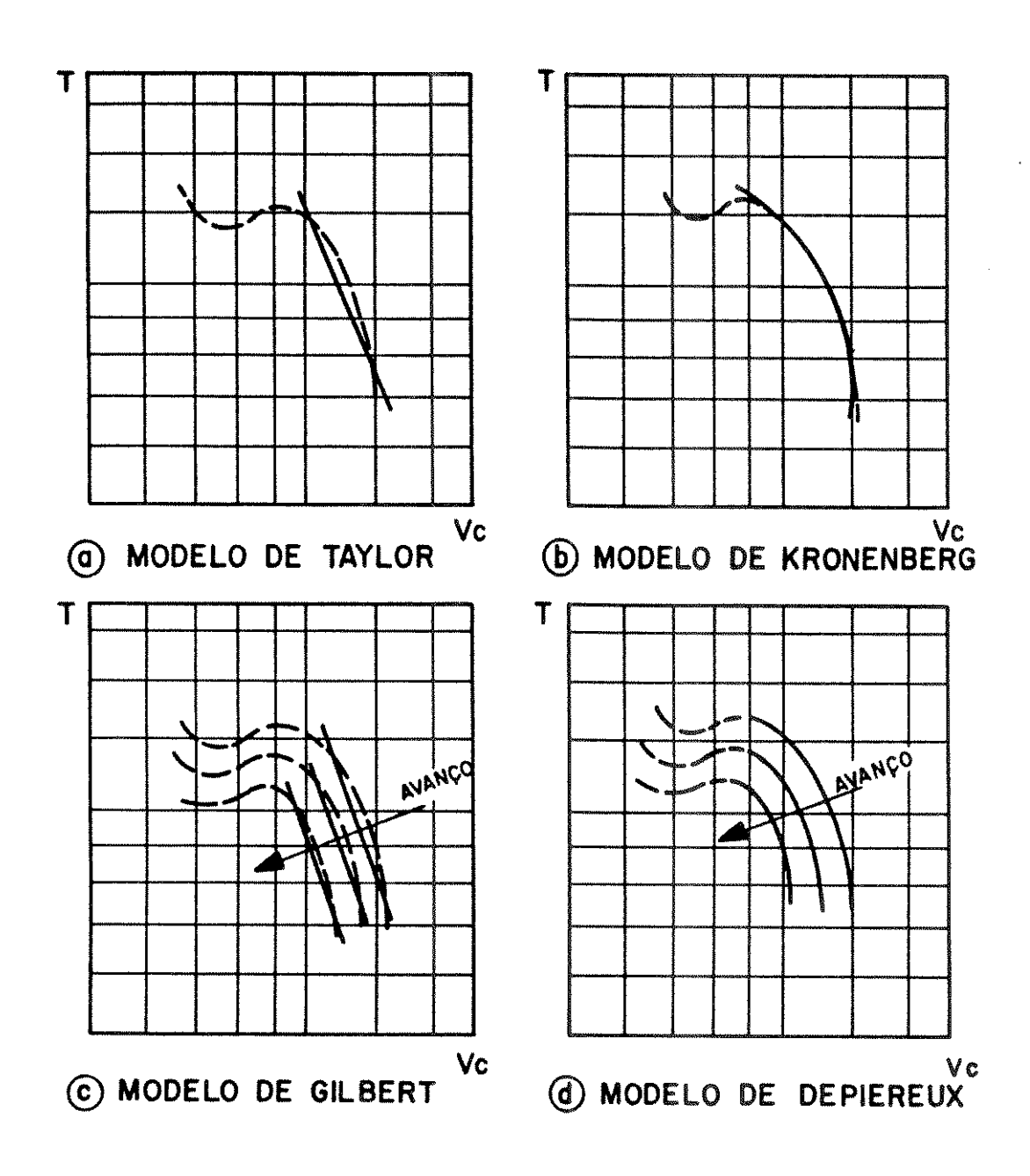


FIGURA 1.15 - Representação de alguns modelos matemáticos da vida da ferramenta

1.2- PASTILHAS DE METAL DURO COM REVESTIMENTO

O primeiro desenvolvimento com relação a revestimentos de pastilhas de metal duro foi a cobertura com uma fina camada de TiC na superfície de qualquer classe de pastilha, através do único processo existente na época, o CVD (Chemical Vapour Deposition). O CVD possui uma temperatura de processamento da ordem de 800 à 1000 $^{\rm O}$ C. Neste processo, uma mistura gasosa é introduzida em um forno contendo as pastilhas, e as reações químicas na fase gasosa produzem o material a ser depositado no substrato. A espessura do revestimento é controlada pela temperatura e vazão dos gases [7,22,23] (figura 1.16).

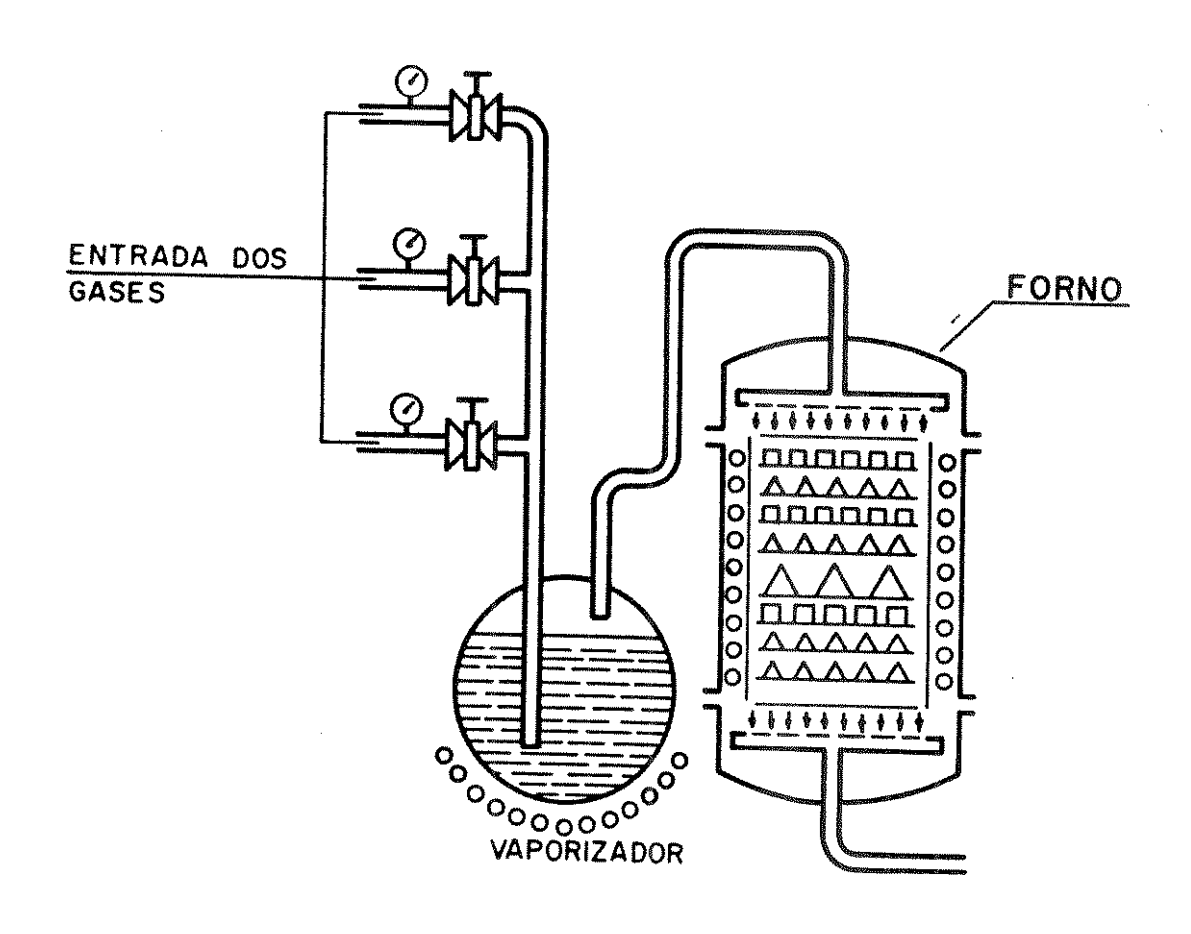


FIGURA 1.16- Esquema de processo de revestimento pelo processo CVD

Desta forma, as primeiras pastilhas revestidas foram lançadas comercialmente na Europa em 1968 e possuiam um revestimento de 2 \tilde{a} 3 μ m e uma região de descarbonetação entre o substrato e o revestimento (chamada fase η) da ordem de 3 \tilde{a} 5 μ m [23].

Em 1973 foram lançadas pela Metallwerk Plansee GmbH na Aūstria, pastilhas recobertas com mais de uma camada de revesti - mento. Estas consistiam de uma camada de TiC sobre o substrato , acima da qual eram colocadas uma camada de carbonitreto de titã - nio (Ti (C,N)) e uma camada de nitreto de titânio (TiN), perfa - zendo, desta forma, uma tripla cobertura [23]. Porēm, sérios problemas foram encontrados nestas duas primeiras séries de pastilhas recobertas e as pesquisas demonstraram que o substrato exer ce um papel importante e que nem todos os substratos podem ser re cobertos com vantagens [24,25,26].

Posteriormente, camadas de Al₂O₃ foram utilizadas junta - mente com TiC ou Ti(C,N) e TiN no topo. Neste caso a camada de Al₂O₃ é a intermediária, pois sempre é necessário uma camada anterior de TiC ou Ti(C,N) para auxiliar a aderência da alumina . Tais pastilhas se encontram disponíveis no mercado europeu desde 1978 [23]. Por essa época, surgiu um outro processo de revestimento, o PVD (Physical Vapour Deposition), que opera em temperaturas da ordem de 500°C, porém o processo CVD permite revestimentos mais uniformes e mais espessos que no processo PVD. Além disso , os revestimentos feitos pelo processo PVD são menos aderentes, motivo pelo qual é pouco utilizado para pastilhas de metal duro [22, 27].

Baseado nas pesquisas feitas entre as interações do Al $_2$ O $_3$ com outros compostos quimicos, foi possível desenvolver camadas multiplas de revestimentos com uma sequência de camadas cerâmicas [23,27].

Assim, jā existemno mercado europeu pastilhas de metal du ro recobertas com 10 ou 12 camadas, num total de 10 μ m de espessura (figura 1.17).

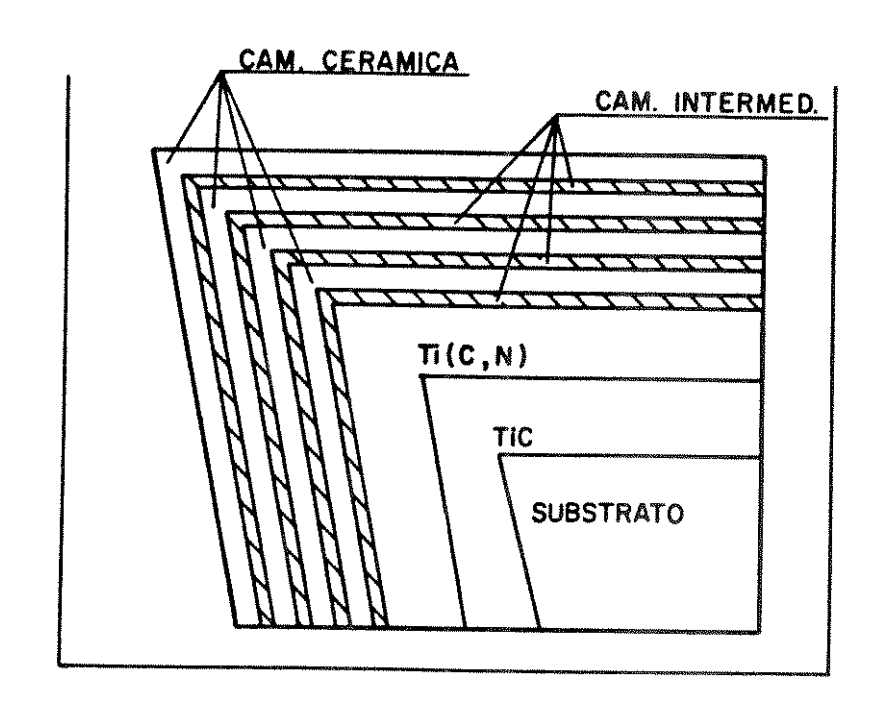


FIGURA 1.17 - Revestimento multi-camadas de pastilhas de metal duro

Essas pastilhas são compostas de TiC, Ti(C,N) e então uma sequência de camadas cerâmicas (Al_2O_3) e camadas intermediárias de ĩons de nitrogênio. O substrato utilizado é o MlO e são indica das para a usinagem do ferro fundido cinzento e aços para trabalho a quente com elevadas resistência à tração e dureza (da ordem de 50 RC). De acordo com o fabricante, tais pastilhas apresentam vantagens sobre as pastilhas de Si_3N_4 ou Si-Al-O-N, devido a sua maior ductilidade [23].

Como jã mencionado acima, o substrato tem uma grande influência na vida de pastilhas revestidas sendo que atualmente, de acordo com os recobrimentos estão sendo utilizadas as seguintes classes de metal duro como substrato: P15, P25, P30, P40, M10, M20, K10 e K20 [7].

No Brasil, as pastilhas revestidas começaram a ser fabricadas por volta de 1982, sendo que os revestimentos utilizados são o TiC, TiN e o Al₂O₃. Desta forma encontram-se pastilhas revestidas com TiC; TiN; TiC/TiN; TiC/Al₂O₃ e TiC/Al₂O₃/TiN. As pastilhas recobertas com TiC apresentam a coloração cinza. Uma vez que o revestimento não é suficiente para esconder marcas de retificação, torna-se praticamente impossível através da inspeção se ter certeza se a ferramenta está ou não recoberta com TiC. Os revesti

mentos de TiN são de cor amarelada, facilmente reconheciveis. As pastilhas com Al₂O₃ também são difíceis de ser reconhecidas, porém elas apresentam a propriedade de serem isolantes elétricamente, o que pode facilitar a inspeção [27].

A figura 1.18 apresenta a variação da dureza dos revestimentos utilizados no Brasil, em função da temperatura.

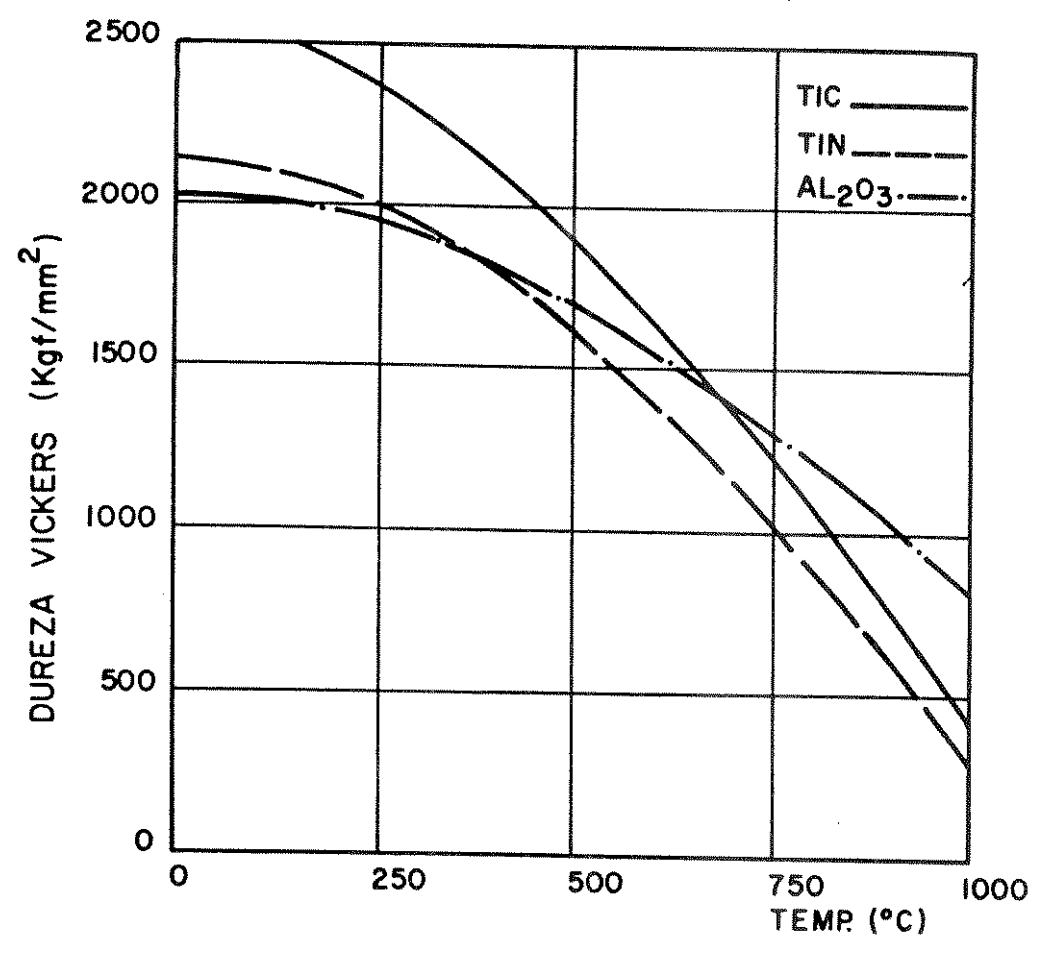


FIGURA 1.18- Variação da dureza dos revestimentos com a temperat \underline{u} ra

Evidentemente, o revestimento mais adequado depende do material da peça e das condições de usinagem que serão utilizadas. Em operações com materiais abrasivos predomina o desgaste VB, de vendo-se, portanto, empregar revestimentos que tenham elevada dureza a temperaturas médias (TiC, TiN) (figura 1.18). Na usinagem de aços com elevadas velocidades de corte, onde a temperatura de corte é maior, ocorre com frequência a difusão intermetálica entre o material da ferramenta e o cavaco, prevalecendo a crateriza ção na superfície de saída da ferramenta. Neste caso, são recomendaveis os revestimentos de alta dureza e estabilidade química em elevadas temperaturas, tais como o Al₂O₃ ou uma camada dupla de

TiC/Al₂O₃ [25,29]. A utilização de revestimento triplo é aplica - vel ao mesmo caso anterior. O TiN apesar de ser um material mais mole que o Al₂O₃ em elevadas temperaturas (figura 1.18), permite um melhor acabamento da superfície da ferramenta, possibilitan - do um menor atrito ferramenta/cavaco, diminuindo a temperatura de corte e consequentemente a craterização [29].

De acordo com E. Rudy e outros [30], a escolha mais adequada do revestimento está relacionada com o ângulo de cisalhamen to no processo de usinagem, dado por:

$$tg \emptyset = \frac{\cos \gamma}{R_c - \sin \gamma}$$
 (1.29)

onde

Ø ē o āngulo de cisalhamento;

γ ē o ângulo de saida da ferramenta;

R_c o grau de recalque do cavaco.

Desta forma, tem-se a seguinte orientação para a escolha do revestimento [30]:

- \emptyset ~ 20 $^{\circ}$ são indicados revestimentos simples de TiC ou TiN.
- \emptyset ~ 27° são indicados revestimentos duplos contendo Al₂O₃.
- \emptyset ~ 32⁰ são indicados revestimentos triplos (TiC/Al₂O₃/TiN).

Ressalte-se aqui o fato de que o ângulo de cisalhamento aumenta com o aumento da dureza do material da peça, com a veloci dade, com o avanço e com o aumento do ângulo de saída da ferramenta.

O surgimento das pastilhas de metal duro revestidas abrangendo uma faixa de aplicação bastante ampla, cobrindo várias classes de pastilhas sem revestimentos, fez com que o comitê de Ferramentas de Usinagem da DIN propusesse à ISO, no final de 1987, uma classificação mais ampla e atualizada das pastilhas de metal du-

ro. Tal proposta ainda não foi amplamente discutida pelo Comitê ISO [31].

1.2.1- LASCAMENTO DE PASTILHAS DE M. D. COM COBERTURA

Com o desenvolvimento de revestimentos multi-camadas há um interesse muito grande no estudo do comportamento do desgaste das ferramentas revestidas. O aumento da resistência ao desgaste destas ferramentas permanece mesmo após o revestimento já ter saído da pastilha, principalmente na superfície de saída da ferramenta. Colding [32] estudou o comportamento de pastilhas recobertas com TiC, e afirmou que este efeito ocorria primeiramente devido ao fluxo de TiC das bordas para a base da cratera em elevadas temperaturas, e secundariamente devido as bordas da cratera que ainda permanencem recobertas.

No entanto, Sproul e Richman [33] contrariaram essa hipótese, afirmando que a resistência ao desgaste permanece de vido a camada de carboneto η na base do substrato, produzida pela interdifusão revestimento-substrato que age como uma barreira contra a difusão intermetálica.

Todavia, J. P. Chubb e J. Billingham [33] fizeram testes com várias espessuras da fase n e concluíram que a mesma não tem influência nenhuma no prolongamento da vida da ferramen - ta, tendo-se como critério de vida os desgastes convencionais.

Por outro lado, a fase η \bar{e} muito quebradiça, prejudicando o desempenho da ferramenta, principalmente quando se tem mais de uma camada de revestimento. Desta forma, esta camada que nas primeiras pastilhas era da ordem de 3 \bar{a} 5 μ m foi controlada e chegou-se a valores mais otimizados de sua espessura . Hoje, nas pastilhas revestidas comerciais, a espessura da fase η , quando existente, $n\tilde{a}$ 0 ultrapassa 0,5 μ m [29].

Devido a espessura dos revestimentos ser bastante delgada torna-se muito difícil efetuar testes de dureza ou outros testes significantes sobre as coberturas. O coeficiente de expansão térmica dos revestimentos e geralmente maior do que o do substrato. Basicamente uma menor diferença entre os coeficientes de expansão térmica do revestimento e do substrato permite a aplicação de revestimentos mais espessos, sem riscos de danos provocados por tensões internas produzidas ou durante a aplicação do re-

vestimento, ou durante o processo de usinagem [24]. A Tabela 1.2 apresenta os valores do coeficiente de expansão térmica para os revestimentos TiC, TiN, Al_2O_3 e os substratos.

TABELA 1.2- COEFICIENTES DE EXPANSÃO TERMICA DOS MATE RIAIS DOS REVESTIMENTOS E SUBSTRATOS [24]

MATERIAL	COEFICIENTE DE EXPANSÃO TERMICA (10 ⁶ / ^O C)				
TiN	9,5				
TiC	7,6				
Al ₂ O ₃	8,5				
Substrato de Metal Duro	4,5 - 6,0				

Geralmente o resfriamento das pastilhas apos o revestimento (800 - 1000°C) jā introduz tensões nas camadas. O polimento das superfícies revestidas geralmente revela uma rede de pequenas fissuras, que não são mais profundas do que as espessu ras de revestimento [27].

J. Billingham, P. Hancock e J. P. Chubb analisaram o comportamento de várias pastilhas revestidas fornecidas por vários fabricantes e notaram que após determinado tempo de usina egem, todas as pastilhas analisadas apresentavam lascamentos, principalmente na superfície de folga da ferramenta. Este comportamento foi observado tanto em pastilhas com uma, duas ou três camadas de revestimentos [34]. De seus ensaios, os mesmos chegaram as seguintes conclusões [33,34]:

- O desgaste determinante de fim de vida das pastilhas recobertas ocorre na superficie de folga da ferramenta, e não na superficie de saïda;
- O desgaste inicial na superfície de folga da ferramenta ocorre pelo mecanismo da abrasão, o qual é substi tuído nos estágios finais da vida da ferramenta (quando ocorre então o lascamento dos revestimentos) por um mecanismo combinado de difusão/abrasão;
- As vārias inconstâncias na vida da ferramenta são devi

do ao fato que a superfície de folga da ferramenta é muito propensa ao lascamento do revestimento, princi - palmente pelo fato do difícil controle da homogeneida de das camadas durante o processo de deposição. Com relação ao comportamento das curvas de vida nada é relatado, desta forma, a fim de se analisar o comportamento da curva de vida das ferramentas de M. D. revestidas, foram realizados ensaios no Laboratório da Divisão de Engenharia de Fabricação da Faculdade de Engenharia de Campinas, com as seguintes características:

- a) Caracteristicas da Māquina: Torno CNC Romi, modelo Cosmos 30,
 com variação continua de velocidades (67 à 3000 rpm) e potên cia de 30 CV;
- b) Caracteristicas do Material
 b.1- Analise Quimica (NBR 6006 ABNT)

DESIGNAÇÃO ABNT	% ELEMENTOS QUÍMICOS									
1055	С	Mn	P	S	Si	Cr	Ni	Мо	Pb	V
	0,55	0,85	0,022	0,012	0,20	400-	***	to s	***	***

b.2- Ensaio de Tração

ESCOAMENTO 0,2%	LIMITE DE RE- SIST Ê NCIA À TRAÇÃO(N/mm²)	ALONGAMENTO EM 50 mm	ESTRICÇÃO %
570	780 ·	17	35

- b.3- Dureza Brinell: 2200 N/mm2
- b.4- Dimensões: corpo de prova centrado e faceado com 300 mm

de comprimento e diâmetro 35 mm (trefilado para este diâmetro).

- c) Caracteristicas da ferramenta
 - c.1- Porta-Pastilhas: SDJCL 2020 K11 ($\alpha = 7^{\circ}$; $\lambda = 0^{\circ}$; $\gamma = 0^{\circ}$; $\chi = 93^{\circ}$) Fabricante Sandvik (figura 1.19).
 - c.2- Pastilha: DCMM 11 T 30852 (α = 7^{0} ; λ = 0^{0} ; γ_{C} = 18^{0}) . Fabricante Sandvik (figura 1.19), classe GC 415, revestimento triplo (TiC/Al₂O₃/ TiN) em substrato Pl5 (figura 1.20).

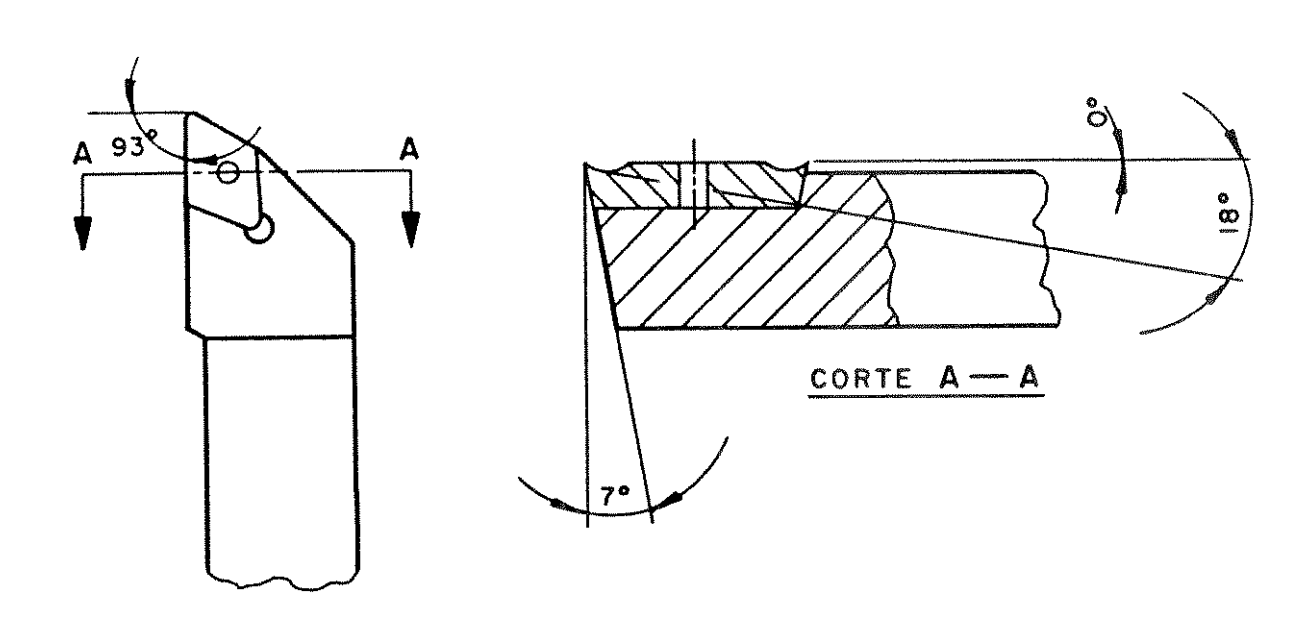


FIGURA 1.19- Geometria da ferramenta utilizada nos ensaios

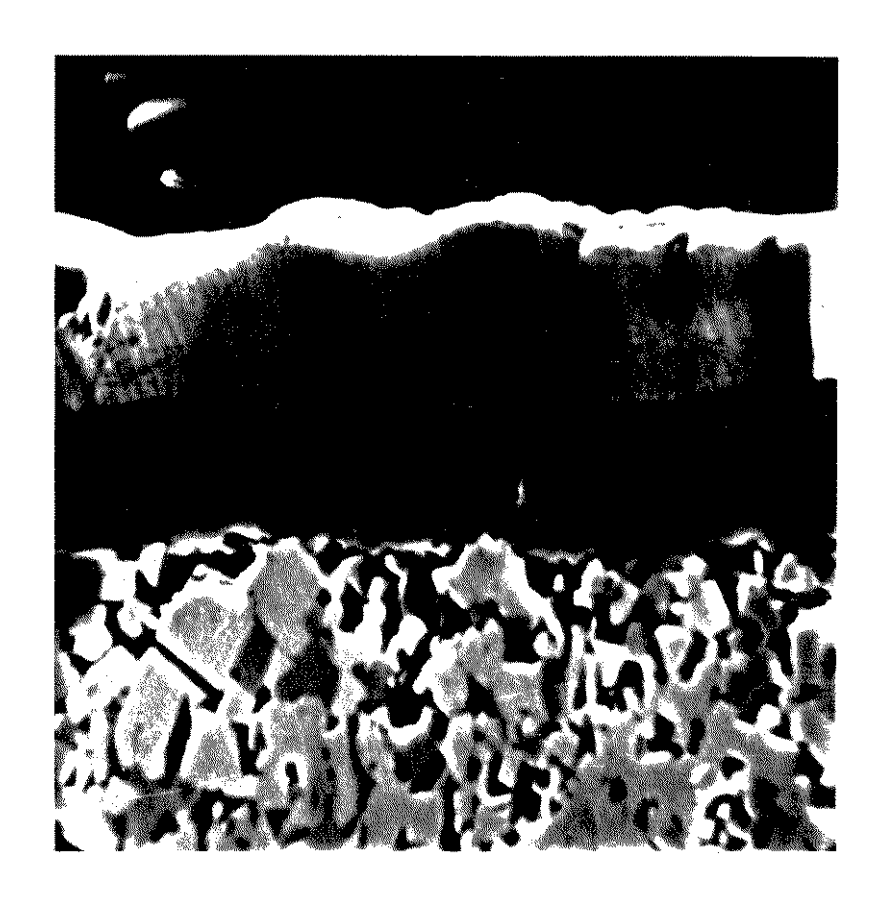


FIGURA 1.20 - Revestimentos utilizados nas pastilhas ensaiadas . Foto efetuada em microscópio de sonda eletrônica (UNICAMP). Ataque químico: 70% HNO $_3$; 30% HF. Aumento 5000 X

d) Condições de usinagem:

velocidades de corte $v_c = 170$; 190; 210; 240 m/min , avanços f : 0,25; 0,35 e 0,40 mm/v ,

profundidade de corte a_p : 1,9 mm,

fluido de corte : óleo soluvel Renolub em solução 1:40 .

Observação: o material e as dimensões da peça, bem como as condições de usinagem, foram escolhidas tendo em vista com parações com testes realizados no meio industrial com o referido material e idênticas condições de usinagem (ver item 2.1).

Os ensaios foram realizados em três passes para ca

CAPITULO I

da corpo de prova, sendo que os desgastes das ferramentas foram controlados através de um microscópio digital (Zeiss) e prossegui ram até o aparecimento de lascamentos nos revestimentos. Tentativas de se continuar os ensaios após este fato, conduziram a quebra total das pastilhas. As figuras 1.21, 1.22 e 1.23 apresentam as curvas de desgaste obtidas para cada condição de ensaio e as figuras 1.24 e 1.25 mostram os lascamentos ocorridos. Estes tipos de lascamentos ocorreram para todas as condições ensaiadas.

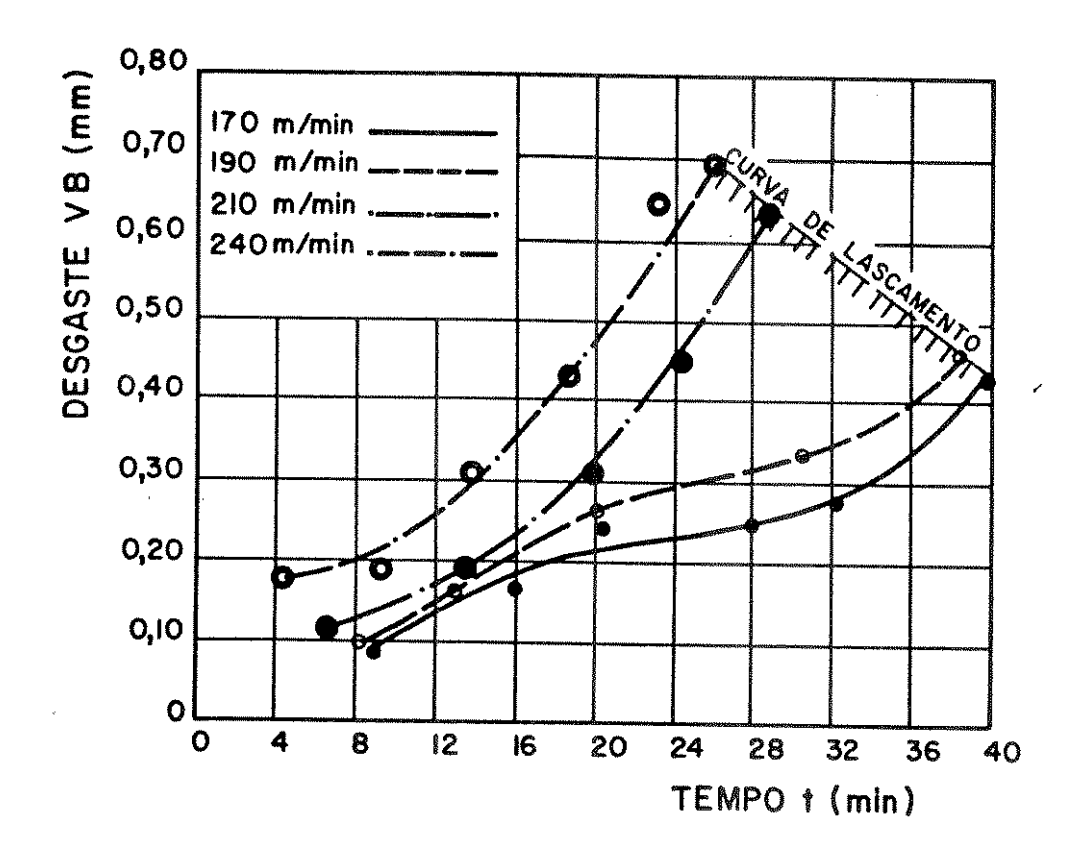


FIGURA 1.21 - Curvas de desgaste para f = 0,25 mm/v

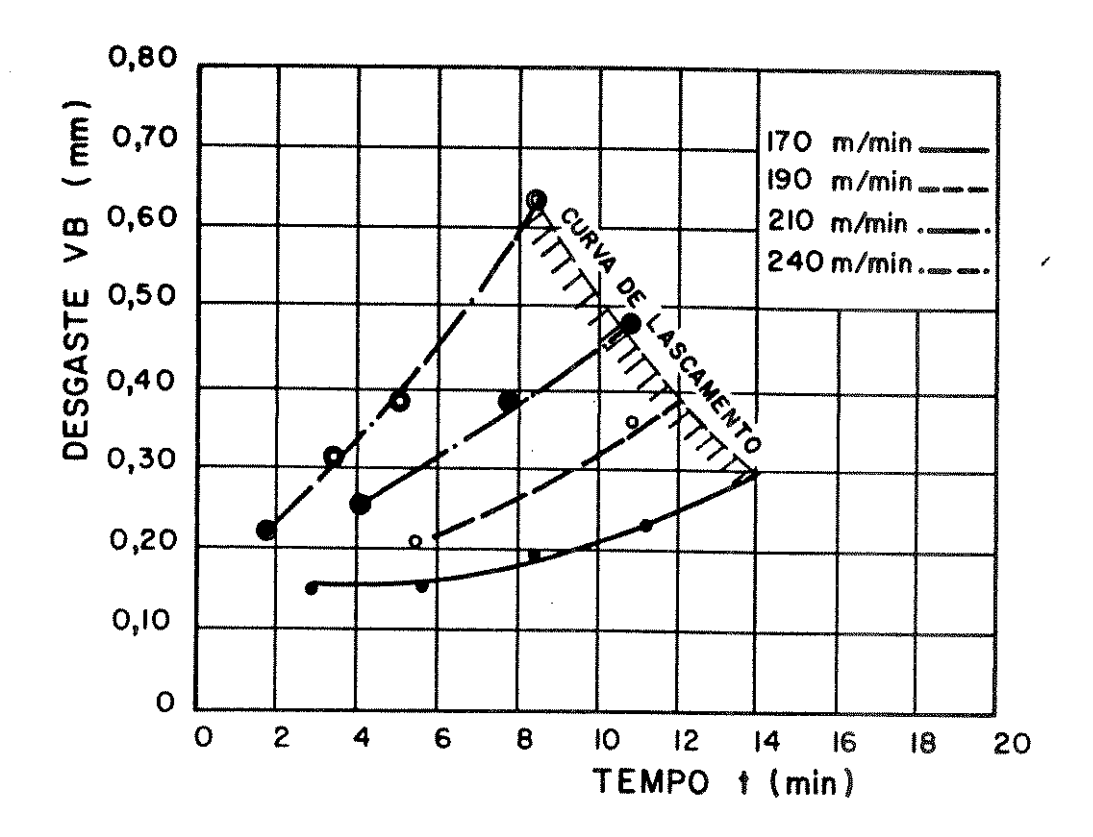


FIGURA 1.22 - Curvas de desgaste para f = 0,35 mm/v

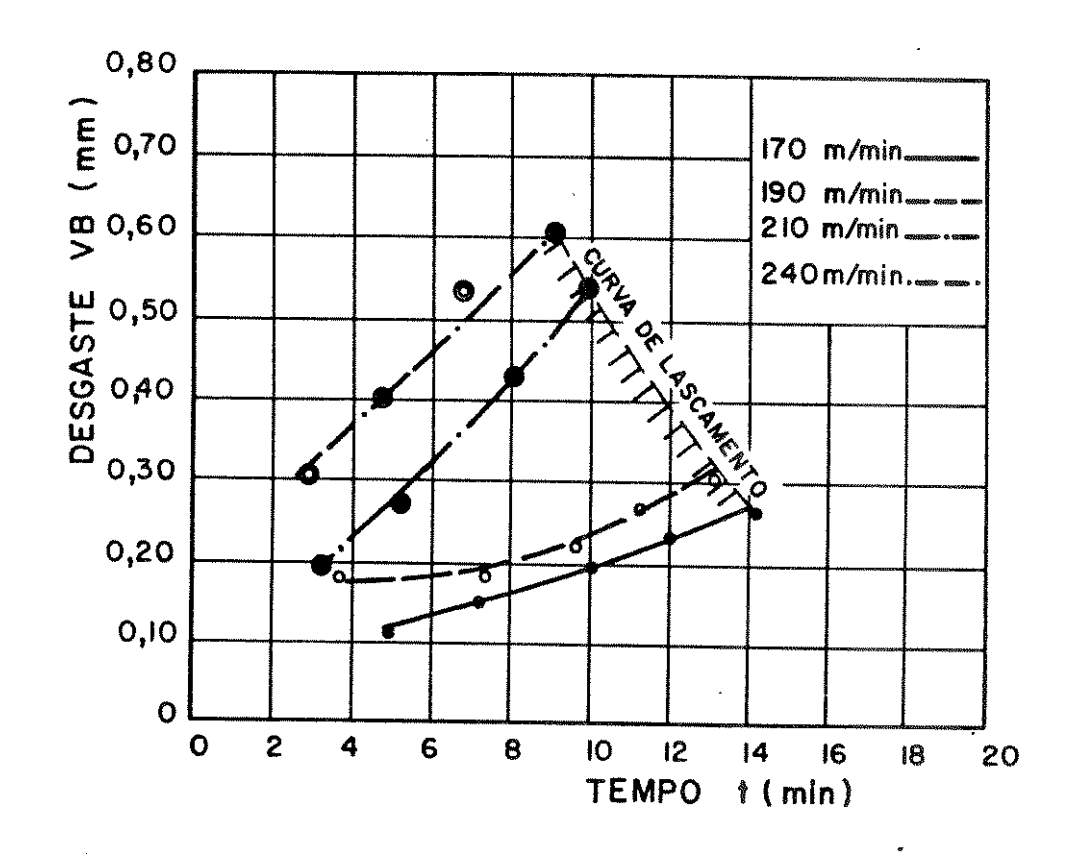


FIGURA 1.23 - Curvas de desgaste para f = 0.40 mm/v

CAPITULO I



FIGURA 1.24- Lascamento do revestimento na ponta de corte $(v_c = 210 \text{ m/min}; a_p = 1,9 \text{ mm}; f = 0,25 \text{ mm/v})$

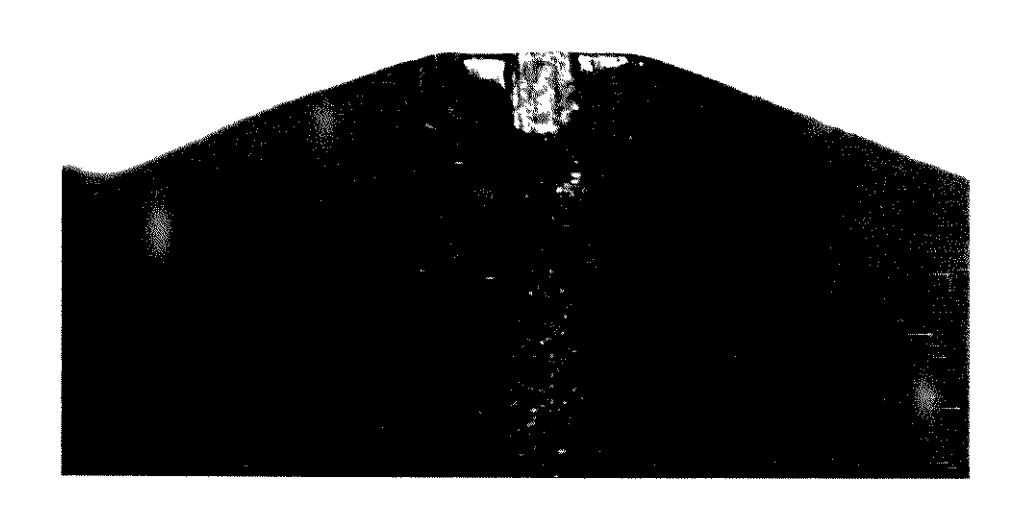


FIGURA 1.25 - Lascamento do revestimento na ponta de corte $(v_c = 210 \text{ m/min}; a_p = 1,9 \text{ mm}; f = 0,35 \text{ mm/v})$

Nas figuras 1.21, 1.22 e 1.23 nota-se que a medida que se aumenta a velocidade de corte, para um mesmo avanço, conse gue-se atingir valores maiores do desgaste VB até ocorrer o lasca mento. A figura 1.26 ilustra com maior clareza este aspecto. Jã com relação ao avanço, observa-se que quanto maior o seu valor , mantendo-se a velocidade de corte constante, menor é o valor do desgaste VB até ser atingido o lascamento (figura 1.27).

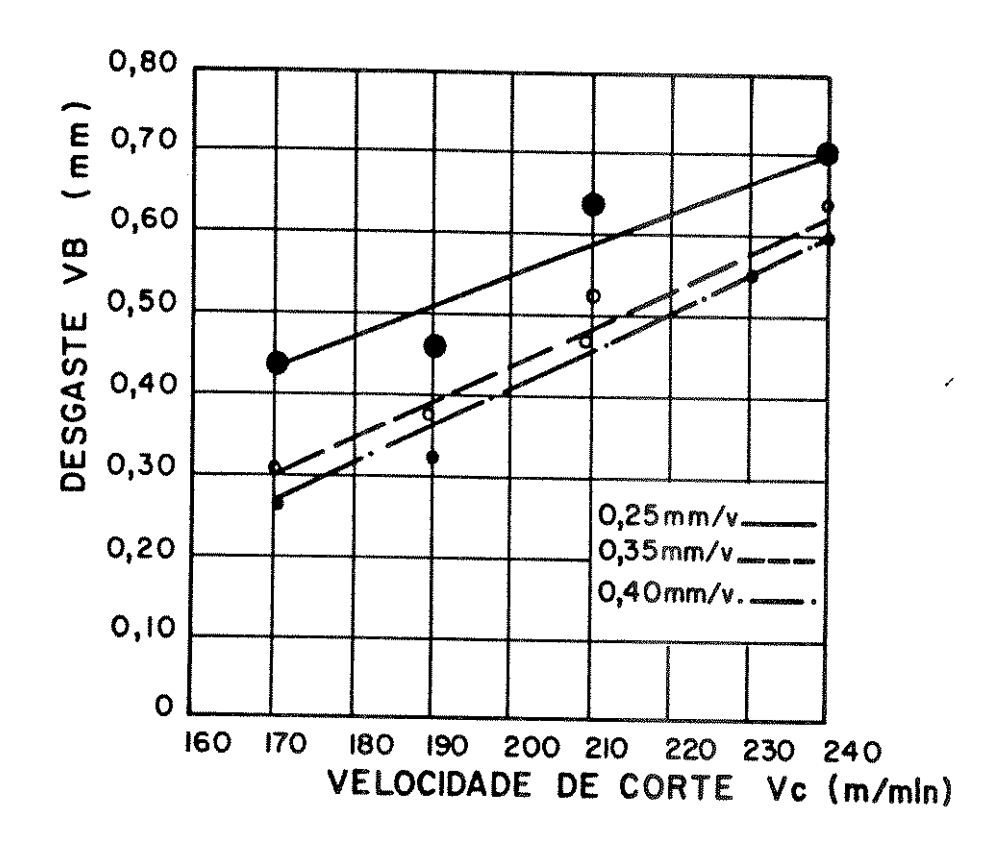


FIGURA 1.26 - Variação dos valores limites de VB, nos quais ocorre ram lascamentos dos revestimentos, em função da velo cidade de corte

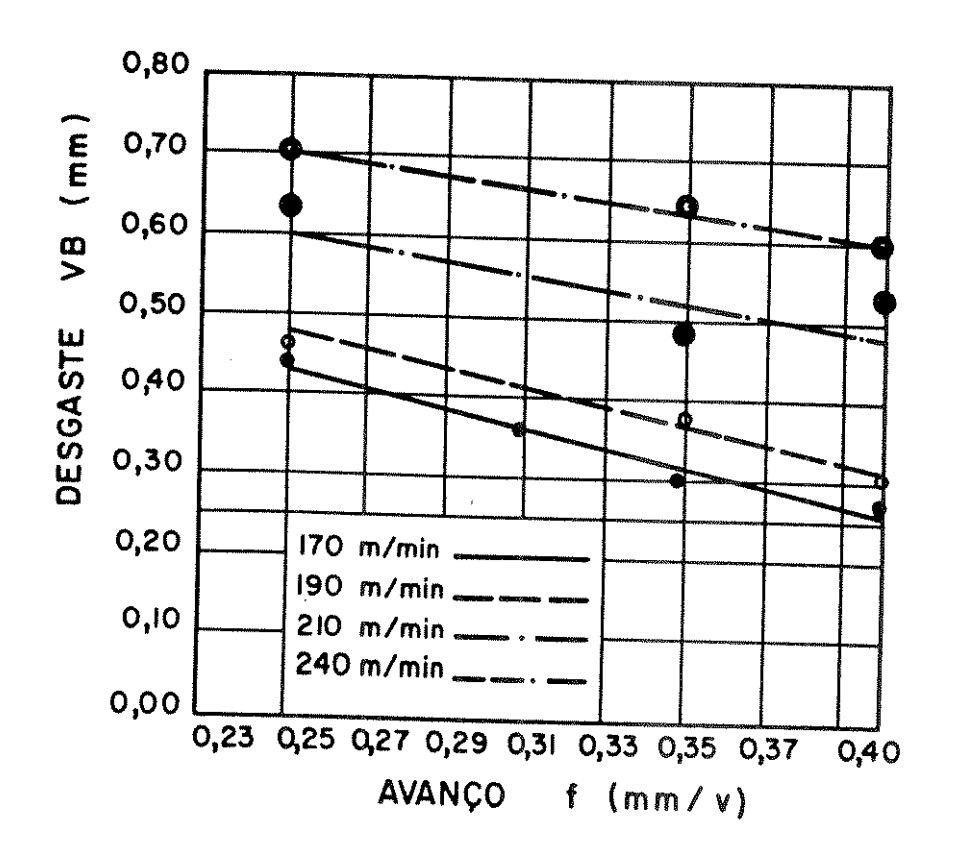


FIGURA 1.27- Variação dos valores limites de VB, nos quais ocorre ram lascamentos dos revestimentos, em função do avan co

Da figura 1.26 obtem-se as seguintes expressões:

$$VB = 0,0037 v_c - 0,191 (f = 0,25 mm/v)$$
 (1.30)

$$VB = 0,0045 v_c - 0,465 (f = 0,35 mm/v)$$
 (1.31)

$$VB = 0,0045 v_{c} - 0,495 (f = 0,40 mm/v)$$
 (1.32)

Da figura 1.27, tem-se:

$$VB = -0,666$$
 . f + 0,866 ($v_c = 240 \text{ m/min}$) (1.33)

$$VB = -0.800 \cdot f + 0.800 (v_c = 210 \text{ m/min})$$
 (1.34)

$$VB = -1,000 . f + 0,750 (v_c = 190 m/min)$$
 (1.35)

$$VB = -1,160 \cdot f + 0,716 (v_c = 170 \text{ m/min})$$
 (1.36)

Nota-se das figuras 1.26 e 1.27 que a variação dos

valores de VB, onde ocorreram os lascamentos é aproximadamente li near, tanto em função da velocidade de corte, como também em função do avanço. Outrossim observa-se que as retas ilustradas na figura 1.26 são aproximadamente paralelas entre si, o mesmo ocorrendo com as retas mostradas na figura 1.27.

Os resultados apresentados na figura 1.27 apresentam uma certa lógica, ou seja, à medida que se aumenta o avanço, aumenta-se a área da secção de corte e consequentemente os esforços sobre a pastilha, fazendo com que os lascamentos ocorram para desgastes VB menores à medida que se aumenta o avanço. Porém os resultados apresentados na figura 1.26 foram de certa forma surpreendentes, pois imaginava-se que os lascamentos ocorressem para os mesmos valores de VB independentes da velocidade de corte, ou que as retas tivessem inclinação contrária, ou seja, quanto maior a velocidade de corte, menor seria o valor de VB onde ocorreria o lascamento. Para se analisar melhor o comportamento dessas curvas, foram realizados alguns ensaios de vibração no sistema máquina — ferramenta/peça apresentados no item seguinte.

Para se obter uma relação exponencial entre o desgaste VB e o tempo de usinagem, foram colocados os valores destas grandezas em um gráfico dilogarítimo, obtendo-se os seguintes re sultados (figuras 1.28, 1.29 e 1.30).

a) avanco f = 0.25 mm/v

$$VB = 0,0130 \cdot t^{0,91} (v_c = 170 \text{ m/min})$$
 (1.37)

$$VB = 0,0140 \cdot t^{0.94} \quad (v_c = 190 \text{ m/min})$$
 (1.38)

$$VB = 0,0036 \cdot t^{1,52} (v_c = 210 \text{ m/min})$$
 (1.39)

$$VB = 0,0080 \cdot t^{1,37} (v_C = 240 \text{ m/min})$$
 (1.40)

b) avanco f = 0.35 mm/v

$$VB = 0,0480 \cdot t^{0,66} (v_C = 170 \text{ m/min})$$
 (1.41)

$$VB = 0,0610 \cdot t^{0.72} (v_c = 190 \text{ m/min})$$
 (1.42)

$$VB = 0,1100 \cdot t^{0,60} (v_c = 210 \text{ m/min})$$
 (1.43)

$$VB = 0,1540 \cdot t^{0,58} \quad (v_c = 240 \text{ m/min}) \quad (1.44)$$

c) avanço f = 0,40 mm/v

$$VB = 0,0240 \cdot t^{0.92} (v_c = 170 \text{ m/min})$$
 (1.45)

$$VB = 0,0310 \cdot t^{0.88} (v_c = 190 \text{ m/min})$$
 (1.46)

$$VB = 0,0720 \cdot t^{0,87} (v_c = 210 \text{ m/min})$$
 (1.47)

$$VB = 0,1900 . t^{0,53} (v_c = 240 m/min)$$
 (1.48)

Dos gráficos ilustrados nas figuras 1.28, 1.29 e 1.30 e das expressões (1.37) à (1.48), observa-se que:

- os valores dos expoentes variaram tanto com os avan cos como com as velocidades de corte;
- os valores das constantes não apresentaram uma variação linear com a variação da velocidade de corte;

Devido a isto, as extrapolações indicadas pelas equações (1.13) e (1.14) tornam-se perigosas quando da utilização de pastilhas de metal duro revestidas (vide item 1.1.4.1).

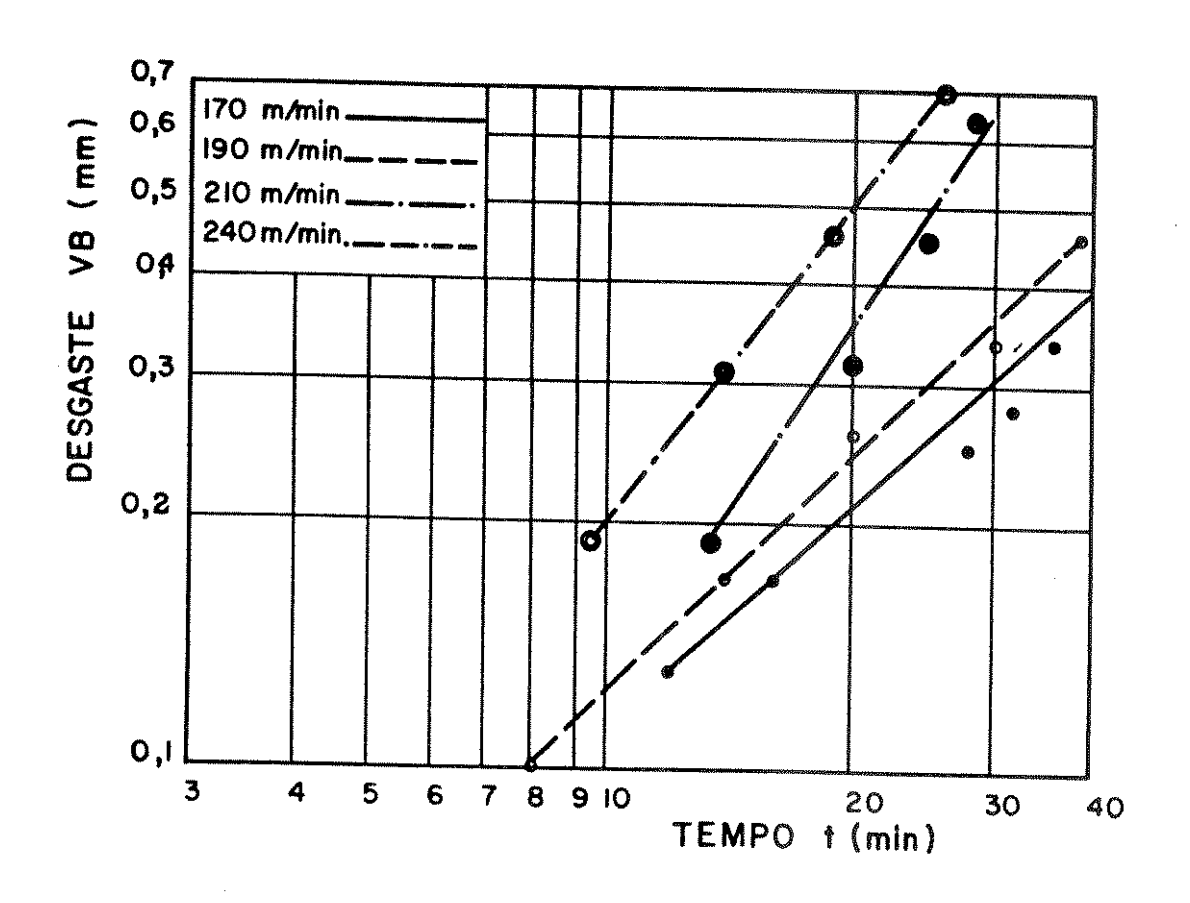


FIGURA 1.28- Largura do desgaste VB em função do tempo de usina - gem, para f=0,25 mm/v

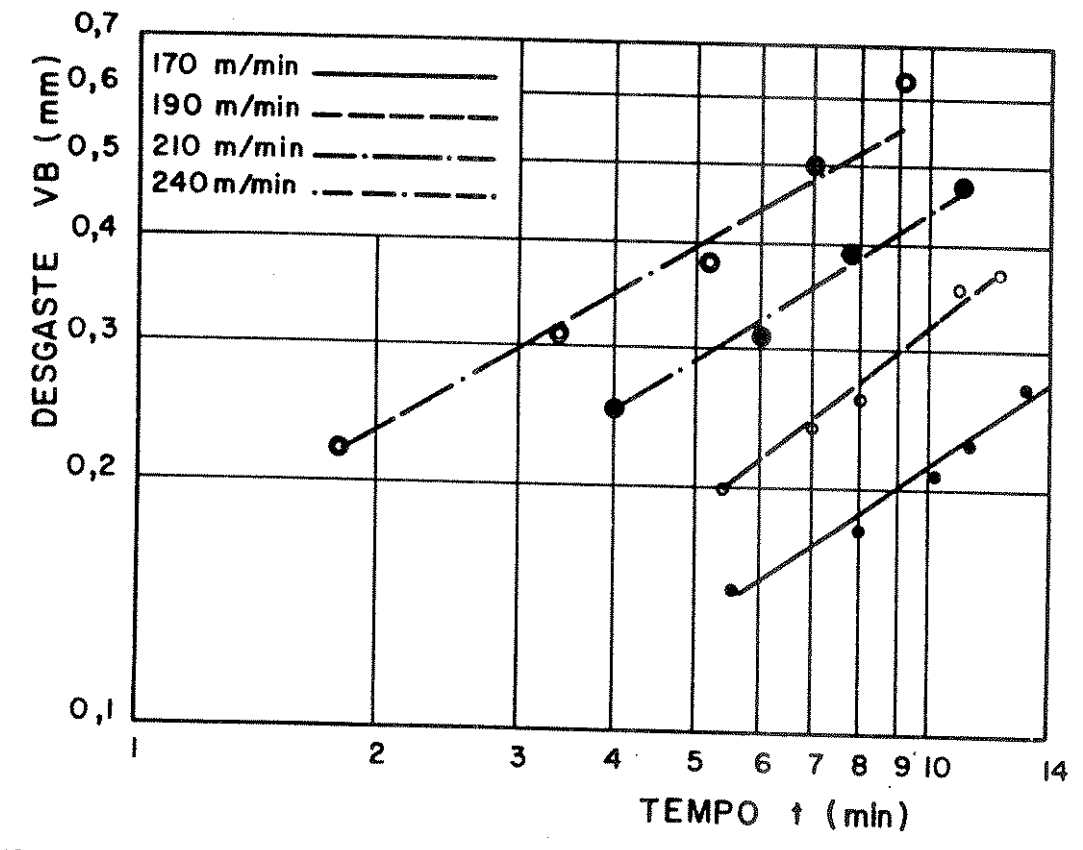


FIGURA 1.29 - Largura do desgaste VB em função do tempo de usina - gem, para f = 0.35 mm/v

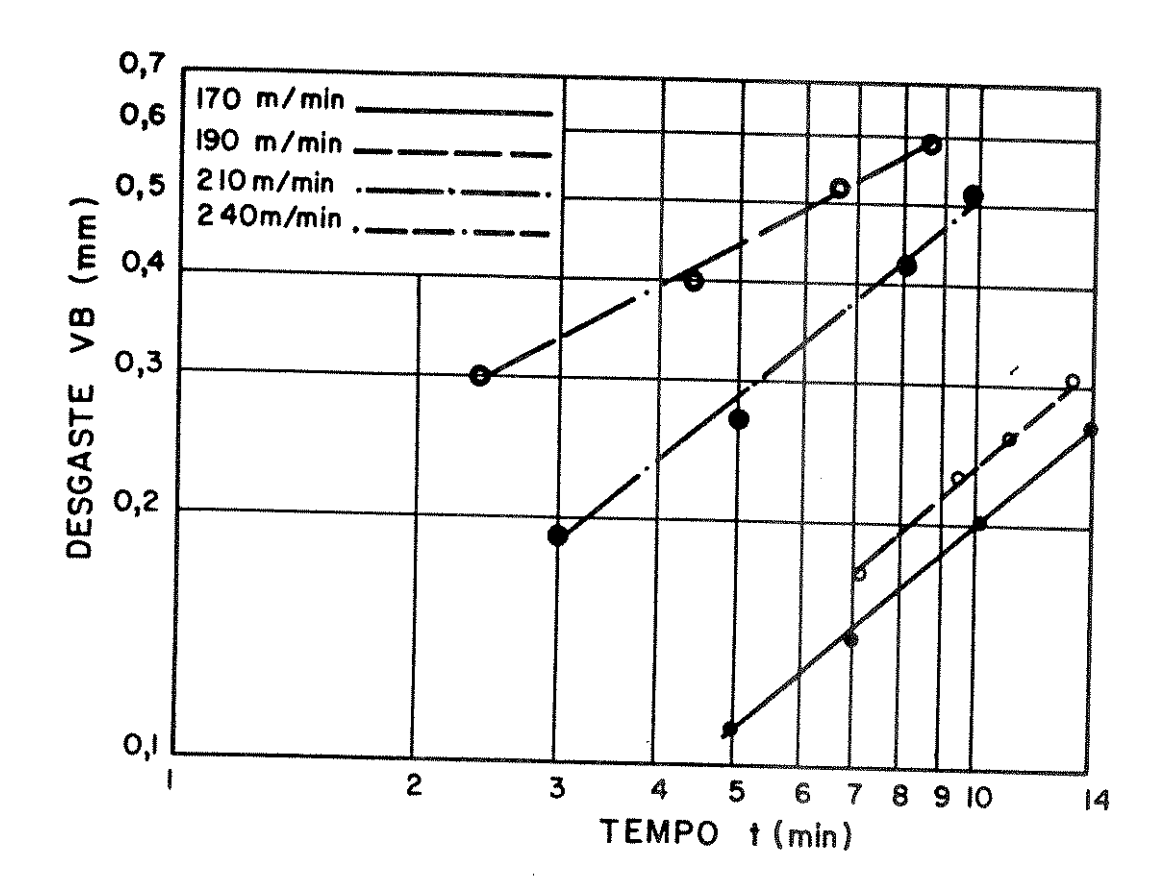


FIGURA 1.30 - Largura do desgaste VB em função do tempo de usina - gem, para f = 0,40 mm/v.

1.2.1.1- LASCAMENTOS DOS REVESTIMENTOS E FATORES DINÂMICOS RELACIONADOS

Pode-se afirmar que o sistema de corte se divide em dois componentes: a maquina-ferramenta e o processo de usinagem em si. As perturbações dinâmicas no sistema total podem ser causados por uma série de fatores, entre os quais pode-se citar [10,35]:

- fatores de natureza aleatória (heterogeneidade do material);
- . instabilidade dinâmica do processo de usinagem ;
- . formação de cavaco descontínuo;
- . corte intermitente;
- . formação periódica do cavaco.

As frequências de formação do cavaco são

bem mais elevadas que as frequências de vibração do sistema.O processo de corte em si tem uma característica própria e a variação da frequência de formação do cavaco não é totalmente dependente da variação da frequência de vibração do sistema [35].

O fenômeno de formação do cavaco, na maioria dos casos, é periódico, onde tem-se alternadamente uma fase de recalque e uma fase de escorregamento do cavaco para cada porção de material removido. A frequência de formação do cavaco pode ser determinada pela expressão [10]

$$f_c = n \cdot v_s \tag{1.49}$$

onde

n $\bar{\rm e}$ o numero de escamas do cavaco por unidade de comprimento; ${\bf v}_{\rm S}$ $\bar{\rm e}$ a velocidade de sa $\bar{\rm i}$ da do cavaco dada por

$$v_s = \frac{v_c}{R_c} \tag{1.50}$$

onde

v_c ē velocidade de corte;

R_c ē o grau de recalque do cavaco;

logo

$$f_{c} = \frac{\mathbf{v}_{c} \cdot \mathbf{n}}{\mathbf{R}_{c}} \tag{1.51}$$

A frequência de formação do cavaco aumenta com a velocidade de corte, pois o número de escamas <u>n</u> por unidade de comprimento aumenta, e o grau de recalque diminui com o aumento da velocidade de corte [10]. A fim de se comprovar esta varia ção da frequência de formação do cavaco e do grau de recalque R_c em função da velocidade de corte, os cavacos obtidos nos ensaios citados no item 1.2.1, apos os primeiros passes (quando a pastilha ainda não demonstrava sinais de desgaste), foram medidos tanto no que tange à espessura quanto ao número de escamas, em um

projetor de perfis Nikon (Fig. 1.31).

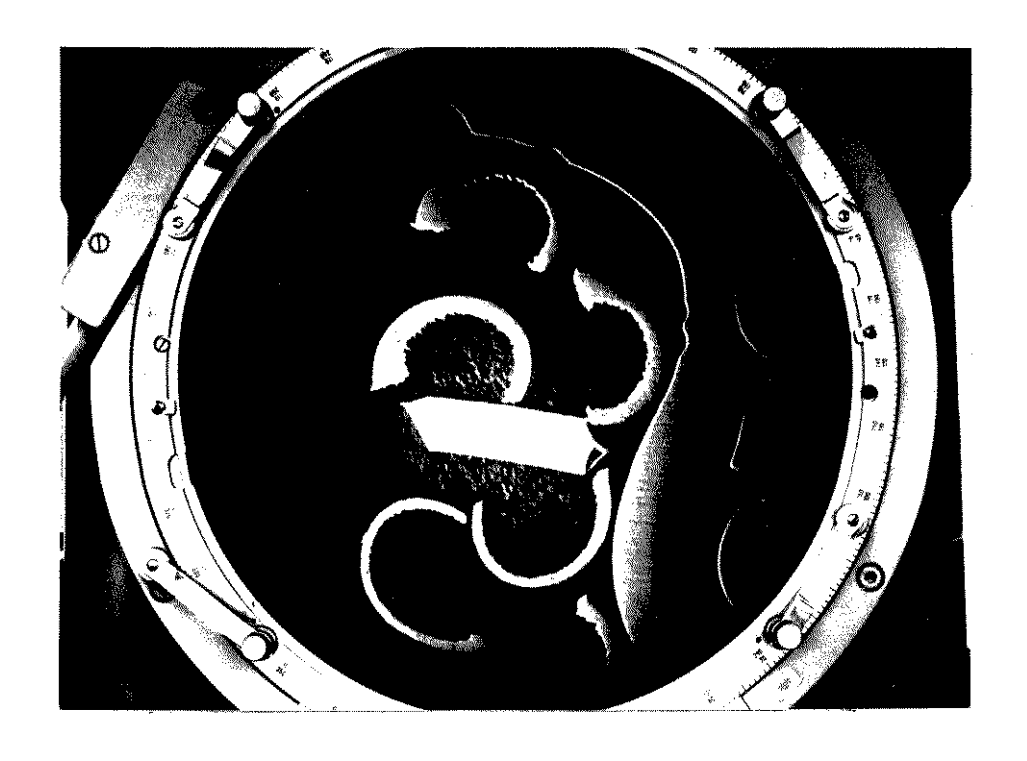


FIGURA 1.31- Medição do número de escamas e da espessura dos cava cos. Projetor de perfis Nikon (Centro de Tecnologia/ UNICAMP) . Aumento 20 x.

A afirmação acima não pôde ser totalmente constatada, uma vez que, embora tenham sido feitas cerca de 20~me dições para cada caso, o fato da pastilha possuir quebra-cavacos fez com que os cavacos se formassem em pedaços muito pequenos (fig. 1.31.), dificultando as medições. O quadro 1.1 mostra os resultados obtidos por essas medições.

v _c	f	v _s	R _c	ก	Freq.calc.	Ång.cisalh.	
(m/min)	(mm/v)	(cm/s)		(escamas/mm)	c.p.s.	Eq. (1.29)	
240	0,40	270	1,48	3,2	8.640	39 ⁰	
210	0,40	230	1,52	5,0	11.500	38 ⁰	
190	0,40	214	1,48	3,0	6.420	390	
170	0,40	185	1,53	3,6	6.660	38°	
240	0,35	320	1,25	4,2	13.440	45 ⁰	
210	0,35	235	1,49	5,0	11.750	390	
190	0,35	229	1,38	5,4	12.366	42 ⁰	
170	0,35	156	1,81	3,0	4.680	32 ⁰	
240	0,25	333	1,20	5,0	16.650	470	
210	0,25	243	1,44	6,4	15.552	40°	
190	0,25	173	1,83	5,0	8.650	320	
170	0,25	173	1,64	5,0	8.650	36 ⁰	

QUADRO 1.1- Frequências de formação do cavaco e ângulos de cisalhamento Ø obtidos através da medição dos cavacos.

Apesar dos fatores limitantes, nota-se que as frequências de formação do cavaco são elevadas e que os valores de Ø oscilaram entre 32º e 47º, ou seja, a escolha do revestimento triplo e a mais apropriada para o caso (vide item 1.2).

Com relação aos efeitos dinâmicos do processo de usinagem na vida da ferramenta, foram conduzidos estudos por Albrecht [35] para verificar o aparecimento de fissuras e las camentos em pastilhas de metal duro no processo de fresamento, on de sua conclusão foi de que as mesmas ocorriam por fadiga.

Martin P. e outros [36] analisaram os efeitos do desgaste na superfície de folga da ferramenta na dinâmica do processo de torneamento, porém nada é relacionado a lascamentos ou pastilhas recobertas.

Estudos dinâmicos do processo de usinagem podem ser encontrados em vários trabalhos de pesquisa [10, 35,36, 37, 38, 39, 40, 41, entre outros], porém, os relacionados com desgaste da ferramenta são poucos, sendo que para pastilhas recobertas nenhum estudo ainda foi feito neste sentido. O fato de que à medida que se aumenta a velocidade de corte a pastilha atinge

maiores valores de VB antes de ocorrer o lascamento (fig. 1.26) in duziu a alguns ensaios dinâmicos. Ressalte-se a constatação que para velocidades de corte maiores ($280 \ e \ 320 \ m/min$), os ensaios tiveram que parar devido ao elevado valor de VB, não se observando o fenômeno dos lascamentos (fig. 1.32).

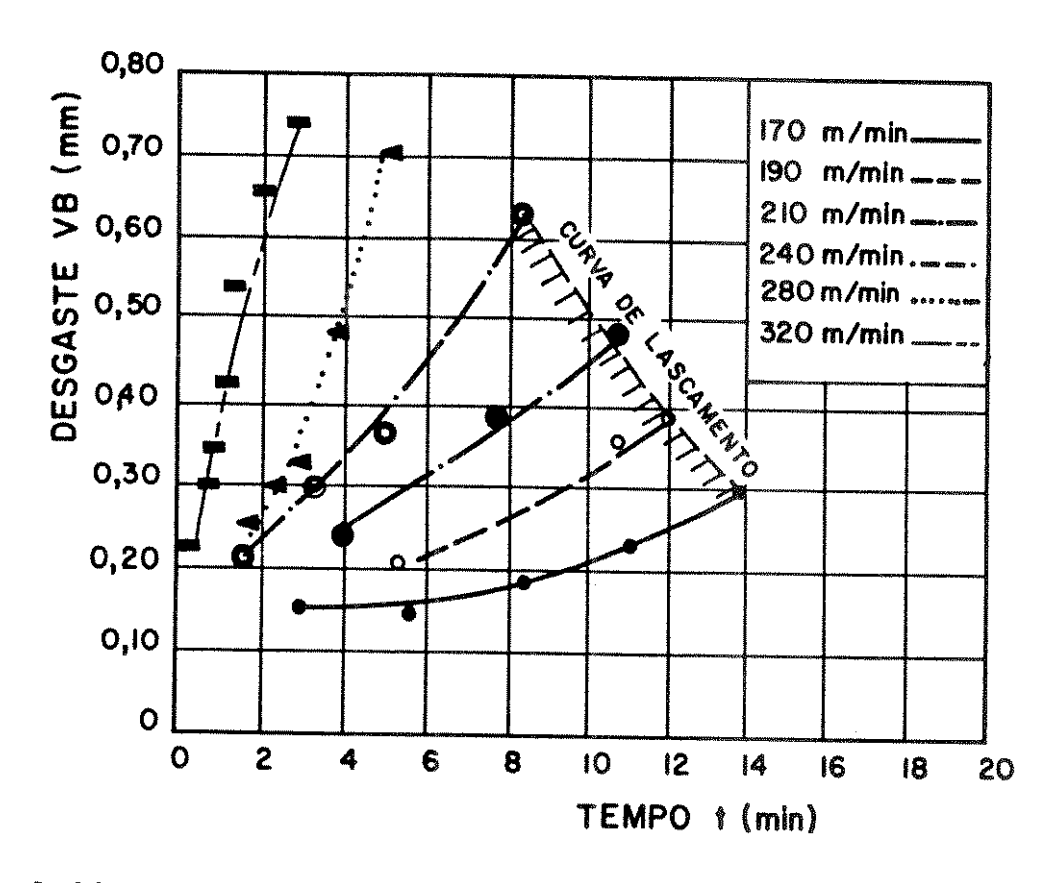
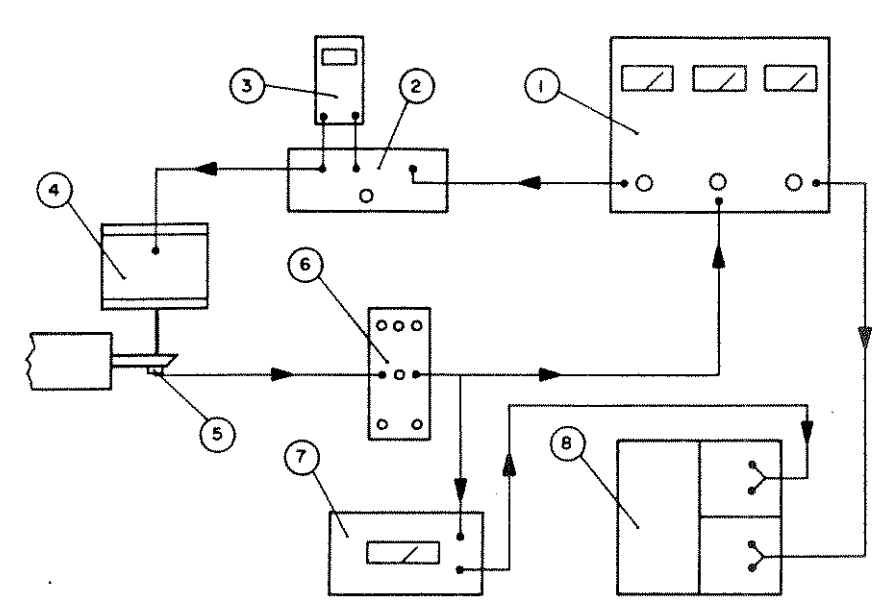


FIGURA 1.32 - Curvas de desgastes levantadas para f = 0,35 mm/v, onde para $v_c = 280 \text{ e } 320 \text{ m/min } n\tilde{a}o \text{ se observou o fenomeno de lascamento.}$

Uma vez que a amplitude de deslocamento vertical (na direção da força de corte) tem maior efeito do que a amplitude na direção horizontal [37], foram analisadas a amplitude e a frequência nesta direção. Os ensaios foram conduzidos levando em consideração os seguintes fatores:

- a) Caracteristicas da māquina, material, ferramenta e condições de usinagem: (as mesmas citadas no item 1.2.1).
- b) Espectro de frequências: obtida através da montagem ilustrada nas figuras 1.33 e 1.34.

UNICAMP BIOLOTECA CENTRAL



OI BK 1026 BRÜEL

02 AMPLIFICADOR PHILIPS

03 CONTROLE DA CORR. AMPERIMETRO

04 VIBRADOR PHILIPS

05 ACELEROMETRO BRÜEL

06 PRE-AMPLIFICADOR BRÜEL

07 AMPLIFICADOR DE ACELERAÇAO

08 REGISTRADOR X-Y PHILIPS

FIGURA 1.33- Esquema de montagem dos aparelhos para medição de es pectro de frequências.

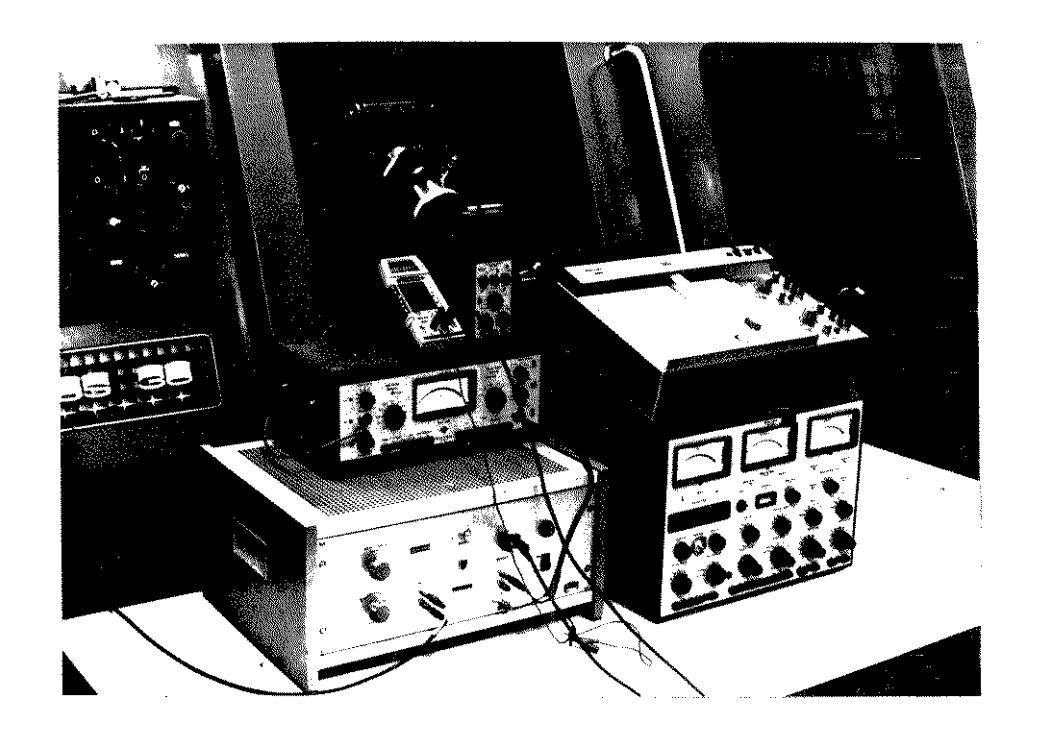


FIGURA 1.34- Aparelhos utilizados na montagem.

A figura 1.35 mostra o espectro de frequên cias obtido, registrado em registrador x - y.

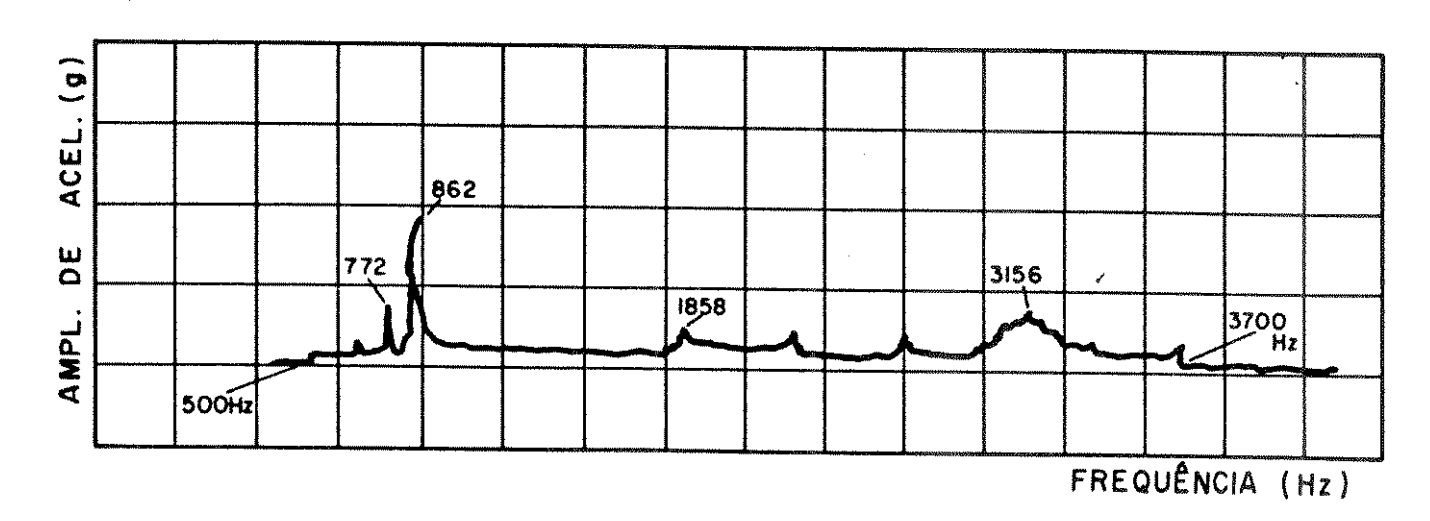
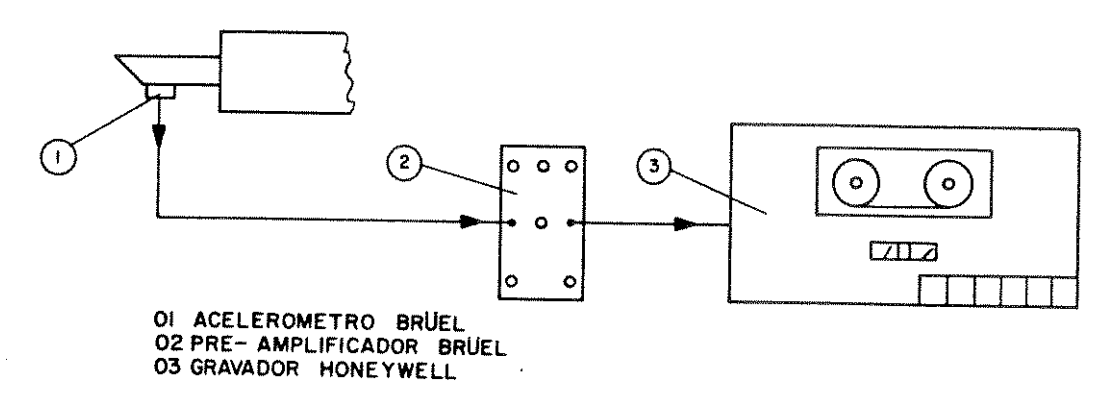


FIGURA 1.35- Curva de ressonância

Para a medição das frequências e acelerações com a ferramenta em trabalho, foi utilizada a montagem ilustrada na figura 1.36. A figura 1.37 mostra um trecho do gráfico da aceleração (g) x tempo (s).

Os resultados obtidos foram em função da am plitude de aceleração (g) e não da amplitude de deslocamento (δ). Desta forma, através da dupla integração obtida a partir do grāfi co da aceleração (g) x tempo (s), obtiveram-se os valores das amplitudes de deslocamentos máximos (fig. 1.38). Posteriormente, ana lisando-se os sinais obtidos através das funções de Fourrier, determinaram-se as frequências predominantes nos ensaios (fig. 1.39).



<u>FIGURA 1.36</u>- Esquema de montagem dos aparelhos para medição de v<u>i</u> brações do sistema quando em usinagem.

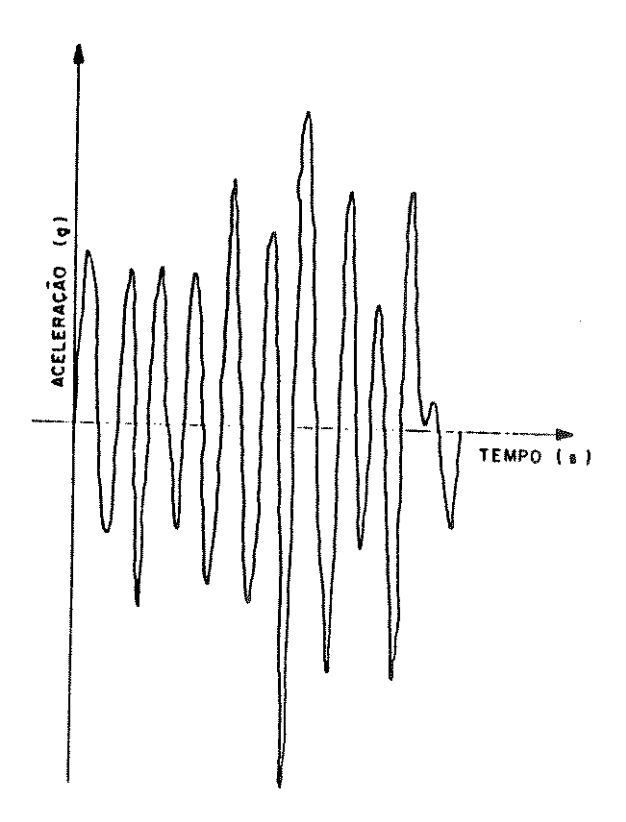
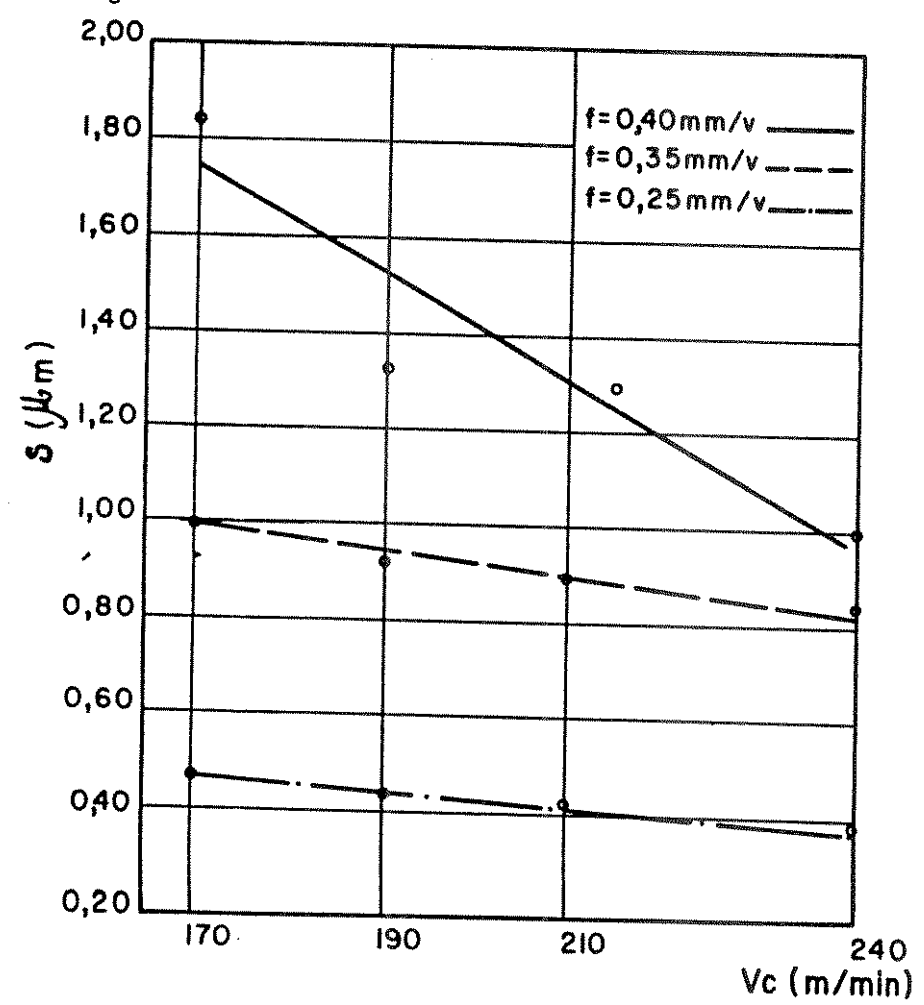


FIGURA 1.37 - Grafico acel. x tempo obtido (trecho para f = 0,40 mm/v; $v_c = 240 \text{ m/min}$).



 $\frac{\text{FIGURA 1.38-}}{\text{corte.}} \text{ Amplitudes de deslocamentos m\tilde{a}ximas x velocidade de corte.}$

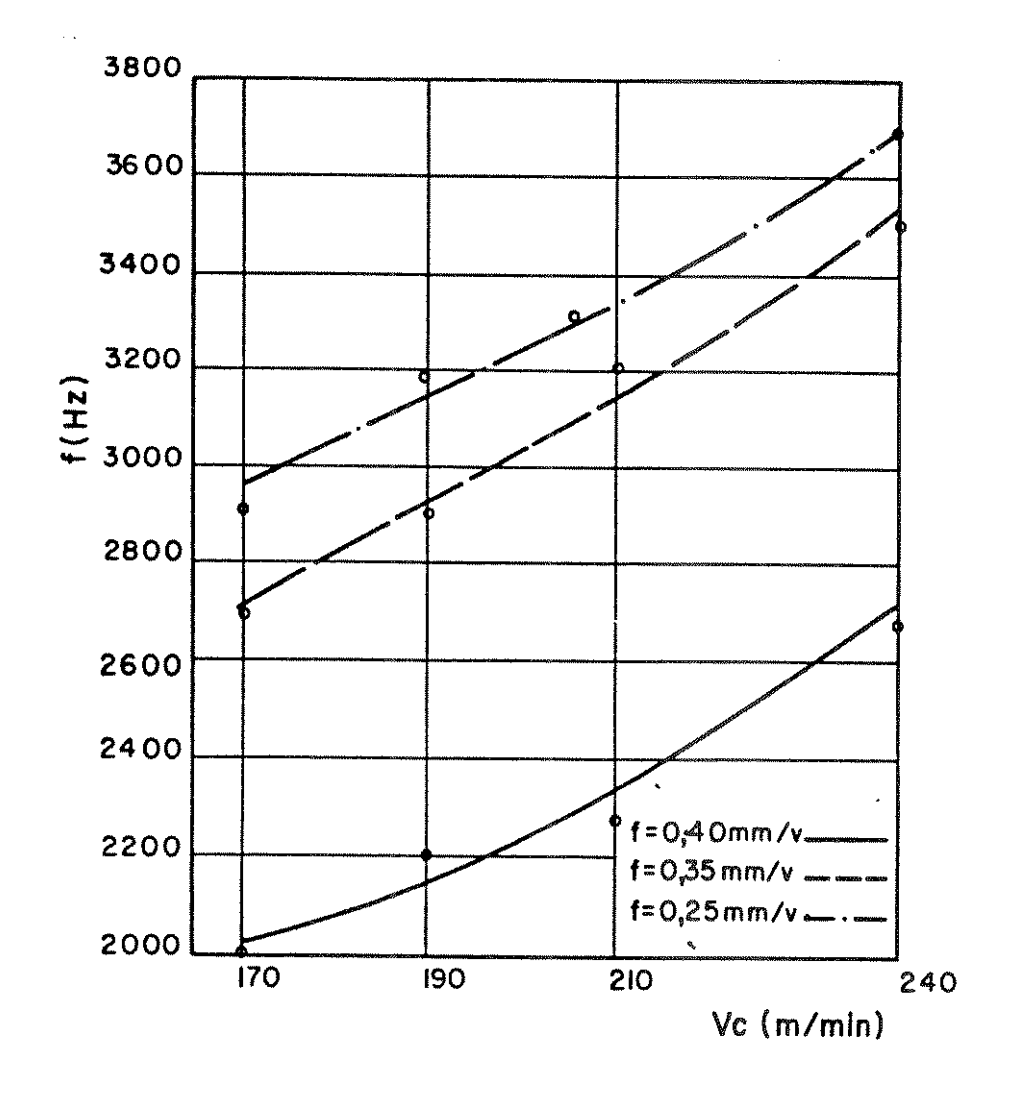


FIGURA 1.39 - Frequências onde se deram as amplitudes m \tilde{a} ximas x v \underline{e} locidade de corte.

Percebe-se da figura 1.38 que as amplitudes de deslocamento na direção vertical diminuem com o aumento da velocidade de corte, porêm as frequências de vibração do sistema aumentam na medida em que se aumenta a velocidade de corte (fig. 1.39).

Com relação as amplitudes de vibração e frequências do sistema, observa-se que as mesmas possuem o mesmo comportamento das amplitudes de vibração e das frequências de for mação de cavaco. De acordo com Ferraresi e Albrecht [10, 35], a frequência de formação do cavaco é diretamente proporcional à velocidade de corte e inversamente proporcional à espessura calcula da de cavaco (espessura de corte).

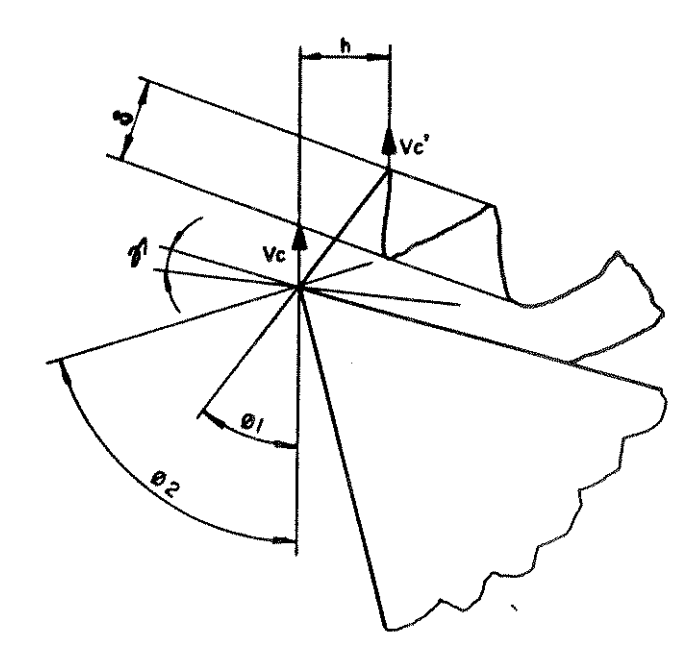


FIGURA 1.40- Modelo para analise da formação ciclica do cavaco.

Segundo Albrecht [35], tem-se para a frequência de formação do cavaco (Fig. 1.40):

$$f_{c} = \frac{v_{c} - v_{c}'}{h} = \frac{1}{\cot \theta_{1} - \cot \theta_{2}}$$
 (1.52)

onde

f_c = frequência de formação do cavaco

v_c = velocidade de corte (esta velocidade corresponde à velocidade de deslocamento do material na ponta da ferramenta, na di reção vertical);

 v_{c}^{\prime} = velocidade relativa ao deslocamento do material no fim da região de cisalhamento, na direção de corte;

 \emptyset_1 = \widehat{a} ngulo de cisalhamento inicial;

 \emptyset_2 = \widehat{a} ngulo de cisalhamento final;

h = espessura de corte.

Uma tentativa de se explicar a variação da amplitude da espessura do cavaco em função da velocidade de corte e do avanço é dada pela expressão analítica de Albrecht (fig.1.40) [35]:

$$\delta = h \cdot \cos \gamma \left(\cot g \, \emptyset_1 - \cot g \, \emptyset_2\right) \tag{1.53}$$

Aumentando-se a velocidade de corte diminui o grau de recalque e consequentemente aumenta o ângulo de cisalhamento \emptyset [10]. Admitindo-se constante a variação de \emptyset (fig. 1.40), tem-se de acordo com a formula acima uma diminuição de δ . Aumentando-se o avanço, tem-se consequentemente um aumento da espessura de corte e de δ .

Outrossim, Bhattacharyya [42] jā em 1970, que a escolha de um valor para o desgaste da superfície de folga para todas as velocidades de corte não é válida, uma vez que o criterio limite varia para cada velocidade, o que está acordo com o observado nos ensaios conduzidos neste trabalho. Esse pesquisador estudou o caso de pastilhas de metal duro sem vestimento, e associou a mudança de critério à temperatura conduzida na região de corte, provocando a ocorrência da fadiga térmica. Porém, segundo esse pesquisador, o valor de VB limite diminui à medida que se aumenta a velocidade de corte e consequentemente se aumenta a temperatura de corte. Jã nos ensaios conduzidos para as pastilhas de metal duro revestidas ocorreu o contrario, ou seja, a medida que aumentou a velocidade de corte o valor de VB limite aumentou. Acredita-se que como as pastilhas revestidas mais resistentes ao desgaste devido à temperatura de corte, o apa recimento dos lascamentos para valores menores de VB em velocidades de corte menores pode ser ocasionado pelo fato de que as pastilhas suportam bem a temperatura de corte, mas lascam devido fadiga provocada por variações maiores da amplitude de deslocamen to da ponta da ferramenta (fig. 1.38), uma vez que os revestimentos jā possuem pequenas fissuras (vide item 1.2.1). Jā para velocidades de corte mais elevadas, o efeito da elevação da temperatu ra de corte se sobrepõe aos efeitos da fadiga, uma vez que hã desgaste acelerado da superfície de folga da ferramenta, antes do aparecimento dos lascamentos.

De qualquer forma, para a verificação exata da hipótese acima há necessidade de um aprofundamento maior nesta pesquisa e uma maior série de ensaios. Como não é objetivo deste trabalho o aprofundamento da pesquisa neste campo, tem-se neste assunto, a perspectiva de estudos mais detalhados sobre tema.

1.2.2- CURVAS DE VIDA OBTIDAS EM LABORATORIO

A partir das curvas de desgaste obtidas (figs.1.21, 1.22 e 1.23) foram traçadas as curvas de vida correspondentes, no tando-se que a Equação Simplificada de Taylor ajusta-se perfeitamente aos dados obtidos, ou seja, existe uma linearidade dos grāficos log T x log v_c . Nas figuras 1.41, 1.42 e 1.43 estão traçadas as curvas de vida para dois critérios, ou seja:

- 1. VB = 0,3 mm, como recomendado pela norma ISO [11] ; pa ra este valor se encontram comumente os valores tabela dos da vida para pastilhas sem revestimentos [43] ;
- 2. para valores diferentes de VB, isto \tilde{e} , para os tempos onde ocorreram os lascamentos dos revestimentos.

Para o avanço $f=0.35 \, \text{mm/v}$, onde foram efetuados ensaios com um número maior de velocidades, traçou-se a curva de vida também para VB = 0.6 mm (fig. 1.42).

Da figura 1.41, tem-se

$$V_{c}$$
 . $T^{0,800} = 3257$ (Lascamento) (1.54) (vālida entre 170 e 240 m/min)

$$V_{c}$$
. $T^{0,384} = 646 \text{ (VB = 0,3 mm)}$ (1.55)
(vālida entre 170 e 240 m/min)

Da figura 1.42, obtém-se

$$v_c \cdot T^{0,768} = 1298 \text{ (Lascamento)}$$
 (1.56)
(vālida entre 170 e 240 m/min)

$$v_{C}$$
. $T^{0,236} = 316$ (VB = 0,3 mm) (1.57)
(vālida entre 170 e 240 m/min)

$$v_c$$
 . $T^{0,195} = 367 \text{ (VB = 0,6 mm)}$ (1.58)
(vālida entre 240 e 320 m/min)

Da figura 1.43, tem-se

$$v_c$$
 · $T^{0,708}$ = 1100 (Lascamento) (1.59)
(valida entre 170 e 240 m/min)

$$v_c$$
 . $T^{0,15}$ = 272 (VB = 0,3 mm) (1.60)
(valida entre 190 e 240 m/min)

Das figuras 1.41, 1.42 e 1.43, observa-se que:

- . ao se utilizar como critério de fim de vida o va lor VB = 0,3 mm, pode-se estar sub-utilizando a capacidade da pastilha (figs. 1.41 e 1.42). Outrossim, a pastilha pode lascar antes de ser atingido este critério (fig. 1.43).
- . para valores mais elevados da velocidade de corte (fig. 1.42) pode-se utilizar um outro critério de fim de vida, ou seja, um outro valor para VB.

Deduz-se, portanto, que para o caso de pastilhas de metal duro revestidas, a utilização de um unico critério de fim de vida para todas as velocidades de corte é ineficiente, devendo-se adotar os critérios mais pertinentes a cada caso.

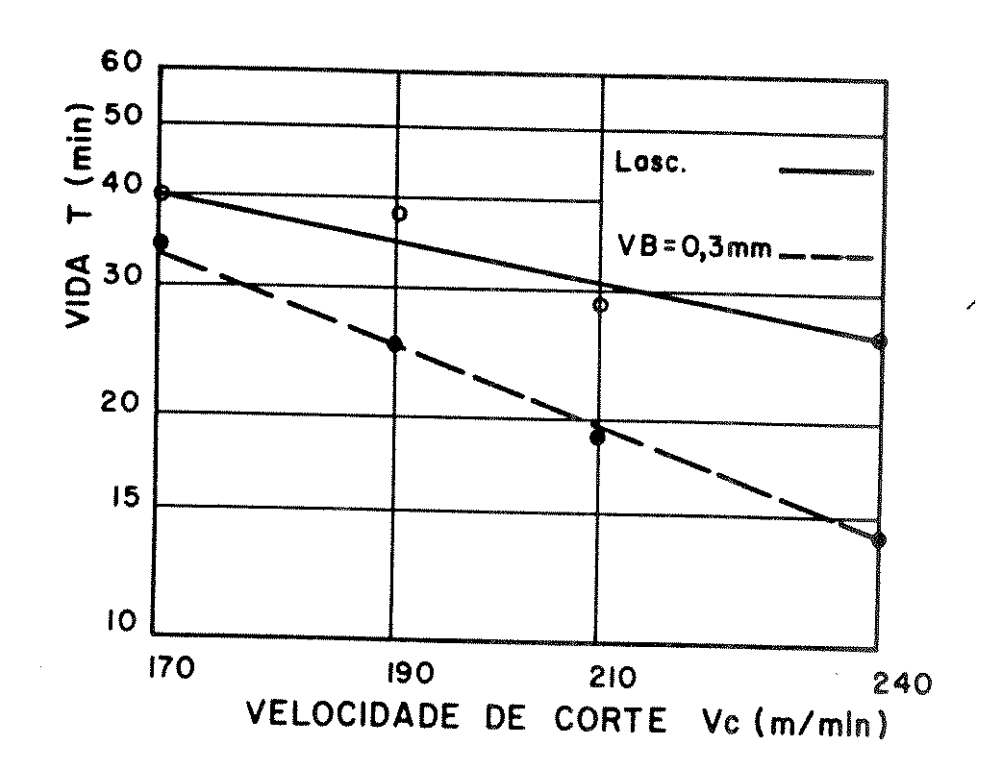


FIGURA 1.41 - Curvas de vida para f = 0,25 mm/v

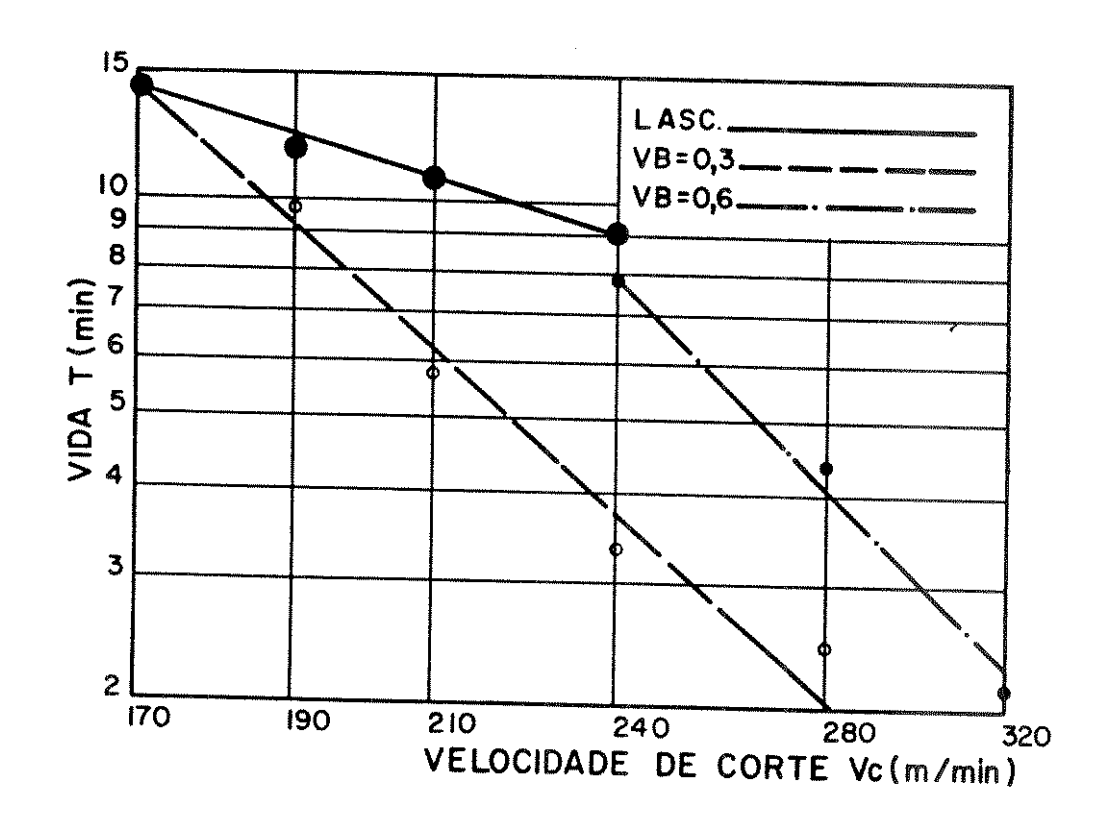


FIGURA 1.42 - Curvas de vida para f = 0.35 mm/v

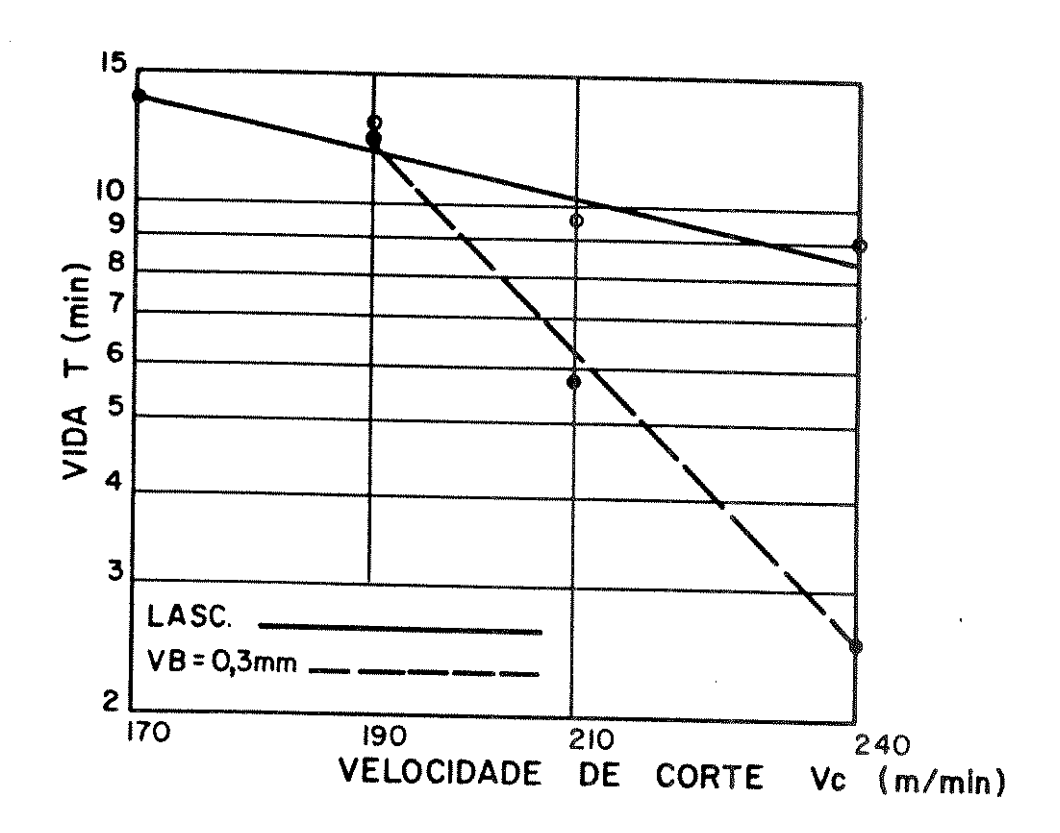


FIGURA 1.43 - Curvas de vida para f = 0,40 mm/v

II- DETERMINAÇÃO DAS CURVAS DE VIDA OBTIDAS NA EMPRESA

2.1- DESGASTE DAS FERRAMENTAS AVALIADAS NA EMPRESA

Como jã citado anteriormente, para a escolha apropriada dos parametros de usinagem, toma-se por base a curva de vida, sen do frequentemente utilizada a Equação Simplificada de Taylor (expressões 1.5 e 1.6). Pesquisas tentando encontrar correlações entre \underline{x} e \underline{K} e as propriedades das ferramentas foram efetuadas por diversos pesquisadores, mas as relações obtidas não foram totalmente satisfatórias.

Tomando-se como base a expressão (1.6), o fato de se con siderar o expoente <u>y</u> constante para uma dada ferramenta de corte e que as variações na usinabilidade das peças afetariam apenas a constante <u>C</u>, mostrou-se falho. Como <u>citado</u> no trabalho de Richard L. Kegg [44], Pilafidis analisou 140 curvas de vida, cujos resultados encontram-se resumidos abaixo para ferros fundidos e aços carbono.

PROCESSO PROCESSO	MATERIAL DA FERRAMENTA	VALOR MEDIO	VARIAÇÃO DE Y
TORNEA-	aço rāpido	0,25	0,09 - 0,55
MENTO	metal duro	0,45	0,10 - 0,80
	cerâmica	0,50	0,30 - 0,65
FRESA-	aço rāpido	0,50	0,10 - 0,75
MENTO	metal duro	0,42	0,15 - 0,60
	cerâmica	+	TOTAL CONTRACTOR OF THE PROPERTY OF THE PROPER

Deduz-se, portanto, que para cada par ferramenta-peça tem-se um valor diferente para \underline{y} e \underline{C} . Por outro lado, a obtenção destes parâmetros em laboratórios, pode induzir a grandes erros quando da utilização dos mesmos no meio industrial. Justifica- se estes erros pelos seguintes fatos:

 a obtenção da curva de vida em laboratorio e feita atraves de um eixo com diâmetro constante. As peças in dustriais normalmente não possuem diâmetros constantes, mas sim escalonados. Quando da utilização de maquinasferramenta com variação escalonada de velocidades para a produção de peças, tem-se então, que utilizar a teo-ria da Equivalência de Usinagem que faz algumas aproximações, induzindo consequentemente a erros;

- . mesmo que o meio industrial esteja utilizando m\u00e1quinas com varia\u00e7\u00e3o cont\u00e1nua de velocidades, dificilmente o di\u00e1metro da pe\u00e7a ensaiada em laborat\u00forio coincide com o di\u00e3metro da pe\u00e7a a ser trabalhada. O fato dos di\u00e3metros serem diferentes acarreta dissipa\u00e7\u00e3o de calor diferente atrav\u00e7s da pe\u00e7a, o que pode alterar a vida da ferramenta, da mesma forma modifica-se o grau de recal que e consequentemente a for\u00e7a de usinagem;
- em laboratório trabalha-se com profundidade de corte constante, condição nem sempre mantida no meio industrial;
- os critérios de desgaste para levantamento da curva de vida em laboratório nem sempre coincidem com os critérios desejáveis no meio industrial.

Desta forma, para se evitar os erros citados acima, fazse o levantamento da curva de vida diretamente na peça em trabalho (evidentemente para produção em série e repetitiva), em função do número de peças produzidas, ou seja, a equação de Taylor tomaria a forma

$$Z_{\mathsf{T}} \cdot \mathsf{v}_{\mathsf{c}}^{\mathsf{X}'} = \mathsf{K}' \quad \mathsf{ou} \tag{2.1}$$

$$v_c \cdot Z_T^{y'} = C'$$
 (2.2)

onde \mathbf{Z}_{T} $\mathbf{\bar{e}}$ o numero de peças usinadas por vida da ferramenta. Graficamente tem-se (fig. 2.1).

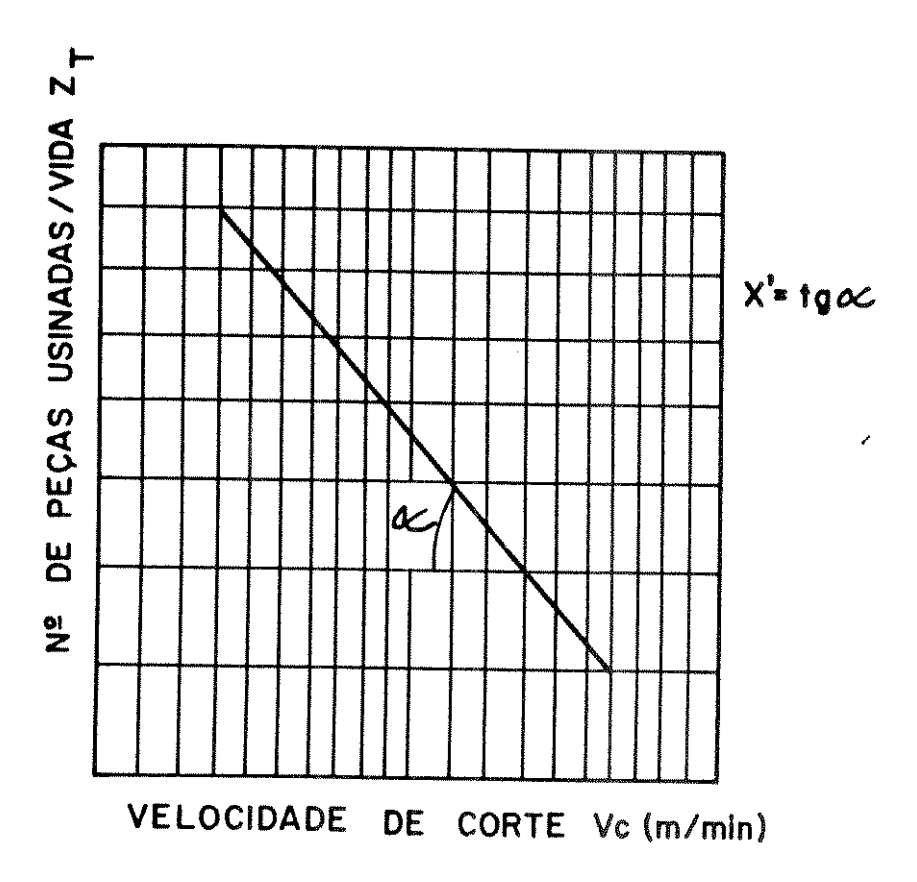


FIGURA 2.1- Curva de vida em função do número de peças usinadas.

A curva acima deve ser levantada para maquinas com varia ção continua de velocidades. Para maquinas com variação escalonada de velocidades, faz-se o levantamento da curva de vida não em função da velocidade de corte, mas sim em função da rotação da maquina, ou seja, a Equação Simplificada de Taylor tomaria a forma:

$$Z_{T} . n^{X''} = K'' \quad ou$$
 (2.3)

$$n \cdot Z_T^{y''} = C''$$
 (2.4)

Graficamente tem-se a mesma curva mostrada acima, porem, colocase na abscissa a rotação da maquina ao inves da velocidade de corte.

Procedendo-se desta maneira, eliminam-se as aproximações que seriam feitas pela Teoria da Equivalência de Usinagem, bem como problemas relativos a dissipações de calor, variações da profundidade de corte, etc..

Obtem-se outrossim, a curva de vida diretamente, sem a

necessidade de se traçar as curvas de desgaste, uma vez que os pontos obtidos nos ensaios são colocados diretamente num papel $d\underline{i}$ logaritmo.

Os critérios para a troca de pastilha dependem do tipo de operação em curso, ou seja, operação em desbaste ou em acabamento. Para a operação em desbaste os seguintes critérios podem ser utilizados:

- variação do tipo e forma do cavaco formado, a partir da observação inicial do mesmo, como por exemplo, o ca vaco pára de sair em pedaços e começa a ser formado em fitas;
- aparecimento de ruido caracteristico, indicando anorma lidade no processo;
- . desgaste excessivo da ferramenta e/ou lascamento dos revestimentos das pastilhas revestidas, observado atra ves de lupa graduada;
- excessivo aumento das forças de usinagem, observado através de amperimetros e células de carga existentes nas máquinas CNC;
- . quebra total da pastilha.

Este último critério é indesejavel pelos transtornos que pode acarretar para o processo, bem como para o porta-pastilhas , culminando com a quebra do mesmo.

Para a operação de acabamento, pode ser adotado como critério de troca a rugosidade superficial da peça usinada, medida por métodos diretos ou indiretos.

2.2- CURVAS DE VIDA OBTIDAS NA EMPRESA

A fim de se analisar o comportamento da vida das ferramentas, especialmente das pastilhas de metal duro revestidas levantadas diretamente em peças em produção na operação de desbaste, foram realizados ensaios em uma empresa de grande porte, que tive ram as seguintes características:

a) Características da Māquina: torno CNC Index, com comando GE 42, alimentação por barras, variação continua de velocidades (31,5 à 3500 rpm) e potência de 22 kW;

- b) Caracteristicas do Material: o material pertencia ao mesmo lote do ensaiado em laboratório (vide item 1.2.1, subitens b.1, b.2, b.3);
- b.4 *Dimensões*: māquina-ferramenta alimentada por barras com 6.000 mm de comprimento e diâmetro 35 mm, para usinar a peça ilustrada na figura 2.2.

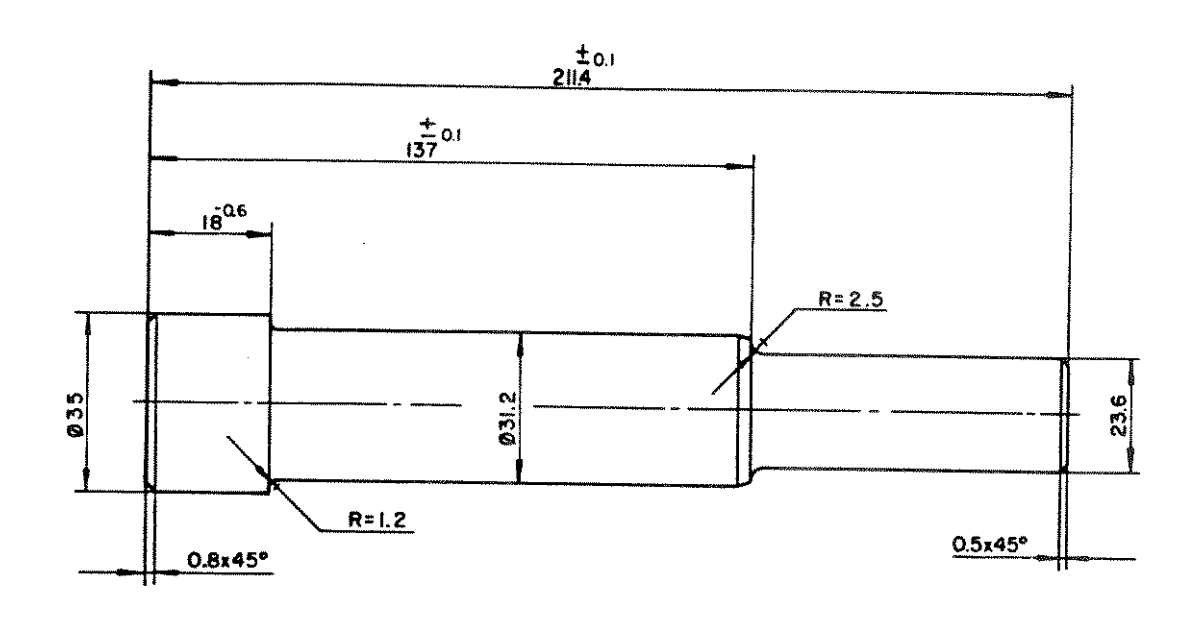


FIGURA 2.2- Dimensões da peça-obra usinada, sendo 3 passes de $a_p = 1,9$ mm e $l_f = 74,4$ mm e l passe de $a_p = 1,9$ mm em $l_f = 119$ mm.

- c) tàracteristicas da ferramenta: vide item 1.2.1, subitem \underline{c} ;
- d) Condições de usinagem: vide item 1.2.1, subitem d.

OBSERVAÇÃO: não houve possibilidades da utilização de condições mais severas, uma vez que nestes casos a peça usinada saía da tolerância no comprimento.

As peças foram usinadas em 3 passes de igual profundidade (fig. 2.2), sendo que as condições das pastilhas foram observa das através de uma lupa graduada, e prosseguiram até o aparecimen to de lascamentos dos revestimentos. As pastilhas foram então levadas para o Laboratório de Metrologia do Centro de Tecnologia da UNICAMP, onde foram medidos os desgastes VB das ferramentas que apresentaram lascamentos. As curvas de vida foram levantadas diretamente em função do número de peças usinadas, tendo-se como critério de fim de vida o aparecimento de lascamentos do revestimento no raio de ponta. Os ensaios foram repetidos 6 vezes para cada condição de usinagem. As figuras 2.3, 2.4 e 2.5 apresentam os resultados obtidos.

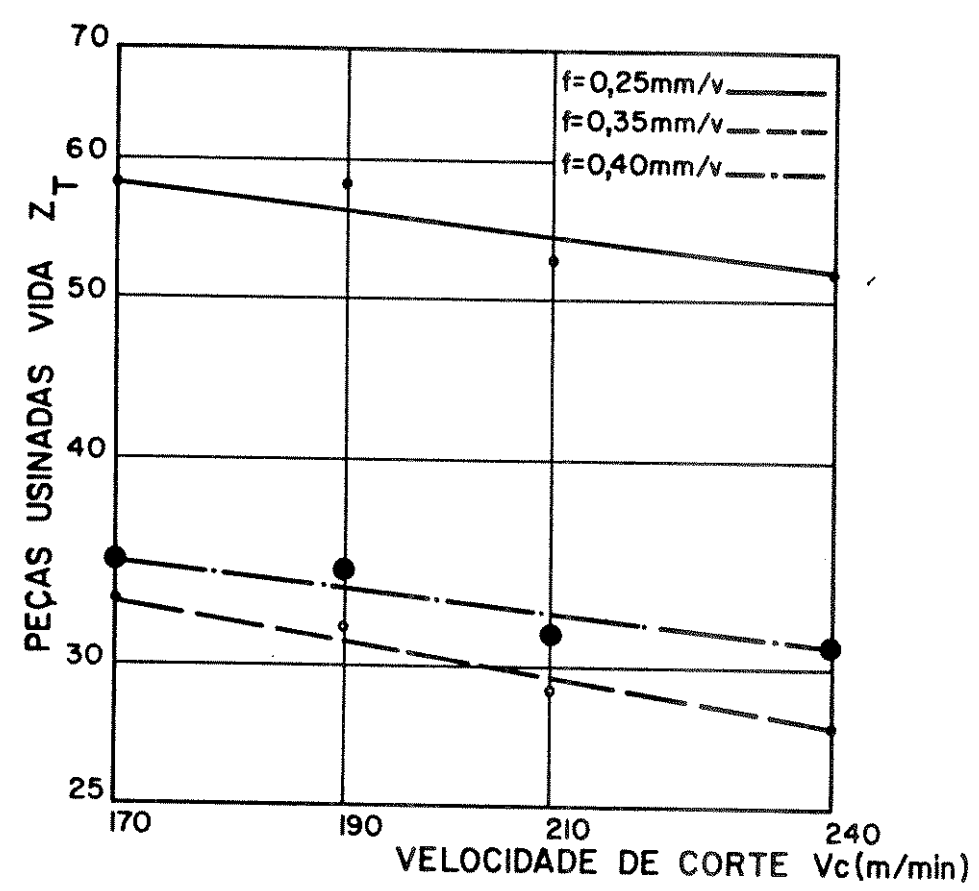


FIGURA 2.3- Curvas de vida levantadas diretamente nas peças em produção. Os pontos representados para cada caso são os valores médios de 6 medições.

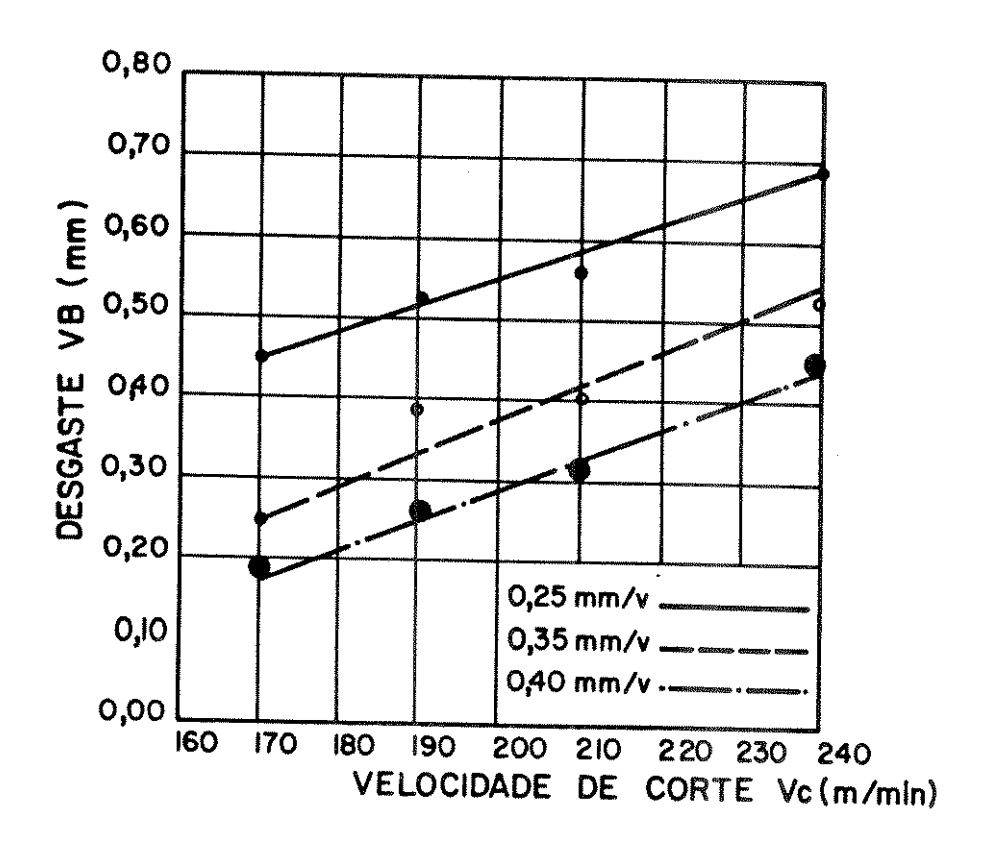


FIGURA 2.4- Variação dos valores de VB, nos quais ocorreram os lascamentos dos revestimentos, em função da velocidade de de corte.

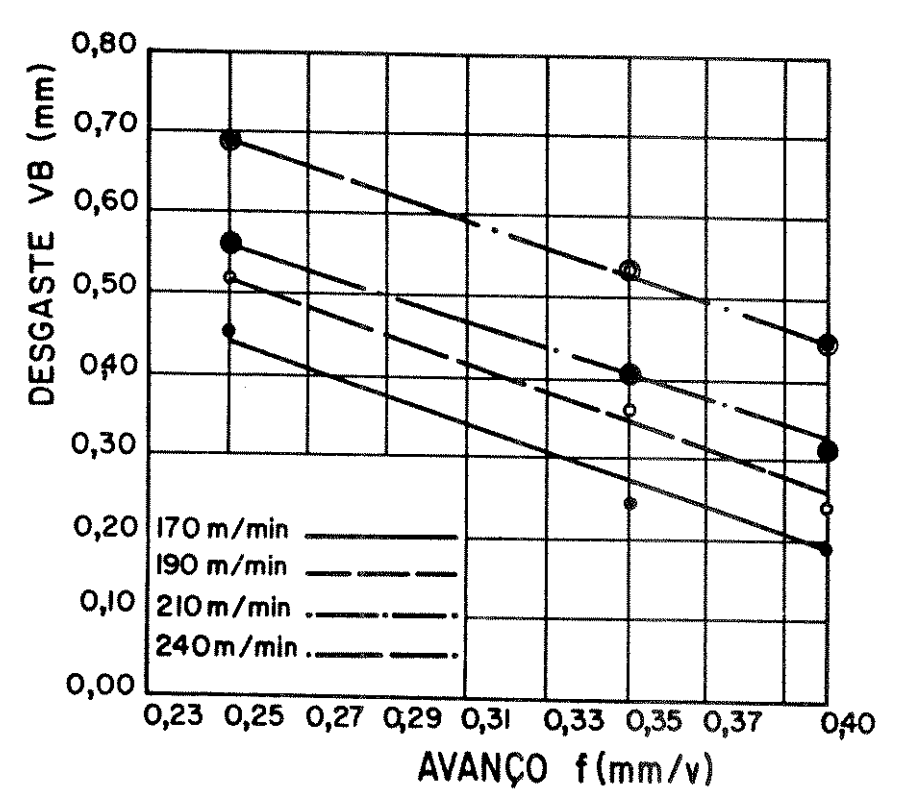


FIGURA 2.5- Variação dos valores de VB, nos quais ocorreram os lascamentos dos revestimentos, em função do avanço.

Da figura 2.3, obtem-se as seguintes expressões:

$$Z_T \cdot v_c^{0,327} = 311 \ (f = 0,25 \ mm/v)$$
 (2.5)

$$Z_{T}$$
 . $v_{C}^{0,423} = 289 \text{ (f = 0,35 mm/v)}$ (2.6)

$$Z_T \cdot v_C^{0,340} = 201 (f = 0,40 \text{ mm/v})$$
 (2.7)

Da figura 2.4, tem-se:

$$VB = 0,0034 v_{c} - 0,132 (f = 0,25 mm/v)$$
 (2.8)

$$VB = 0,0040 v_c - 0,440 (f = 0,35 mm/v)$$
 (2.9)

$$VB = 0,0037 v_C - 0,441 (f = 0,40 mm/v)$$
 (2.10)

Da figura 2.5, obtém-se:

$$VB = -1,60 f + 1,09 (v_c = 240 m/min)$$
 (2.11)

$$VB = -1,61 f + 0,963 (v_c = 210 m/min)$$
 (2.12)

$$VB = -1,73 f + 0,952 (v_c = 190 m/min)$$
 (2.13)

$$VB = -1,73 f + 0,883 (v_c = 170 m/min)$$
 (2.14)

Da mesma forma do ocorrido nos ensaios efetuados em corpos de prova em laboratório (vide item 1.2.1), observa-se também no presente caso que a variação dos valores de VB, onde ocorreram os lascamentos é aproximadamente linear tanto em função da velocidade de corte, como também em função do avanço e que as retas ilustradas na figura 2.4 são aproximadamente paralelas entre si, o mesmo ocorrendo com as retas mostradas na figura 2.5.

III- COMPARAÇÃO ENTRE AS CURVAS DE VIDA OBTIDAS EM LABORATORIO E AS CURVAS DE VIDA OBTIDAS DIRETAMENTE NAS PEÇAS EM PRODUÇÃO

A vida em minutos de uma ferramenta pode ser relacionada com o número de peças usinadas por vida através da expressão:

$$T = Z_T \cdot t_c \tag{3.1}$$

onde T ē a vida da ferramenta em minutos;

Z_T ē o número de peças usinadas por vida;

 $\mathbf{t}_{_{\mathbf{C}}}$ $\tilde{\mathbf{e}}$ o tempo de corte em minutos.

O tempo de corte (t_c) é dado por

$$t_{c} = \frac{1.000 \cdot v_{c} \cdot f}{1000 \cdot v_{c} \cdot f}$$
 (3.2)

onde: d ẽ o diâmetro médio de usinagem (diâmetro da peça em bruto + diâmetro da peça usinada /2);

ℓ_f ē o percurso de avanço para cada diâmetro da peça.

No caso de se usinar vários diâmetros com vários percursos de avanço, a expressão do tempo de corte toma a forma

$$t_{c} = \frac{\prod_{i=1}^{n} \ell_{fi} \cdot d_{i}}{1000 \cdot f \cdot v_{c}}$$
 (3.3)

Para a peça ilustrada na figura 2.2, tem-se os seguintes di $\widehat{\underline{a}}$ metros medios associados a cada percurso de avanço:

$$d_1 = \frac{35 + 31,2}{2} = 33,1 \text{ mm } (\ell_{f_1} = 74,4 \text{ mm})$$

CAPITULO III

$$d_2 = \frac{31,2 + 27,4}{2} = 29,3 \text{ mm } (\ell_{f_2} = 74,4 \text{ mm})$$

$$d_3 = \frac{27,4 + 23,6}{2} = 25,5 \text{ mm } (\ell_{f_4} = 74,4 \text{ mm})$$

$$d_4 = \frac{35 + 31,2}{2} = 33,1 (l_{f_5} = 119 mm)$$

$$i^{\frac{4}{2}}$$
i ℓ{f} i. $d_{i} = 10478,66$

Desta forma, o tempo de corte por peça, para o caso acima, é dado por

$$t_c = \frac{32,92}{v_c \cdot f}$$
 (3.4)

A fim de se comparar as curvas de vida levantadas em corpos de prova no laboratório com as curvas de vida obtidas diretamente nas peças em produção, calculou-se a vida da ferramenta em minutos a partir dos dados obtidos em função do número de peças usina das por vida, através das expressões (3.1) e (3.4). A figura 3.1 apresenta, tanto as curvas de vida obtidas no laboratório como aquelas levantadas diretamente na empresa, tendo-se como critério o lascamento dos revestimentos, válidas entre 170 e 240 m/min.

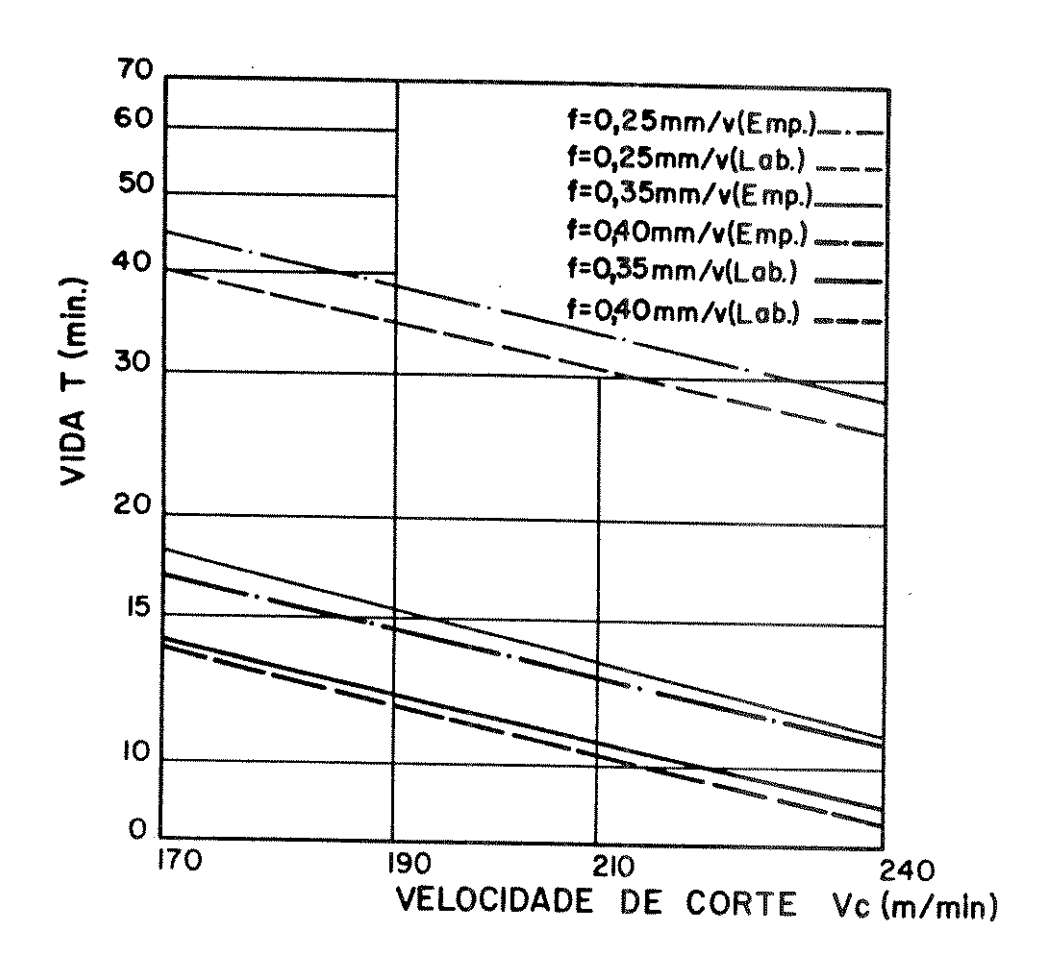


FIGURA 3.1- Curvas de vida obtidas em laboratório e na empresa.

Da figura 3.1, tem-se

AVANÇOS	LABORATORI	_	EMPRESA		
(mm/v)	(Eq. vida)		(Eq. vida)		
	f(Z _T)	f(T)	f(Z _T)	f(T)	
0,25	0,25	0,800	0,327	0,754	
***************************************	$v_c \cdot Z_T = 187$	v_{c} . T = 3257	$v_c \cdot Z_T = 311$	$v_{c} \cdot T = 3004$	
0,35	0,30	0,768	0,423	0,703	
0,00	$v_{c} \cdot Z_{T} = 118$	v_{c} . T = 1298	$v_{c} \cdot Z_{T} = 289$	$v_{c} \cdot T = 1310$	
0,40	0,412	0,708	0,340	0,746	
· , TU	$v_c \cdot Z_T = 239$	$v_{c} \cdot T = 1100$	$v_c \cdot Z_T = 201$	v _c . T = 1407	

Nota-se da figura 2.3 que, embora o número de peças usinadas por vida, utilizando-se o avanço $f=0,40\ \text{mm/v}$ e maior do que para $f=0,35\ \text{mm/v}$, ao se determinar a vida em minutos, tal situa-

ção se reverte (fig. 3.1). Isto se deve ao fato de que o tempo de corte por peça para f=0,40 mm/v \tilde{e} menor do que para f=0,35mm/v, ou seja, a ferramenta usina uma maior quantidade de peças porem, dura menos tempo (vide eq. 3.1).

Observa-se através da comparação das expressões (1.30) ā (1.36) com as equações (2.8) à (2.14) que as expressões correspon dentes a cada caso apresentam coeficientes proximos entre si, indicando que o comportamento das pastilhas foi o mesmo em laborato rio e na empresa. Quanto às curvas de vida (fig. 3.1), nota-se que para os trechos de validade das mesmas, as obtidas na Empresa indicam que as pastilhas tendem a apresentar vidas maiores do que as obtidas em laboratório. Comparativamente, para o avanço 0,25 mm/v o aumento médio da vida \tilde{e} da ordem de 10%, para f = 0,35 mm/v, de 27% e para f = 0,40 mm/v, de 23% (considerandose os trechos de validade das curvas de vida). Uma vez que o mate rial da peça e as condições de usinagem eram as mesmas em os casos e que a geometria da peça (fig. 2.2) e bastante simples, supõe-se que as diferenças acima devem-se as diferenças de rigidez das maquinas-ferramenta. Nota-se que em solicitações maiores (f = 0,35 mm/v e f = 0,40 mm/v), as diferenças de vida das ferramentas foram maiores levando-se a crer que o equipamento utilizado na Empresa apresenta rigidez maior. De acordo com Nakayama[45], mesmo que as curvas de vida sejam levantadas em maquinas-ferramen ta de mesma fabricação e tipo, só o fato de uma curva ser obtida em um equipamento novo e a outra ser obtida em um equipamento com 10 anos de uso, pode acarretar diferenças superiores à 100%, mantendo-se evidentemente inalterados os demais parâmetros. Desta ma neira, pode-se afirmar que a importância dos testesconduzidos em laboratório reside no estudo do comportamento das ferramentas, sen do que os testes realizados na peça em produção indicam que critérios de fim de vida das pastilhas estão associados com o tipo de operação e peça que se está usinando em um determinado equi pamento.

De acordo com o fabricante da pastilha [46], a velocidade de corte recomendada para se alcançar uma vida de 15 minutos \tilde{e} 270 m/min., com avanço f = 0,40 mm/v e sem fluído de corte. De acordo com os ensaios efetuados, para o avanço f = 0,40 mm/v , obtém-se:

v_{C15} = 162 m/min (curva levantada em laboratório)

v_{C15} = 187 m/min (curva obtida na Empresa)

Ressalte-se aqui o fato de que para qualquer classe de pastilha, diferentes materiais da peça e diferentes avanços, o fabricante utiliza sempre o mesmo valor do expoente y de Taylor, ou se ja, y = 0,200, variando apenas o valor da constante C (vide item 2.1). Aliado a isto, considera os mesmos valores dos coeficientes para qualquer geometria da ferramenta, fazendo com que os valores indicados tenham pouco significado para qualquer estudo comparativo e para obtenção de dados racionais de usinagem.

Desta forma, percebe-se que o registro adequado da experiência industrial é essencial em um trabalho de otimização. Livros e
manuais contendo dados de usinagem e banco de dados de usinagem
são úteis para sugerir aos usuários pontos iniciais para uma operação industrial. Estes pontos iniciais devem ser complementados
por testes de vida da ferramenta sob as condições reais de trabalho. Tais testes apresentam a vantagem de serem efetuados diretamente na peça em trabalho, não havendo a necessidade de se gastar
matéria-prima extra, nem os custos inerentes a um teste efetuado
fora do meio industrial.

IV- DETERMINAÇÃO DAS CONDIÇÕES ECONÔMICAS ATRAVÉS DAS CURVAS DE VIDA OBTIDAS EM LABORATORIO

Um considerável número de pesquisas já foi realizado no que concerne à determinação de equações para as condições econômicas de usinagem. Neste capítulo serão apresentados alguns conceitos já existentes em literatura, e alguma ênfase será dada no papel que as várias equações da vida exercem na avaliação dos dados econômicos.

A seleção de condições econômicas envolve um grande número de variáveis, sendo que condições ótimas exatas e totalmente reais são raramente encontradas, devido às próprias variações de qualidade das ferramentas e materiais das peças, máquinas inadequadas, dados de custos insuficientes e etc.. Deve também ser lembrado, que as condições ótimas para uma operação não significa que o sistema completo de usinagem esteja otimizado.

4.1- TEMPOS DE USINAGEM

O tempo total de confecção por peça para um lote de Z peças $\tilde{\text{e}}$ dado por [10] ,

$$\bar{t}_t = t_c + t_s + t_a + \frac{t_p}{Z} + \frac{n_t}{Z} \cdot t_{ft}$$
 (4.1)

onde:

t_t = tempo total de execução da peça;

 t_c = tempo de corte da ferramenta;

t_s = tempos secundários de usinagem;

t_a = tempo de aproximação e afastamento da ferramenta;

t_D = tempo de preparação da máquina;

t_{ft}= tempo de troca da aresta cortante;

 $n_t = n$ de trocas de arestas cortantes para usinagem de Z peças.

Uma vez que a maquina é preparada com pastilha nova, tem-se

$$Z = (n_t + 1) \cdot Z_T = (n_t + 1) \cdot \frac{T}{t_c}$$

ou

$$n_t = Z \cdot \frac{t_c}{T} - 1 \tag{4.2}$$

Substituindo-se (4.2) em (4.1), resulta:

$$t_t = t_c + (t_s + t_a + \frac{t_p}{Z}) + (\frac{t_c}{T} - \frac{1}{7}) \cdot t_{ft}$$
 (4.3)

ou

$$t_t = t_c + t_1 + (\frac{1}{Z_T} - \frac{1}{Z}) \cdot t_{ft}$$
 (4.4)

Como o tempo de corte é definido por

$$t_{c} = \frac{\ell_{f}}{f.n} \tag{4.5}$$

onde n e a rotação da maquina (rpm), obtem-se para o tempo total de confecção:

$$t_t = \frac{\ell_f}{f.n} + t_1 + (\frac{\ell_f}{f.n.T} - \frac{1}{Z}) \cdot t_{ft}$$
 (4.6)

A equação acima, expressa em função da velocidade de corte, resulta em:

$$t_{t} = \frac{\ell_{f} \cdot \pi \cdot d}{1000 \cdot f \cdot v_{f}} + t_{1} + (\frac{\ell_{f} \cdot \pi \cdot d}{1000 \cdot f \cdot v_{f} \cdot T} - \frac{1}{Z}) \cdot t_{ft}$$
 (4.7)

O $\overline{\text{ultimo}}$ termo das expressões (4.4), (4.6) e (4.7) pode ser denotado como t_2 .

4.2- CUSTOS DE USINAGEM

Os custos de usinagem por peça são compostos de diferentes parcelas. Existem diferentes maneiras de expressã-las e serão indicadas as mais comumentes utilizadas [1, 10, 47, 48].

a) Custo do tempo de corte (c_{tc}) - o custo do tempo de corte \tilde{e} dado por

$$c_{tc} = (c_m + s_o) \cdot \frac{tc}{60}$$
 (4.8)

onde

S_o ē o salārio do operador por hora (incluindo sobretaxas),

 C_{m} \bar{e} o custo da m \bar{a} quina por hora dado por

$$C_{m} = \frac{1}{H} \left[\left(v_{o} - \frac{k(V_{o} - V_{R})}{n} \right) \cdot i + C_{F} \right]$$
 (4.9)

onde

H = numero de horas em que a maquina esta em atividade por ano;

V_o = valor atual da māquina;

k = idade da maquina em anos;

V_R = valor residual da māquina;

n = vida prevista para a maquina (anos);

i = taxa minima de atratividade para investir no equipa mento (%);

 C_F = custos fixos anuais do centro de custos onde estã localizada a maquina.

Chamando-se $C_m + S_o = C_2$, tem-se, então para o custo relativo ao tempo de corte

$$C_{tc} = C_2 \cdot \frac{t_c}{60} \tag{4.9}$$

b) Custo dos tempos improdutivos (C_{t_1}) - 0 custo dos tem pos improdutivos \bar{e} dado por

$$C_{t_1} = C_2 \cdot \frac{t_1}{60} \tag{4.10}$$

c) Custo das ferramentas por peça (C_{fe}) - ē dado por

$$c_{fe} = \frac{1}{z_T} \left[\frac{1}{n_{fp}} \cdot v_{of} + \frac{c_p}{n_p} \right]$$
 (4.11)

onde

 V_{of} = valor atual do porta-pastilhas;

 C_D = custo atual da pastilha;

n_D = número de arestas cortantes da pastilha.

A expressão (4.11) pode também ser dada por

$$c_{fe} = \frac{1}{z_{T}} \cdot c_{fT}$$
 (4.12)

onde

C_{fT} representa o custo da ferramenta por vida.

d) Custo do tempo de troca da aresta cortante (C_{tft}) - \bar{e} dado por

$$C_{tft} = C_2 \cdot \frac{t_2}{60}$$
 (4.13)

O custo total de usinagem $\tilde{\mathbf{e}}$ dado pela soma das parcelas a, b, c e d, ou seja

$$C_t = C_2 \cdot \frac{t_c}{60} + C_2 \cdot \frac{t_1}{60} + \frac{1}{Z_T} \cdot C_{fT} + C_2 \cdot \frac{t_2}{60}$$
 (4.14)

Substituindo-se os tempos (expressão 4.4) na expressão (4.14), tem-se

$$C_{t} = \frac{C_{2}.^{t}c}{60} + \frac{C_{2}.t_{1}}{60} + \frac{1}{Z_{T}}.C_{fT} + C_{2}.\frac{1}{Z_{T}}.\frac{t_{ft}}{60} - C_{2}.\frac{1}{Z}.\frac{t_{ft}}{60} (4.15)$$

chamando-se

$$C_1 = C_2 \cdot \frac{t_1}{60} - \frac{C_2}{Z} \cdot \frac{t_{ft}}{60}$$

$$C_3 = \frac{C_2}{60} + C_{fT}$$

obtēm-se

$$C_{t} = \frac{C_{2} \cdot t_{c}}{60} + C_{1} + \frac{1}{Z_{T}} \cdot C_{3}$$
 (4.16)

ou

$$C_{t} = C_{1} + \frac{\pi . d . \ell_{f} . C_{2}}{60.1000 . f . v_{c}} + \frac{\pi . d . \ell_{f}}{1000 . f . v_{c} . T} . C_{3}$$
 (4.17)

4.3- CRITERIOS DE OTIMIZAÇÃO

Os critérios de otimização considerados são [1] :

- a) mīnimo custo por peça;
- b) māxima produção por peça;
- c) maxima razão de lucro por peça.

O minimo custo por peça e encontrado através da minimização da expressão (4.14) e a máxima produção pela minimização da equação (4.4).

Para o critério da máxima razão de lucro é essencial que a receita de usinagem por peça seja conhecida. Para este critério tem-se [1]:

$$L_{T} = R_{T} - C_{T} \tag{4.18}$$

onde

$$R_{\mathsf{T}} = R_{\mathsf{t}} \cdot P_{\mathsf{r}} \tag{4.19}$$

$$C_{\mathsf{T}} = C_{\mathsf{t}} \cdot P_{\mathsf{r}} \tag{4.20}$$

em que:

 L_T = razão de lucro total de usinagem para as P_r peças produzidas;

 R_T = razão de receita total de usinagem gerada devido \bar{a} produção das P_r peças;

 C_T = razão de custo total de usinagem para a produção das P_r peças;

 $P_r = n\bar{u}mero de peças produzidas por minuto (<math>P_r = 1/t_t$)

A razão de máximo lucro \tilde{e} obtida maximizando-se a expressão (4.18).

Embora o critério da máxima razão de lucro seja o preciso do ponto de vista teórico, a sua determinação é bastante trabalhosa, uma vez que a avaliação da proporção do preço de venda da peça que deve ser rateado para cada operação de usinagem,ou seja, a determinação da receita de usinagem é complexa. Para isto, haveria a necessidade de um detalhamento de custo minucioso [12] . Alem disso, a velocidade de corte onde se situa a maxima razão de lucro localiza-se entre a velocidade de minimo custo e a de maxima produção [1, 49, 50]. Portanto, é completamente admissīvel trabalhar-se dentro deste intervalo, uma vez que tanto para a velocidade de máxima produção quanto para a velocidade de mínimo custo, a razão de lucro e zero [1] . Nos casos de empresas que fazem usinagem para terceiros, pode-se aplicar com maior facilida de o critério da máxima razão de lucro. O intervalo compreendido entre as velocidades de mínimo custo e máxima produção denominase intervalo de máxima eficiência (figura 4.1).

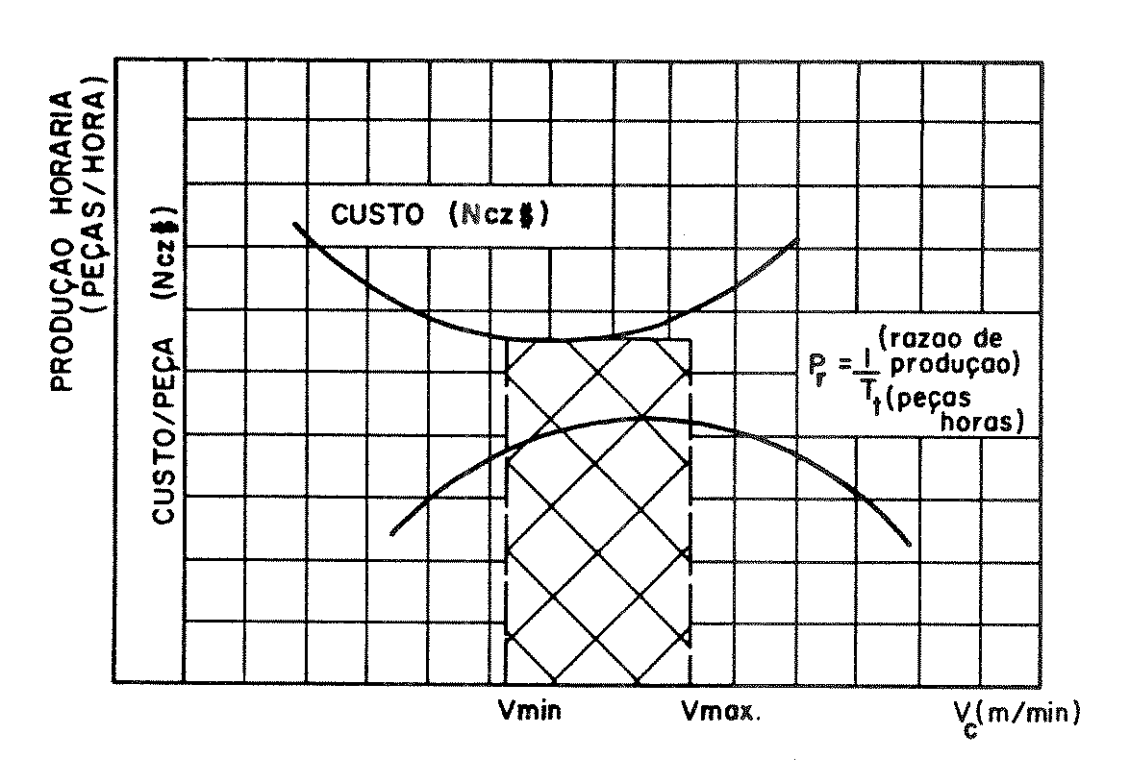


FIGURA 4.1- Intervalo de máxima eficiência.

4.3.1- DETERMINAÇÃO DAS CONDIÇÕES ECONÔMICAS PARA CURVAS DE VIDA LINEARES - UMA ÚNICA INCLINAÇÃO

Para os casos em que as curvas experimentais da vida da ferramenta se aproximam de uma reta, na representação logarítmica, são aplicáveis os modelos de Taylor (figura 1.15). Tomando-se como base a Equação Expandida de Taylor (1.8), tem-se [1]

$$v_0 = \sqrt{\frac{C_2 \cdot K_1}{(x-1) \cdot f^y \cdot a_p^z \cdot C_3}}$$
 (4.21)

para a velocidade de minimo custo.

A vida da ferramenta em minutos para esta velocidade de corte $\tilde{\mathbf{e}}$ dada por [1]

$$T_0 = \frac{60 (x - 1) \cdot C_3}{C_2} \tag{4.22}$$

Para a velocidade de máxima produção resulta [1]

$$v_{mx} = \sqrt{\frac{K_1}{(x-1).f^y.a_p^z.t_{ft}}}$$
 (4.23)

A vida em minutos para esta velocidade de corte obtém-se por [1]

$$T_{mx} = (x - 1) \cdot t_{ft}$$
 (4.24)

Nas expressões (4.21) e (4.23), a velocidade de corte é função de outras duas variáveis, o avanço e a profundidade de corte. Ao derivar-se as expressões (4.7) e (4.17) em relação a essas variáveis, percebe-se que não se consegue obter um único ponto de mínimo. Uma vez que a influência da variação da profundidade de corte sobre o mínimo custo e a máxima produção é relativamente pe

quena, pois o expoente <u>z</u> da expressão (1.8) \bar{e} bem menor que os expoentes <u>x</u> e <u>y</u>, pode-se desprezar o termo a_{p}^{z} nas expressões(4.21) e (4.23) [10, 43].

Da mesma maneira, as variāveis $v_{\underline{C}}$ e \underline{f} são independentes, de forma que também uma única condição ótima não é possível de ser obtida. Como a vida da ferramenta é mais sensível às mudanças da velocidade de corte do que às mudanças do avanço e sendo y < x, o custo por peça diminui à medida que se aumenta o avanço [16] (figura 4.2). Esta hipótese (aumento do avanço, menor custo), pressupõe que as várias curvas de vida, para diferentes avanços , sejam paralelas entre si (figura 1.15c), o que nem sempre ocorre, como já discutido em 1.1.5.

Estas mesmas conclusões são aplicaveis às condições de maxima produção [16] (figura 4.3).

Supondo esta hipótese verdadeira, o melhor ponto ótimo é obtido escolhendo-se o maior avanço admissível para a operação, resultando, portanto, na utilização do Modelo Simplificado de Taylor (equações 1.5 ou 1.6). Assim, tem-se para as condições de mínimo custo e máxima produção, utilizando-se a expressão (1.6):

$$v_0 = \sqrt{\frac{C_2 \cdot K}{(x-1) \cdot C_3}}$$
 (4.25)

$$v_{mx} = \sqrt{\frac{K}{(x-1) \cdot t_{ft}}}$$
 (4.26)

ou utilizando-se a equação (1.5)

$$v_0 = C \cdot \left[\frac{C_2}{60 \cdot C_3 \left(\frac{1}{y} - 1 \right)} \right]^y$$
 (4.27)

$$T_{0} = \frac{60 \cdot C_{3}(\frac{1}{y} - 1)}{C_{2}}$$
 (4.28)

e também

$$v_{mx} = \frac{C}{\left[t_{ft}\left(\frac{1}{y} - 1\right)\right]}y \tag{4.29}$$

$$T_{mx} = \left(\frac{1}{y} - 1\right) \cdot t_{ft} \tag{4.30}$$

A equação da espessura de cavaco equivalente (1.28) também é aplicável ao presente caso, porém são introduzidas as mesmas simplificações citadas acima, conduzindo às mesmas expressões de ${\bf v}_{\rm o}$ e ${\bf v}_{\rm mx}$.

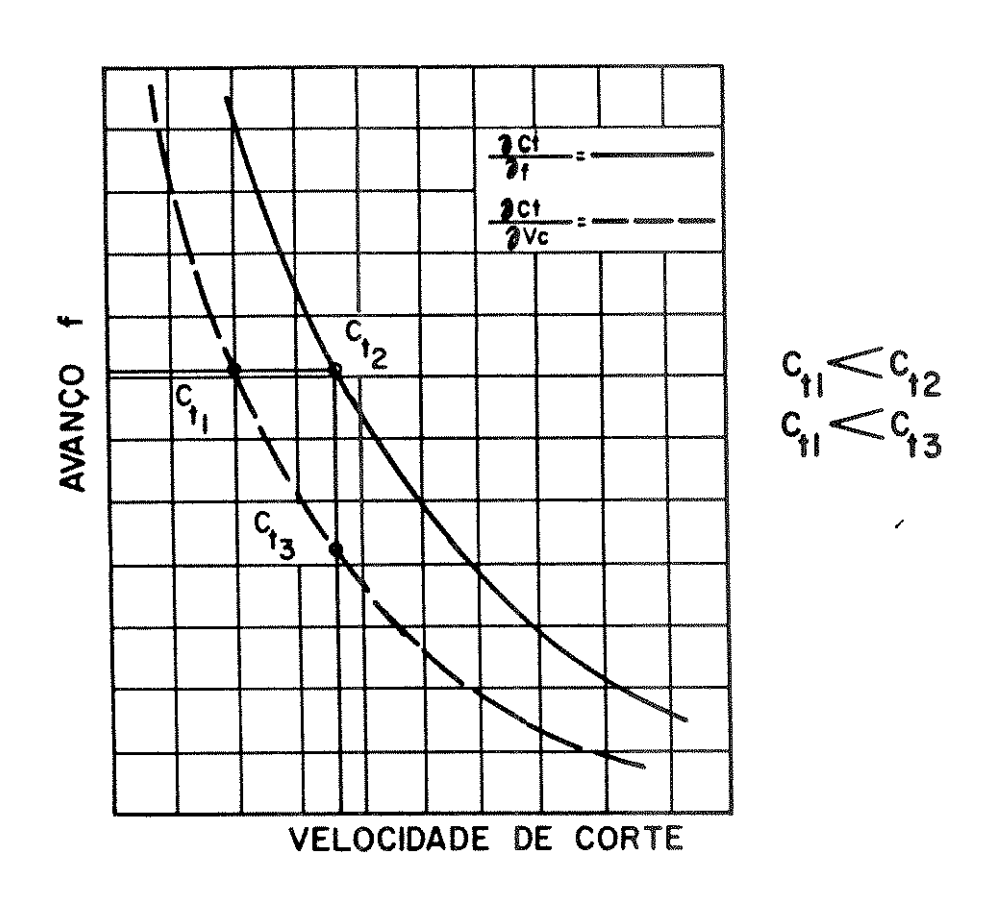


FIGURA 4.2- Minimo custo obtido através do avanço e da velocidade de corte.

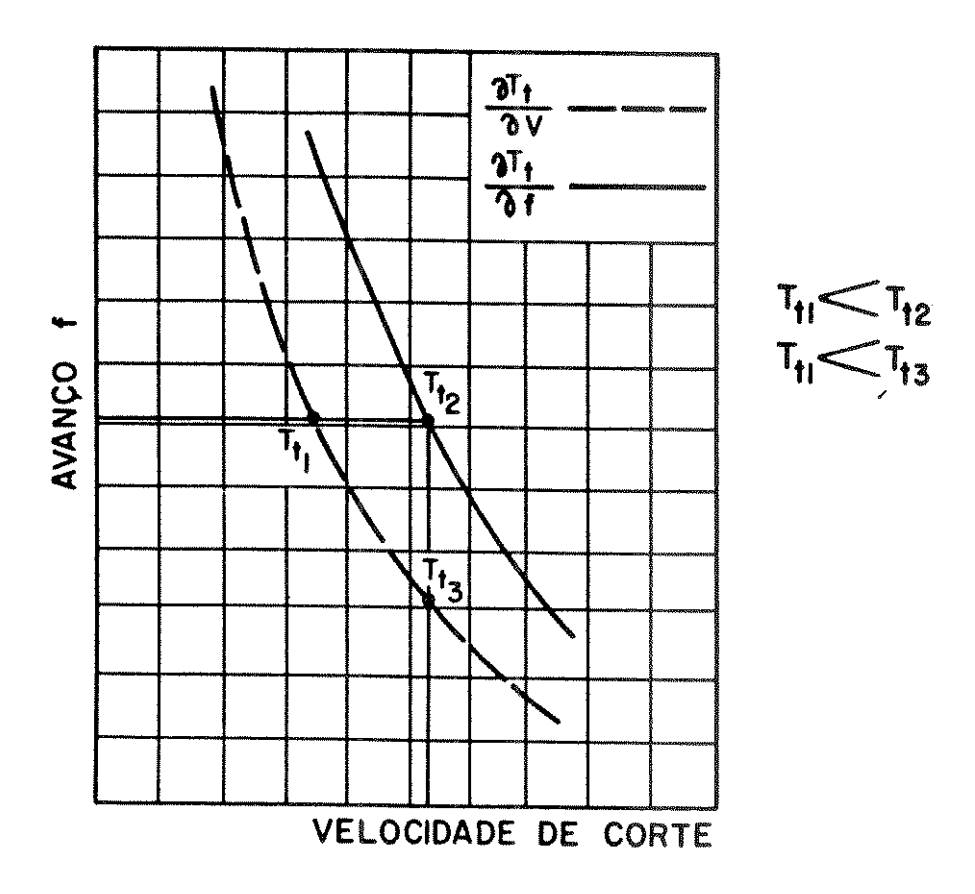


FIGURA 4.3- Maxima produção obtida atraves do avanço e da velocidade de corte.

Com relação à velocidade onde se obtém a máxima razão de lucro, foram deduzidas expressões, tomando-se como base o Modelo Simplificado de Taylor [1, 49, 50]. Desta forma, tem-se

$$1 = \frac{(C_3 - C_2)}{R_t \cdot Z} \cdot t_p + \frac{C_{ft} \cdot x \cdot \ell_f \cdot \pi \cdot d}{K \cdot R_t \cdot 1000 \cdot f} \cdot v_c^{X-1} + \frac{(x-1) \cdot v_c^X}{R_t \cdot K} \left[C_{ft} \left(t_1 + \frac{t_p}{Z} - \frac{t_{pt}}{Z} \right) + \frac{(x-1) \cdot v_c^X}{R_t \cdot K} \right]$$

$$+ R_{t} \cdot t_{ft} \left(1 - \frac{C_{3} - C_{2}}{R_{t} \cdot Z} \cdot t_{p} \right)$$
 (4.31)

onde a velocidade é calculada de modo iterativo.

4.3.2- DETERMINAÇÃO DAS CONDIÇÕES ECONÔMICAS PARA CURVAS DE VIDA LINEARES - DUAS INCLINAÇÕES

Atē o presente momento admitiu-se que os valores

das velocidades v_0 ou v_{mx} calculadas, encontram-se no campo de aplicação da formula de Taylor, onde x e K foram previamente fixados e tomados como constantes.

De acordo com o jã citado no item (1.1.3), conforme o critério de fim de vida utilizado na obtenção da curva de vida, pode-se ter duas inclinações, ou seja, dois critérios para uma mesma ferramenta (figura 1.6). A variação da inclinação destas retas, ou seja, a variação dos parâmetros \underline{x} e \underline{K} do Modelo Simplificado de Taylor, altera os custos relativos \bar{a} ferramenta [10], isto \bar{e} , partindo-se da expressão (4.17) e substituindo \underline{T} dado pela equação (1.5), tem-se

$$C_t = C_1 + \frac{C_2 \cdot \pi \cdot \ell_f}{1000 \cdot f \cdot v_c} \cdot d + \frac{\pi \cdot d \cdot \ell_f \cdot C}{1000 \cdot f \cdot K} \cdot v_c^{X-1}$$
 (4.32)

A figura 4.4 mostra a influência de \underline{x} e \underline{K} sobre o custo relativo \widetilde{a} ferramenta, curvas representadas pelas equações:

$$\frac{\pi \cdot d \cdot \ell_{f}}{1000 \cdot f \cdot K_{1}} \cdot C_{3} \cdot V_{c}^{X_{1}-1}$$
 (4.33)

е

$$\frac{\pi \cdot d \cdot \ell_{f}}{1000 \cdot f \cdot K_{2}} \cdot C_{3} \cdot v_{c}^{X_{2}-1}$$
 (4.34)

onde os valores de x_1 , x_2 , K_1 e K_2 são tomados de gráficos semelhantes aos representados na figura 4.5.

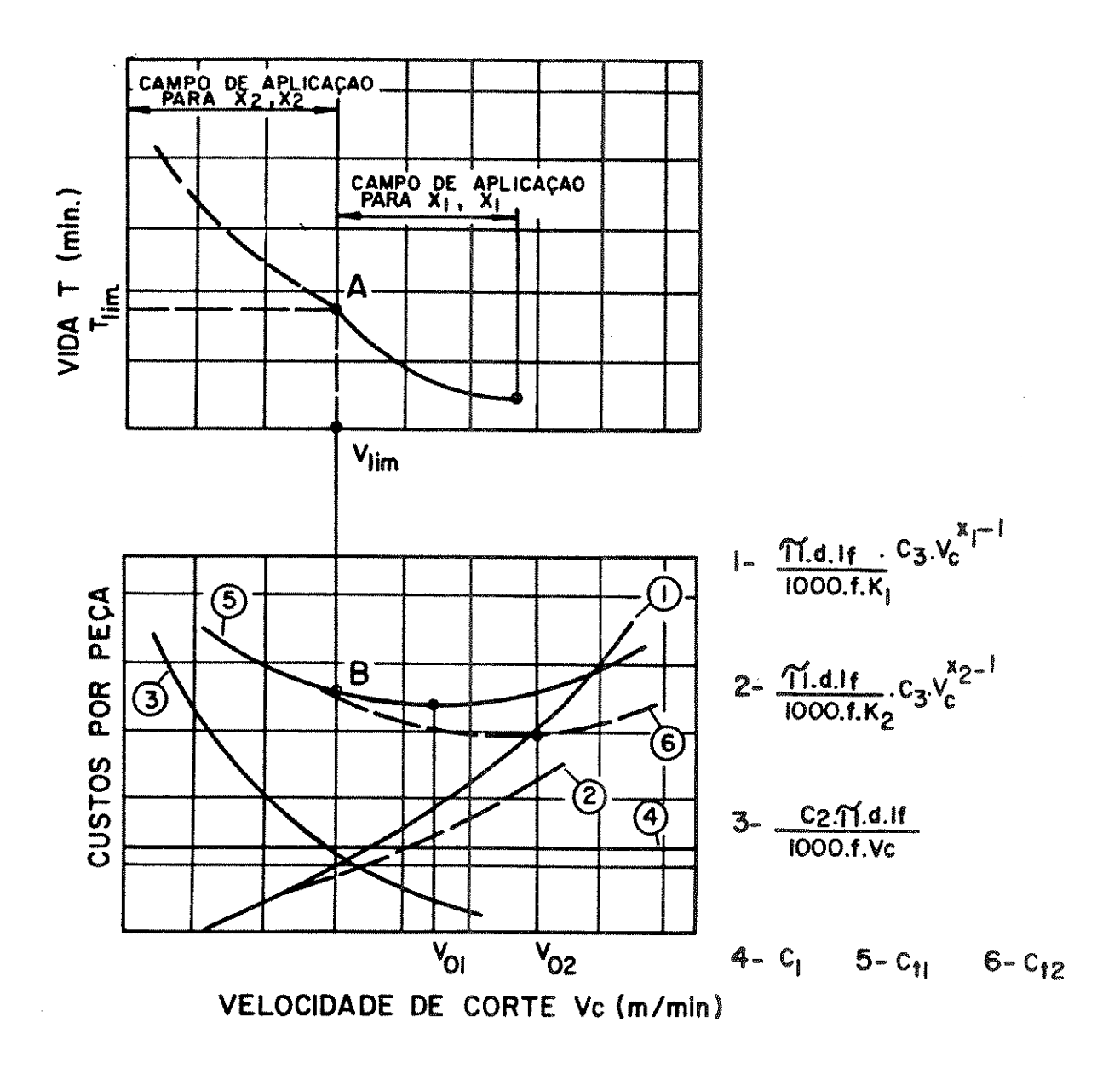


FIGURA 4.4- Influência dos parâmetros x e K sobre as curvas de custo e vida da ferramenta.

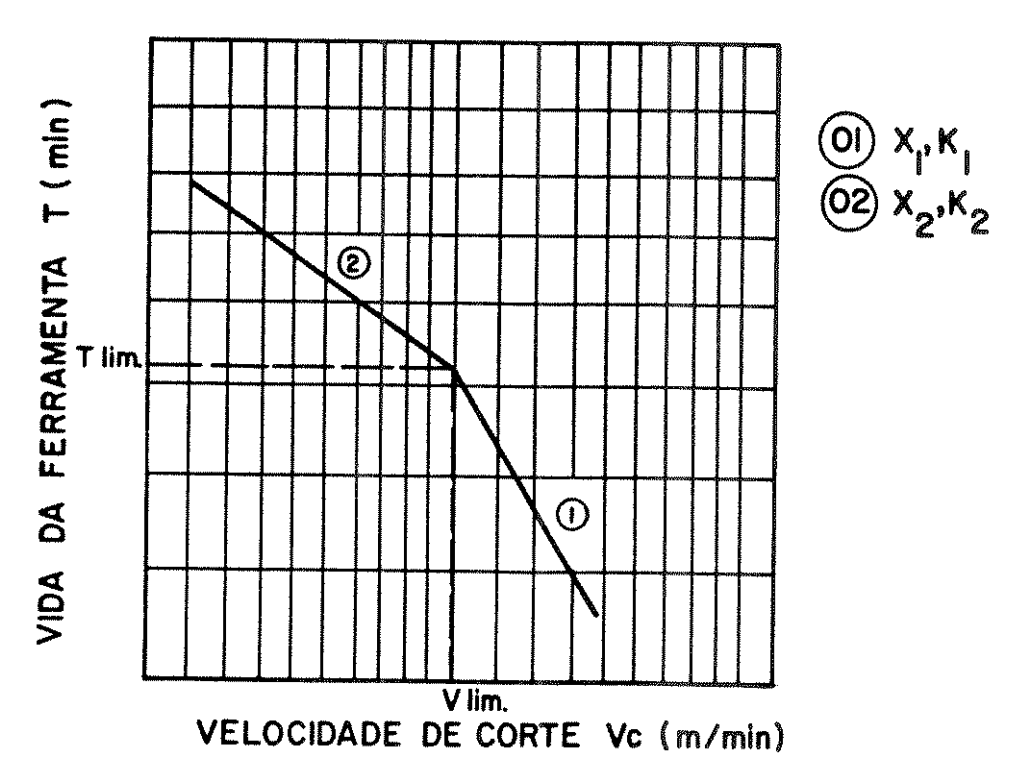


FIGURA 4.5- Curvas de vida obtidas utilizando-se dois critérios diferentes.

A soma dos valores representados pelas curvas 1, 3 e 4 fornece o custo total de usinagem por peça C_{t_1} , cujo valor minimo corresponde à velocidade \mathbf{v}_{0_1} . A soma dos valores representados pelas curvas 2, 3 e 4 fornece o custo total de usinagem C_{t_2} , cujo valor minimo corresponde à velocidade de corte \mathbf{v}_{0_2} . Este valor cai fora do campo de validade da fórmula de Taylor para os valores \mathbf{x}_2 e \mathbf{K}_2 , não devendo ser utilizado. Todos os pontos da curva \mathbf{C}_{t_2} à direita da linha AB não tem sentido, portanto, a velocidade \mathbf{v}_{0_2} é inadmissível, porque a partir da linha AB, o critério de fim de vida é outro [10].

4.3.3- DETERMINAÇÃO DAS CONDIÇÕES ECONÔMICAS PARA CURVAS DE VIDA NÃO LINEARES

Nos casos em que a curva de vida na sua representação logarítmica não é uma reta, tem-se duas opções para a deter minação das condições econômicas de usinagem:

a) divide-se a curva de vida em segmentos, calculando-se os parametros $\underline{x(y)}$ e $\underline{K(C)}$ para cada segmento (figura 4.6), admi

tindo-se inicialmente que a velocidade de maxima produção ou minimo custo esteja contida num determinado segmento, calculam-se os valores de \mathbf{v}_{mx} ou \mathbf{v}_0 para os parametros $\mathbf{x}(\mathbf{y})$ e $\mathbf{K}(\mathbf{C})$ deste segmento; caso esta suposição for satisfeita, o problema esta solucionado; em caso contrário, deve-se escolher novo segmento com novos valores de $\mathbf{x}(\mathbf{y})$ e $\mathbf{K}(\mathbf{C})$ até que a hipótese acima seja satisfeita.

b) utiliza-se a Equação de Depiereux (1.27). Neste caso, tem-se [19]

$$v_0^{m(k_{Vc}/m+k_{Vc}/n)} - \ell_n \frac{C_2}{60.C_3} + C = -\ell_n(k_{Vc}.v_0^m - 1)$$
 (4.35)

$$f_{0}^{n} = \frac{{}^{\ell}_{n} \frac{C_{2}}{60.C_{3}} - \frac{k_{vc}}{m} \cdot v_{0}^{m} - {}^{\ell}_{n} (k_{vc}.v_{0}^{m} - 1) + C}{i_{f}/n}$$
(4.36)

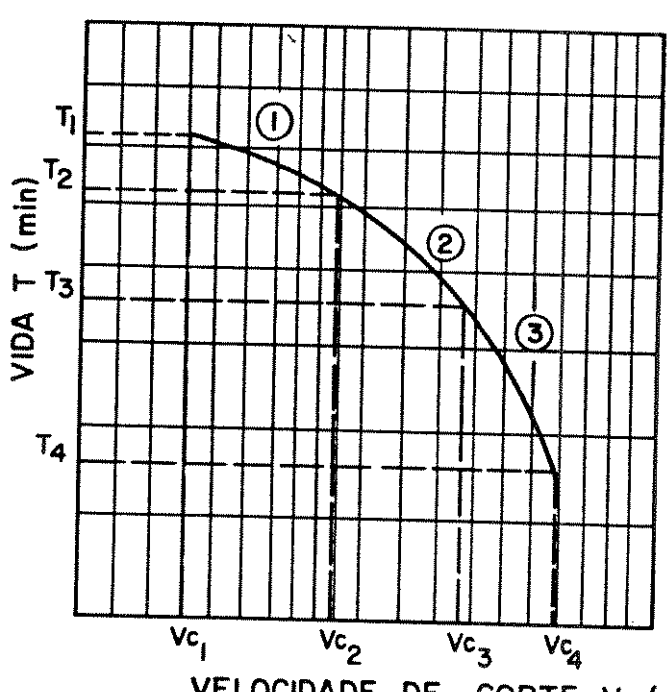
$$v_{mx}^{m(k_{vc}/m+k_{vc}/n)} - \ell_{n} \frac{1}{t_{ft}} + C = -\ell_{n}(k_{vc}.v_{mx}^{m} - 1)$$
 (4.37)

$$f_{mx}^{n} = \frac{\ell_{n} \frac{1}{t_{ft}} - \frac{k_{vc}}{m} \cdot v_{mx}^{m} - \ell_{n} (k_{vc} \cdot v_{mx}^{m} - 1) + c}{i_{f}/n}$$
 (4.38)

Como as expressões (4.35) e (4.37) não contêm a variável <u>f</u>, então e possível determinar as velocidades de mínimo custo e máxima produção e, posteriormente, com estas velocidades calculadas a obtenção dos avanços ótimos (expressões 4.36 e 4.38). Da

mesma forma que para os casos anteriores, os valores determinados so tem significado dentro da faixa de levantamento de dados.

A determinação dos avanços őtimos, porém, é de im portância secundária, uma vez que para a maioria dos casos práticos os valores calculados ficam acima dos valores possíveis de serem usados; desta forma, a determinação econômica limita-se ao cálculo das velocidades, para um determinado avanço máximo possível para o processo. Cabe lembrar que a expressão de Depiereux pressupõe também que existe interdependência entre os valores de m e n (vide item 1.1.5), caso contrário não se pode afirmar que o custo mínimo ocorra para um avanço máximo possível, pois depende da variação dos coeficientes. De acordo com o mencionado em 2.1, qualquer interdependência entre os termos é apenas uma hipótese, sendo que na realidade, o custo mínimo pode ser encontrado para avanços menores do que o máximo possível para o processo.



SEGMENTO i	Ti-Ti+1	Vci→Vci+1	X_i, K_i
I WHITE AND A STORY OF THE STOR	₁ → τ ₂	V _{Cl} -V _C 2	X _I ,K _I
2	T2 - ▶T3	V _{c2} →V _{c3}	x _{2,K2}
3	T ₃ T ₄	V _{c3} V _{c4}	х ₃ ,к ₃

VELOCIDADE DE CORTE Vc (m/min)

FIGURA 4.6- Segmentação de curvas de vida não lineares.

V- DETERMINAÇÃO DAS CONDIÇÕES ECONÔMICAS ATRAVÉS DAS CURVAS DE VIDA OBTIDAS NA EMPRESA

5.1- VELOCIDADES DE MINIMO CUSTO E MÁXIMA PRODUÇÃO

As expressões para a determinação das velocidades de minimo custo e máxima produção foram deduzidas tendo-se como parâmetro a vida da ferramenta em minutos. Quando se levantam os coeficientes diretamente na peça que se está usinando, tendo como parâmetro a vida da ferramenta em quantidade de peças usinadas, podese utilizar um dos seguintes métodos:

- Calcula-se a vida T em minutos atravēs da expressão
 (3.1) e determinam-se as condições econômicas por um dos métodos apresentados no item (4.3);
- . Utilizam-se as curvas de vida (quando lineares na representação logarítmica) levantadas diretamente na produção, em função do número de peças usinadas, ou seja, as expressões (2.1) ou (2.3). Uma vez que [2]

$$x = x' + 1 \tag{5.1}$$

e

$$K = \frac{K' \cdot \ell_{f} \cdot \pi \cdot d}{1000 f}$$
 (5.2)

onde \underline{x}' e K' são coeficientes obtidos através do número de peças usinadas por vida (eq. 2.1), obtém-se para as condições ótimas de usinagem:

$$\mathbf{v_{mx}} = \sqrt{\frac{x'+1}{K' \cdot \ell_{f} \cdot \pi \cdot d}}$$
 (5.3)

$$\mathbf{v}_{0} = \sqrt{\frac{x'+1}{x' \cdot 60 \cdot 1000 \cdot f \cdot C_{3}}}$$
(5.4)

No caso de peças com diâmetros escalonados, utilizam-se as expressões [2]

$$v_{mx} = \sqrt{\frac{x'+1}{x' \cdot i^{\frac{\Sigma}{2}} 1 \ell_{fi} \cdot d_{i}}{x' \cdot 1000 \cdot f \cdot t_{f\ell}}}$$
 (5.5)

$$\mathbf{v}_{0} = \sqrt{\frac{x'+1}{\pi \cdot K' \cdot C_{2} \cdot i^{\frac{\Sigma}{2}} 1 \ell_{fi} \cdot d_{i}}}{x' \cdot 60 \cdot 1000 \cdot f \cdot C_{3}}$$
 (5.6)

Quando se utiliza a expressão (2.2), as equações acima tomam a forma

$$v_{mx} = C^{\frac{1}{y'+1}} \cdot \left(\frac{y' \cdot \pi \cdot i^{\frac{\sum}{2}} 1 \ell_{fi} \cdot d_{i}}{1000 \cdot f \cdot t_{ft}} \right)^{\frac{y'}{y'+1}}$$
(5.7)

$$\mathbf{v_{o}} = C^{\frac{1}{y'+1}} \cdot \left(\frac{y' \cdot \pi \cdot C_{2} \cdot i^{\frac{\Sigma}{2}} 1 \ell_{fi} \cdot d_{i}}{60 \cdot 1000 \cdot f \cdot C_{3}} \right)$$
 (5.8)

Para os casos em que as máquinas-ferramenta possuem variação escal<u>o</u> nada de velocidades, as equações da vida da ferramenta utilizadas são a (2.3) e a (2.4). Nestes casos, são determinadas as rotações ótimas, dadas pelas expressões:

$$n_{mx} = \sqrt{\frac{K'' + 1}{K'' \cdot \ell_{f}}}$$
 (5.9)

$$n_{0} = \sqrt{\frac{K'' + 1}{60 \cdot f \cdot k_{f} \cdot C_{2}}}$$
(5.10)

ou

$$n_{mx} = C''^{\frac{1}{y''+1}} \cdot \left(\frac{y'' \cdot \ell_f}{f \cdot t_{ft}}\right)^{\frac{y''}{y''+1}}$$
 (5.11)

$$n_0 = C'' \frac{1}{y''+1} \cdot \left(\frac{y'' \cdot \ell_f \cdot C_2}{60 \cdot f \cdot C_3}\right)^{\frac{y''}{y''+1}}$$
 (5.12)

Quando as curvas de vida não são lineares é recomendável a segmentação das mesmas como citado no item 4.3.3.

5.2- EXEMPLO NUMERICO PARA A PEÇA EM ESTUDO (FIG. 2.2)

5.2.1- DADOS DE CUSTOS E TEMPOS FORNECIDOS PELA EMPRESA

Custo da hora máquina (C_m) NCz\$ 16,00/hora Salārio do operador + sobretaxas (S_0) NCz\$ 2,50/hora Custo da ferramenta/vida, jā incluido o porta-pastilhas (C_{ft}) NCz\$ 9,50/aresta Tempo de troca da ferramenta (t_{ft}) 0,5 min. Tempo de aproximação e afastamen to da ferramenta \bar{a} peça (t_a) 0,1 min. Tempo de preparação da maquina (t_p) 10 min.

Tempos secundários

0,1 min./peça

Número de peças do lote (Z) sempre maior que 1000 peças

5.2.2- CALCULO DAS VELOCIDADES OTIMAS

5.2.2.1- CURVAS DE VIDA OBTIDAS EM LABORATORIO

De acordo com o que foi visto no item 4.2,

tem-se

$$C_2 = C_m + S_0 = NCz$ 18,50/hora$$

$$C_3 = C_{fT} + \frac{t_{ft}}{60} \cdot C_2 = NCz\$ 9,654$$

Substituindo-se estas grandezas nas expressões 4.16 e 4.27, obtem-se o quadro 5.1.

Os valores calculados da velocidade de mínimo custo indicados por asterisco significam que estão fora do intervalo de validade das curvas obtidas. Desta forma, para a determinação dos custos e do número de peças usinadas por vida, foram utilizados os valores limites das curvas de vida (vide item 1.2.2). Observa-se que dentro dos trechos de validade das curvas de vida, os valores do custo/peça foram menores para o critério de lascamento do que para os demais critérios utilizados, sendo que o mínimo custo ocorreu para v_C = 240 m/min. e f = 0,25 mm/v. A maioria dos valores obtidos para a velocidade de máxima produção encontra-se fora dos trechos de validade, uma vez que o tempo de troca da aresta cortante é muito pequeno. Outrossim, de acordo com a rotação máxima permitida pela máquina-ferramenta (3500 rpm), e o diâmetro da peça em questão, a velocidade máxima fica limitada à 240 m/min.

AVANÇO (mm/v)	CRITERIO	EQ.DA VIDA (nº)	v _o (m/min) (Eq.4.27)	C _t (NCz\$/peça) (Eq.4.16)	Z _T (Eq.3.1)	v _{mx} (m/min) (Eq.4.29)
0,20	V B=0,3 mm	1.55	143*	0,474	41	703
	Lasc.	1,54	628*	0,372	47	17190
0,35 VB	V B=0,3 mm	1.57	106*	0,558	25	282
	V B=0,6 mm	1,58	142*	0,551	22	318
	Lasc.	1.56	231	0,544	23	5542
U,4U	VB=0,3 mm	1,60	125*	0,536	25	232
	Lasc.	1.59	180	0,484	28	3363

<u>Quadro 5.1</u>- Otimização das condições de corte através das curvas de vida obtidas em laboratório

5.2.2.2 CURVAS DE VIDA OBTIDAS NA EMPRESA

Para as curvas de vida obtidas na empresa (critério de lascamento), tem-se as condições õtimas de corte, de acordo com o quadro 5.2.

Da mesma forma que para o caso anterior , para o avanço f=0.25~mm/v, o valor calculado da velocidade de mínimo custo (518 m/min.) encontra-se fora do intervalo de valida de da curva de vida. Desta forma, utilizou-se o limite superior da curva (240 m/min.) para a determinação do custo/peça bem como do número de peças usinadas por vida. Os valores da velocidade de máxima produção obtidos também ficam limitados no limite superior das curvas de vida (240 m/min.). O valor do mínimo custo também ocorreu para f=0.25~mm/v e $v_c=240~\text{m/min}$. Observa-se que os valores do custo/peça para todos os avanços, foram menores para as curvas de vida obtidas na empresa, em relação as curvas de vida obtidas em laboratório (item 5.2.2.1).

AVANÇO (mm/v)	EQ. VIDA (nº)	v _o (m/min) (Eq.5.6)	C _t (NCz\$/peça) (Eq.4.16)	Z _T (peças/vida)	v _{mx} (m/min) (Eq.5.5)
0,25	2.5	518*	0,355	52	11705
0,35	2.6	213	0,457	30	3893
0,40	2,7	241	0,415	31	5278

<u>Quadro 5.2</u>- Otimização das condições de corte através das curvas de vida obtidas na Empresa.

OBS.: Nos valores calculados de C_{t} para todos os casos estudados não está incluído o custo dos tempos improdutivos C_{1} , uma vez que o mesmo é constante para todas as condições de corte. O valor de C_{1} para o presente caso é C_{1} = NCz\$0,0647/peça.

Nota-se que o mínimo custo não ocorreu para o máximo avanço possível no exemplo apresentado, uma vez que o custo e diretamente relacionado com os coeficientes da equação da vida. Como já citado em 2.1, além da variação de C, o expoente y também não e constante para uma dada ferramenta de corte, pois o mesmo e influenciado por uma série de fatores, ou seja, não e um expoente independente da variação dos outros parâmetros de usinagem (avanço, profundidade de corte, diâmetro da peça, etc.).

VI- JUSTIFICATIVA ECONÔMICA PARA O LEVANTAMENTO DA CURVA DE VIDA NA EMPRESA, PARA A PEÇA ANALISADA

Para o levantamento das curvas de vida na empresa tendo em vista a determinação das condições otimas de usinagem, foram utilizados cerca de 3000 peças, correspondendo a um tempo de corte de aproximadamente 1600 minutos. Haja visto que os ensaios foram conduzidos para 3 avanços e 4 velocidades de corte com 6 repetições para cada caso, dando um total de 72 ensaios.

A usinagem da peça se caracterizava por ser de desbaste leve, segundo classificação do fabricante da pastilha [46], que sugere avanços variando de 0,2 à 0,5 mm/v e profundidade de corte de 2 à 4 mm para estes casos. A peça estava sendo usinada em 4 passes no percurso de avanço $\ell_{\rm f}=74,4$ mm com uma profundidade a $_{\rm p}=1,43$ mm. Antes de serem iniciados os ensaios de vida da ferramenta, foram diminuídos o número de passes, aumentando-se a profundidade de corte para a $_{\rm p}=1,9$ mm. Profundidades maiores de corte provocavam alterações no comprimento da peça, uma vez que o sistema de pinças utilizado não permitia esforços de avanços maiores e a barra era empurrada para trãs. Assim, chegou-se às condições limites indicadas na Figura 2.2.

Apos estes preliminares de melhoria do processo, deixou-se a critério da empresa a escolha das condições de usinagem. A mesma forneceu os valores $\mathbf{v}_{c}=170$ m/min; $\mathbf{f}=0,25$ mm/v e troca da aresta cortante a cada 40 peças usinadas (o número de peças usinadas por aresta de corte geralmente é fornecido para o operador no setor C.N.C. desta empresa). Não se discutiu a fonte destes valores fornecidos. Partindo-se destes valores iniciais e tendo-se como fatores limitantes a rotação da maquina (3500 rpm) e a tolerância do comprimento da peça é que foram conduzidos os ensaios relatados no Capítulo II.

Durante o levantamento de dados não houveram peças refugadas devido aos ensaios. Da mesma forma, não houve parada da produção para modificações nas condições de usinagem, uma vez que qualquer alteração era acessada diretamente através do teclado do C.N.C., sem a parada da máquina, isto é, a máquina ainda estava usinando quando eram introduzidas alterações para a próxima peça.

Utilizando-se os expoentes das curvas de vida levantadas experimentalmente e comparando-se os custos de usinagem para as condições sugeridas pela empresa, catálogo e obtidas neste trabalho , tem-se:

DADOS	v _C (m/min)	f (mm/v)	C _t (NCz\$/peça)	NO DE PEÇAS USINADAS/VIDA
sugeridos pe- la empresa	170	0,25	0,400	40
obtidos de catálogo	240	0,40	0,415	44
obtidos expe- rimentalmente na empresa	240	0,25	0,355	52

O catálogo sugere ${\bf v}_{\rm c}=270$ m/min, que no caso fica limitado à 240 m/min devido à rotação máxima da máquina. Ao adotar-se os expoentes de Taylor sugeridos pelo fabricante (y = 0,200; C = 464), o custo de usinagem por peça ${\bf C}_{\rm t}$ para ${\bf v}_{\rm c}=240$ m/min passa a ser de ${\bf C}_{\rm t}=0,230$ NCz\$/peça, porém este valor não tem significado nem corresponde a realidade (vide Capítulo III).

Embora para o presente caso as diferenças entre os três metodos no custo/peça não tenham sido elevadas, o fato da empresa produzir continuamente estas peças sempre em lotes maiores que 1000 peça provoca redução de custos no montante.

Embora os ensaios de vida tenham sido levantados várias vezes para cada condição, pode-se reduzir o número de ensaios para três repetições e apenas dois avanços. Neste caso, seriam necessários cerca de 1000 peças ou 600 minutos de usinagem. Cabe lembrar que os ensaios podem ser conduzidos pelo próprio operador da máquina, desde que o mesmo tenha sido orientado para isto, sem acarretar nenhum custo adicional para o processo, ou seja, desde que se tenham lotes repetitivos, é sempre interessante o levantamento de da dos.

Desta forma, o limite mínimo do número de peças de ensaios para a aplicação do método $\bar{\rm e}$ determinado pelo número de ensaios, da do pela expressão:

CAPITULO VI

$$Z_{\ell} = Z_{Tm} \cdot n_{v_c} \cdot n_f \cdot n_r$$
 (6.1)

onde:

 Z_{ℓ} ē o nº limite mīnimo de peças do ensaio; Z_{Tm} ē o nº mēdio de peças usinadas por vida; v_{c} ē o nº de velocidades de corte utilizadas;

n_f ē o nº de avanços utilizado;

 n_r é o nº de repetições do ensaio para cada condição.

CAPITULO VII

VII- CONCLUSÕES

O presente trabalho permite tirar as seguintes conclusões:

- 1. as pastilhas revestidas, e em especial, as pastilhas com tripla cobertura, caracterizam-se por apresentarem lasca mentos dos revestimentos na ponta de corte, os quais podem ocorrer mesmo antes de ser alcançado um valor significativo do desgaste na superficie de folga (fig. 1.26). Na superfície de saída da ferramenta não foram observados desgastes, o que mostra como fatores limitantes vida destas pastilhas os lascamentos ou valores elevados de VB. Para os vários casos estudados, observa-se que os valores limites de VB, onde ocorreram os lascamentos, es tão relacionados com os avanços e com as velocidades corte, ou seja, o estabelecimento de um mesmo critério ou valor de desgaste para diferentes velocidades de corte e avanços não ē um procedimento correto (figs. 1.21, 1.22, 1.23). Nota-se que a medida que se aumenta a velo cidade de corte, a pastilha consegue atingir maiores de VB, antes da ocorrência dos lascamentos (fig. 1.26). Outrossim, para velocidades de corte mais elevadas não foram observados lascamentos, mesmo apos ser alcançado valores altos de VB (fig. 1.32). Jã com aos avanços, percebe-se que a medida em que ha um aumento dos mesmos, os valores de VB atingidos antes da ocorrência dos lascamentos díminuem (fig. 1.27);
- 2. o paralelismo das curvas ilustradas na figura 1.7, cujo modelo é sugerido para as pastilhas de metal duro sem re vestimento, não foi observado para as pastilhas revestidas (figs. 1.28, 1.29, 1.30), ou seja, o expoente n² da expressão (1.10) é dependente da velocidade de corte e do avanço (expressões 1.37 à 1.48). Da mesma forma não se observou uma variação linear entre a constante C³ da expressão (1.10) com a velocidade de corte, isto é, tanto os valores de n² como de C³ variaram com a velocidade de corte e com o avanço, sem uma regra definida. Desta forma, se uma curva de vida é obtida tendo-se como crité

rio um determinado valor de VB e na prātica observa-se que se pode chegar a valores maiores do desgaste, os valores das novas constantes de Taylor não podem ser obtidos através das extrapolações indicadas pelas equações (1.13) e (1.14), quando da utilização de pastilhas de metal duro revestidas;

3. procurou-se relacionar o comportamento das pastilhas de metal duro, no que tange aos lascamentos, aos fatores dinâmicos do processo de corte. As medições indiretas feitas através dos cavacos mostraram-se pouco eficazes, uma vez que os mesmos, devido aos quebra-cavacos, obtidos em pedaços muito pequenos, dificultando as medi ções. O registro das amplitudes de deslocamento da ferramenta na direção vertical assim como das frequências de vibração, mostraram que as amplitudes máximas com o aumento da velocidade de corte (fig. 1.38). outro lado, as frequências onde ocorreram estas amplit<u>u</u> des máximas, aumentaram com o aumento da velocidade (fig. 1.39). Uma vez que as pastilhas revestidas mais resistentes ao desgaste, ocasionado principalmente pela temperatura de corte, supõe-se que o aparecimento dos lascamentos, para valores menores de VB em velocida des de corte menores (fig. 1.26), esteja associado desgaste por fadiga, provocada por amplitudes de deslocamento maiores. Haja visto que, os revestimentos jā. possuem tensões internas e fissuras antes do início da usinagem (vide item 1.2.1). Todavia, para velocidades de corte mais elevadas, o efeito da elevação da tempera tura de corte é mais pronunciado do que os efeitos fadiga, ou seja, hã um desgaste acelerado da superfície de folga da ferramenta, devido ao efeito da temperatura. antes da ocorrência dos lascamentos por fadiga. Com relação aos avanços (fig. 1.27), o fato dos valores de VB, atingidos antes da ocorrência dos lascamentos rem na medida em que há um aumento dos mesmos, pode ser creditado ao fato de que com o aumento dos avanços, um aumento da área da seção de corte, aumentando consequentemente os esforços de usinagem, induzindo a lascaCAPITULO VII

mentos mais acelerados. Os fatos relatados acima necessitam de um estudo mais aprofundado do assunto, ficando como uma sugestão para futuros trabalhos uma análise mais precisa. Observou-se também que as frequências de vibração do sistema, bem como a variação das amplitudes de deslocamento da ferramenta na direção vertical, possuem o mesmo comportamento das amplitudes de variação da espessura do cavaco e das frequências de formação do cavaco, dadas pelas expressões (1.52) e (1.53);

- 4. a utilização dos lascamentos como critério de fim de vida da ferramenta, faz com que o expoente <u>y</u> e a constante <u>C</u> de Taylor sejam mais elevados (vide item 1.2.2), resultando em um aproveitamento maior das pastilhas. Outrossim, a utilização de um valor ūnico de VB para todas as velocidades de corte, pode provocar a subutilização da pastilha, ou a mesma pode lascar antes de ser atingido um valor razoãvel de VB (fig. 1.43);
- 5. os ensaios conduzidos para levantamento das curvas de vi da em laboratório e na empresa, foram feitos em equipamentos similares, sugerindo que a rigidez de ambos sem semelhantes. Nos ensaios realizados na empresa, a va riavel utilizada foi o número de peças usinadas por vida e não a vida em minutos. Uma vez estabelecido o critério de fim de vida da pastilha, não hã necessidade obter as curvas de desgaste, pois o levantamento permite obter diretamente as curvas de vida. Observou-se que comportamento das pastilhas utilizadas nas peças em produção (figs. 2.4 e 2.5) foi semelhante aquele observado em laboratório, haja visto que, com exceção da geometria da peça e da característica da maquina-ferramenta, todas as demais condições foram as mesmas, indicando que comportamento é peculiar às pastilhas revestidas. Com re lação as curvas de vida obtidas na empresa e em laborato rio, as diferenças entre ambas oscilaram entre 10 e 27%, havendo sempre uma superioridade daquelas obtidas na empresa. Credita-se essas diferenças ao fato de que as mãquinas-ferramenta não são exatamente iguais e que a peça

possui uma geometria que pode acarretar diferenças em relação a uma barra lisa. Jã os dados relativos \tilde{a} vida da ferramenta, obtidos do catalogo do fabricante, não são confiaveis, uma vez que o mesmo indica um unico valor de \underline{y} para qualquer classe de pastilha, variando apenas a constante \underline{C} atribuída tão somente ao material da peça e ao avanço;

- 6. para o caso de curvas de vida levantadas diretamente nas peças em produção, tendo-se como variável o número de peças usinadas por vida e utilizando-se o modelo de Taylor, não se pode aplicar diretamente as fórmulas convencionais para a determinação de vo uv mxp, sendo que existe uma relação entre os coeficientes, conforme exposto no Capítulo V. Assim, a partir das curvas de vida obtidas da ma neira descrita acima e utilizando-se as relações (5.1) e (5.2), pode-se calcular diretamente as velocidades otimas;
- 7. o calculo das condições econômicas através dos dados levantados em laboratório, mostra que as mesmas ocorreram para o critério de lascamento, para todos os avanços ana lisados (vide quadro 5.1), uma vez que para este critério os valores de y e C de Taylor foram mais elevados;
- 8. embora no exemplo apresentado, os valores a serem utilizados para as velocidades de mínimo custo e avanço foram os mesmos tanto para as curvas de vida em laboratório quanto para as curvas de vida na empresa, os valores calculados não foram os mesmos (vide quadros 5.1 e 5.2). Os resultados finais foram os mesmos, devido as limitações de validade das curvas de vida. Outrossim, o número de peças usinadas por vida obtido por um ou outro método é diferente, o que pode prejudicar o estabelecimento de um plano de trocas das pastilhas, ao se considerar os dados de laboratório;
- 9. notou-se também que as condições õtimas podem $n\tilde{a}o$ ocorrer para o máximo avanço possível para o processo, uma

CAPITULO VII

vez que as curvas de vida para diferentes avanços $n\~ao$ conduzem necessariamente ao mesmo valor do expoente \underline{y} de Taylor, ou seja, as v $\~a$ rias curvas de vida $n\~ao$ s $\~a$ o necessariamente paralelas;

- 10- deve ser salientado que as condições õtimas obtidas para uma determinada măquina-ferramenta podem não ser as mesmas em outra. A utilização plena de um equipamento estã associada com levantamentos de vida da ferramenta, feitos diretamente na măquina em produção, cujo levantamento de dados não acarreta ônus adicional para a empresa. Tal procedimento justifica-se, porém, nos casos em que existe uma produção seriada de peças, caso contrário ado tam-se dados obtidos de outras fontes (catálogos, banco de dados, tabelas, etc.);
- 11- outrossim, como já mencionado no Capítulo IV, condições ótimas isoladas para uma operação não significa que o sistema completo de usinagem esteja otimizado, pois temse que levar em conta os demais processos a serem feitos para o componente. Evidentemente que o estabelecimento de condições ótimas para uma certa operação influenciarã as demais, assim como os custos de estoques. Uma otimização completa deve levar em conta as várias interações en tre os processos, sequências de produção, etc.. A seleção das condições de usinagem pode levar a concluir que a máquina-ferramenta que está sendo utilizada tenha uma capacidade muito superior ao necessário, ou vice-versa, fazendo com que sejam revistas as seleções das máquinas ou mesmo a venda ou compra de outros equipamentos;
- 12- o presente trabalho foi desenvolvido para a operação de torneamento, que é a mais significativa e é uma operação básica no desenvolvimento de pesquisas em usinagem, porém deverá ser ampliado em futuros trabalhos para as operações de furação, fresamento e alargamento, tendo em vista principalmente o emprego de ferramentas revestidas.

REFERÊNCIAS BIBLIOGRÁFICAS

- [] NOVASKI, Olivio <u>Uma Contribuição ao Estudo das Condi</u> <u>ções Econômicas de Usinagem</u>. Faculdade de Engenharia de Campinas, 1983. Tese (Mestrado) Faculdade de Engenharia da UNICAMP
- [2] NOVASKI, Olivio <u>Curvas de Vida Obtidas Diretamente na</u>
 <u>Empresa</u>. Seminário apresentado no Curso de Pos-Graduação Tópicos Especiais da Usinagem dos Metais Prof .
 Dino Ferraresi, Faculdade de Engenharia de Campinas ,
 UNICAMP, 1988.
- [3] ASSOCIAÇÃO BRASILEIRA DE NORMAS TĒCNICAS Classificação de Metal Duro Segundo Grupos de Usinagem NBR 6384 . Rio de Janeiro, ABNT, 1980.
- [4] INTERNATIONAL ORGANIZATION FOR STANDARTIZATION Application of carbides for machining by chip removal; designation of the main groups of chip removal and groups of application. Switzerland, ISO, 1975.
- [5] DEUTSCHES INSTITUT FÜR NORMUNG Zerspanungs Anwendungsgruppen für Hartmetalle. DIN 4990. Ber lin, Beuth Verlag, 1972.
- [6] JAKLITSCH, Franz. <u>Metalcutting technology</u>. Berkley Valeron Corporation, 1983.
- [7] REITER, N. Hartmetall, ein universeller Schneidstoff, Trennkompedium, Bergisch Gladbach, ETF. p.95-116,1978 vol.1.
- [8] LOLADZE, T. N. Abhängigkeit des Werkzeugverschleisses von den Schnittbedingungen bei spanabhebenden Bearbeitung, Industrie Anzeiger, 89(58):27-32, 1967.
- [9] MINISTERIO DA INDÚSTRIA E COMERCIO <u>Determinação das características de usinagem dos materiais e ferramentas de procedência nacional, na operação de torneamento .</u>

 Centro de Tecnologia UNICAMP, Campinas, 1976.
- [10] FERRARESI, Dino <u>Fundamentos da usinagem dos metais</u>. São Paulo, Edgard Blücher, 1970.

- [1] INTERNATIONAL ORGANIZATION FOR STANDARTIZATION Tool life testing with single-point turning tools ISO 3685.

 Switzerland, ISO, 1988.
- [12] BARROW, G. Tool life equations and machining economics.

 In: Proceedings of the 12th International Machine Tool

 Design and Research Conference. Manchester, Macmillan,

 1971. p.481-493.
- [13] KRONENBERG, M. Replacing the Taylor formula by a new tool life equation, <u>International Journal of Machine Tool Design and Research</u>. 10, 1971.
- [14] GILBERT apud ESSEL, K. & HANSEL, W. Analyse der Standzeitgleichungen, <u>Industrie Anzeiger</u>, <u>94</u>(5):92-93, 1972.
- [15] MICHELETTI, F. Gian. Tecnologia Meccanica <u>Il taglio</u> <u>dei metalli</u>. 2.ed. Torino, Editrice Torinese, 1977.
- [16] ARMAREGO, E. J. A. & BROWN, R. H. The machining of metals. New Jersey, Prentice Hall, 1969.
- [17] COLDING, B. N. A three dimensional tool life equation,

 Machining Economics Trans. ASME, 81; 1959.
- [18] BREWER, R. C. & RUEDA, R. A. A simplified approach to the optimum selection of machining parameters, <u>Engineers</u>
 <u>Digest</u>, <u>24</u>(9); 1963.
- [19] DEPIEREUX, W. R. Ermittlung optimaler Schnittbedingungen,

 <u>Industrie Anzeiger</u>, 32(17): 711-712, 1970.
- BATOCCHIO, A.; NOVASKI O. & ZARPELLON, S. L. Comparative study between the Datsko's theory and experimental data for 4340 HR steel for turning operation. Seminario apresentado no curso de Pos-Graduação Engenharia do Projeto e da Fabricação Auxiliada por Computador Prof. Joseph Datsko, Escola de Engenharia de São Carlos, USP, 1987.
- NOVASKI, O. Equação alternativa para a vida da ferramenta. Seminario apresentado no curso de Pos-Graduação Topicos Especiais da Usinagem dos Metais Prof. Dino Ferraresi, Faculdade de Engenharia de Campinas, UNICAMP, 1987.

- [22] REITER, N. Hartmetalle als Werkzeugwerkstoff, <u>VDI</u>
 Berichte, 432:145-158, 1982.
- [23] SCHINTLMEISTER, W.; WALLGRAM, W.; KANZ, J. & GIGL K. Cutting tool materials coated by chemical vapour
 deposition, Wear, 100:153-169, 1984.
- [24] OAKES, J. T. A comparative evaluation of HfN, Al_2O_3 , TiC and TiN coatings on cemented carbides tools, Teledyne Firth Sterling (USA). Publicação interna do Laboratório de Pesquisas da Empresa, 1983.
- [25] GRAHAM, D. E. & HALE, T. E. Coated cutting tools, <u>The</u>

 <u>Carbide and Tool Journal</u>, 14(2):1982.
- [26] KLEME, K. E. Der Einfluss des Substrats auf die Zerspantechnische Anwendbarkeit unterschiedlich beschichteter Schneidkanten, Werkstat und Betrieb 114(5):291-293, 1981.
- [27] TRENT, E. M. Metal cutting. 2.ed., Birmingham, Butterworths, 1984.
- [28] METALLWERK PLANSEE GmbH Tizit Starmaster Sr17. Reutte Austria, s.d. (Catálogo de Fabricante 430 s. 10.82).
- [29] GATES, A. S. & PETERS, R. L. <u>Structure and wear of coated cemented carbides</u>, Fansteel WR/Wesson (Publicação Interna do Laboratório de Pesquisas da Empresa), 1983.
- [30] RUDY, E.; KIEFFER, B. F. & PENRICE, T. <u>Development and performance of CVD; coatings on cutting tools</u>, USA, Teledyne Refractory Metals Group, (Publicação Interna do Laboratório de Pesquisas da Empresa), 1983.
- [31] DEUTSCHES INSTITUT FUR NORMUNG Hard cutting materials for machining by chip removal classification , designation of applicability, description. 3d. GERMAN PROPOSAL. DIN, 1987
- [32] COLDING, B. N. Verschleissverhalten von beschichteten Hartmetall Werkzeugen, <u>Fertigung</u>, <u>1</u>:3-8, 1970.
- [33] CHUBB, J. P. & BILLINGHAM, J. Coated tools; a study of wear mechanisms in high speed machining. Wear, 63: 283-293, 1980.

- [34] BILLINGHAM, J.; HANCOCK, P. & CHUBB, J. P. Coated cutting tools; influence of composition and surface integrity in high speed machining, Final Technical Report School of Industrial Science Cranfield (Publica ção interna), 1978.
- [35] ALBRECHT, Paul Self-excited vibrations in metal cutting.

 Journal of Engineering for Industry. p.405-417, november 1962.
- [36] MARTIN, P.; MUTEL, B. & DRAPIER, J. P. Influence of lathe tool wear on the vibrations sustained in cutting. In: Proceedings of the 15th International Machine Tool Design and Research Conference. Birmingham, Wiley, 1974. p.251-257.
- [37] COOK, Nathan H. Self-excited vibrations in metal cutting,

 Journal of Engineering for Industry. p.183-186, May,
 1959.
- [38] NIGM, M. M. & SADEK, M. M. Experimental investigation of the characteristics of dynamic cutting process ,

 Transactions of the ASME. p.410-418, May, 1977.
- [39] BURNEY, F. A.; PANDIT, S. M. & WU, S. M. A new aproach to the analysis of machine-tool system stability under working conditions, <u>Journal of Engineering for Industry</u> p.585-590, Aug. 1977.
- [40] TAI, T. P. et alii <u>A new concept of cutting marks</u>

 formation in metal cutting vibration, In: Proceedings
 of the International Machine Tool Design and Research
 Conference. p.449-456, 1978.
- [41] GRABEC, I. Explanation of random vibrations in cutting on grounds of deterministic chaos, <u>Robotics & Computer Integrated Manufacturing</u>, 4(1/2):129-134, 1988.
- [42] BHATTACHARYYA, A.; GHOSH, A. & HAM, I. Analysis of tool-wear Part II: Applications of flank wear models, Journal of Engineering for Industry. p.109-114, February 1970.
- [43] FERRARESI, Dino <u>Características de usinagem dos metais</u>

 para a operação de torneamento. São Paulo, ABM, 1986

- [44] KEGG, Richard L. Selection of cutting speeds based on uncertain data, In: Proceedings of the 12th International Machine Tool Design and Research Conference. Manchester, Macmillan, 1971. p.495-498.
- [45] NAKAYAMA, Kazuo <u>Apostila do curso Tecnologia Avançada</u> em Usinagem dos Metais, UNICAMP, 1987.
- [46] SANDVIK Catalogo de Fabricante C-1000:2-ENG., 1986.
- [47] COOK, Nathan H. <u>Manufacturing analysis</u>, Massachussets, 1966.
- [48] SCHAUMANN, R. Ermitlung und Berechnung der kostengünstigen Standzeit und Schnittgeschwindigkeit, <u>Wt-Z. Ind. Fert.</u> 60(1):14-21, 1970.
- [49] ARMAREGO, E. J. A. & RUSSEL, J. K. Maximum profit rate as a criterion for the selection of machining conditions, International Journal of Machine Tool Design and Research. 6:15-23, 1966.
- [50] WU, S. M. & ERMER, D. S. Maximum profit as the criterion in the determination of the optimum cutting conditions, <u>Journal of Engineering for Industry</u>. p.435-442, november 1966.